



دانشگاه صنعتی امیرکبیر
(پلی تکنیک تهران)
دانشکده برق

پایان نامه کارشناسی ارشد
گرایش الکترونیک دیجیتال

آنالیز اطلاعات دریافتی از خودروها برای بررسی رفتار راننده و موقعیت
مکانی خودروها در ابر محاسباتی

نگارش
حسین غلامی

استاد راهنما
دکتر معتمدی

پاییز ۹۹

چکیده

رانندگی خطرناک یکی از مهم‌ترین عوامل تصادفات خودرویی است. اگر رانندگان بدانند که رفتار آن‌ها در طول رانندگی ثبت می‌شود، رانندگی ایمن‌تری از خود ارائه خواهند داد. همچنین اگر بتوان با آگاهی از نوع رفتارهای رانندگی اشخاص، سیستمی را پیاده کرد که مشوق افراد برای رانندگی ایمن باشد، این اتفاق به کاهش تصادفات رانندگی منجر خواهد شد. در این پروژه هدف پیاده‌سازی روشی برای تشخیص رویدادهای رانندگی (از جمله؛ گردش به راست و چپ خطرناک، تعویض لاین خطرناک به راست و چپ، ترمزگیری و شتاب‌گیری خطرناک) با کمک اطلاعات سنسورها است و پیاده‌سازی سیستمی که توانایی دریافت و ذخیره‌سازی اطلاعات رانندگان را در یک ابرمحاسباتی داشته باشد و همچنین روشی که میزان ایمن بودن رانندگی افراد را محاسبه کند. به صورت دقیق‌تر، با استفاده از یک روش جدید پنجره‌بندی روی سری‌های زمانی، یک درخت تصمیم‌گیری بر روی شباهت پنجره‌ها (با بهره‌گیری از الگوریتم^۱ Fast-DTW)، برای تشخیص رویدادهای رانندگی آموزش داده شد. در ادامه برای دریافت و ذخیره‌سازی اطلاعات از RabbitMQ به عنوان مبادله‌گر پیام و از Redis به عنوان پایگاه داده موقت بهره‌برداری شد. در پایان نیز برای امتیازدهی و مقایسه رانندگی افراد، از یک روش آماری استفاده شد که میزان احتمال خطرناک بودن رانندگی آن‌ها را به عنوان معیاری برای مقایسه معرفی می‌کند. با کمک نتایج ارائه شده در این پژوهش می‌توان یک طرح بیمه‌ای پیاده‌سازی نمود تا رانندگانی که رانندگی ایمن‌تری را از خود نشان می‌دهند، حق بیمه کمتری پرداخت کنند، از این رو می‌توان این طرح را به عنوان مشوقی برای بهبود فرهنگ رانندگی در نظر گرفت.

واژه‌های کلیدی:

اینترنت اشیاء، الگوریتم‌های هوش مصنوعی نمایه‌سازی رفتار راننده، فرهنگ رانندگی.

^۱ Dynamic time warping

۱ فصل اول مقدمه	۷
۱-۱ پیشگفتار و اهمیت موضوع	۸
۲-۱ طرح مسئله	۹
۳-۱ ساختار پایان نامه	۱۰
۲ فصل دوم مروری بر کارهای پیشین	۱۱
۳ فصل سوم تشخیص رخدادهای خطرناک	۱۷
۱-۳ مروری بر الگوریتم‌های FastDTW	۱۸
۱-۱-۳ DTW الگوریتم	۱۸
۲-۱-۳ FastDTW الگوریتم	۲۳
۲-۳ جمع‌آوری و آنالیز اکتشافی اطلاعات	۲۵
۳-۳ طراحی مدل	۲۷
۱-۳-۳ پیش‌پردازش و پنجره‌بندی سری زمانی	۲۷
۱-۳-۳ محاسبه ماتریس فاصله	۳۱
۲-۳-۳ پیاده‌سازی مدل یادگیری ماشین	۳۲
۴-۳ استفاده از مدل جهت بهره‌برداری	۳۵
۵-۳ یافتن بهترین مدل و بررسی زمان اجرا و محدودیت‌ها	۳۷
۶-۳ جمع‌بندی	۴۹
۴ فصل چهارم پیاده‌سازی سیستم دریافت و ذخیره‌سازی اطلاعات	۵۱
۱-۴ مفهوم یکپارچه‌سازی	۵۲
۲-۴ مروری بر داکر	۵۵
۳-۴ مروری بر کارگزار RabbitMQ	۵۹
۱-۳-۴ راهاندازی RabbitMQ با داکر	۶۴
۴-۴ مروری بر ذخیره‌کننده Redis	۶۵
۱-۴-۴ راهاندازی Redis با داکر کامپوز	۶۸
۵-۴ پیاده‌سازی سیستم دریافت و ذخیره‌سازی	۶۸
۶-۴ جمع‌بندی	۷۱
۵ فصل پنجم مدل ارزیابی‌کننده اطلاعات رانندگان	۷۲
۱-۵ جمع‌آوری اطلاعات و آنالیز اکتشافی	۷۳
۲-۵ مهندسی بردار ویژگی	۷۶
۳-۵ طراحی مدل	۸۰

۴-۵	جمع‌بندی	۸۳
۶	فصل ششم آزمایشات و شبیه‌سازی	۸۴
۱-۶	بررسی اهمیت حسگرها	۸۵
۲-۶	نتایج استفاده از پنجره‌بندی اتفاقی	۹۱
۳-۶	شبیه‌سازی فرایند تشخیص و ارسال اطلاعات به ابرمحاسباتی	۹۳
۴-۶	مقایسه پژوهش فعلی با سایرین	۹۸
۵-۶	جمع‌بندی فصل چهارم	۹۹
۷	فصل هفتم نتیجه‌گیری و پیشنهادها	۱۰۰
۱-۷	نتیجه‌گیری	۱۰۱
۲-۷	پیشنهادها	۱۰۲

شکل ۱-۲	مفهوم تاب دادن میان دو سری زمانی.....	۱۹
شکل ۲-۲	ماتریس هزینه، که در آن مسیر تاب بهینه مشخص شده است.....	۲۰
شکل ۳-۲	چهار وضوح متفاوت در حین اجرای الگوریتم FastDTW.....	۲۴
شکل ۴-۲	نمونه‌ای از اطلاعات سنسوری یک راننده در طول ۲۰ دقیقه رانندگی.....	۲۵
شکل ۵-۲	رویدادهای ترمزگیری شدید.....	۲۶
شکل ۶-۲	توزیع نرمال با میانگین ۰.۱ و انحراف معیار ۰.۱۲.....	۳۰
شکل ۷-۲	دو نمونه از پنجره‌هایی به طول ۱۸۶.....	۳۰
شکل ۸-۲	نمونه‌ای از استفاده از تابع fastdtw.....	۳۱
شکل ۹-۲	مقایسه فاصله پنجره‌ای حاوی نمونه ترمزگیری (پنجره ۶۴۶۰).....	۳۲
شکل ۱۰-۲	تعریف دقت و بازیابی.....	۳۳
شکل ۱۱-۲	نمودار دقت f1-score به صورت ماکرو برای دادگان تست و آموزش.....	۳۴
شکل ۱۲-۲	پنجره‌های رونده با پارامتر λ متفاوت هنگام بهره‌برداری مدل.....	۳۶
شکل ۱۳-۲	نمودار دقت f1-score ماکرو برای پنجره به طول ۱۸۶.....	۳۷
شکل ۱۴-۲	پیش‌آمد احتمال نگاه به عقب ۲۰ درصد.....	۳۸
شکل ۱۵-۲	نمودار میزان دقت به ازای عمق درخت‌های متفاوت، برای پنجره‌هایی با طول‌های متفاوت.....	۴۰
شکل ۱۶-۲	نمودار دقت بهترین مدلها برحسب λ های متفاوت.....	۴۵
شکل ۱۷-۲	فرایند پنجره‌بندی به ازای λ برابر ۰.۷۵.....	۴۶
شکل ۱-۳	مثالی از یکپارچه‌سازی مبتنی بر فایل.....	۵۲
شکل ۲-۳	مثالی از یکپارچه‌سازی مبتنی بر پایگاه داده.....	۵۳
شکل ۳-۳	نمونه از یکپارچه‌سازی بر اساس ارتباط مستقیم میان برنامه‌ها.....	۵۳
شکل ۴-۳	نمونه‌ای از یکپارچه‌سازی با کمک یک کارگزار پیام.....	۵۴
شکل ۵-۳	موتور و هسته داکر که روند فرایند مدیریت برنامه را مشخص میکند.....	۵۶
شکل ۶-۳	نمایی از معماری داکر و فرایند چرخش دستورات و اطلاعات.....	۵۸
شکل ۷-۳	نمونه‌ای از یک فایل dockerfile.....	۵۸
شکل ۸-۳	نمونه‌ای از یک فایل docker-compose.yml.....	۵۹
شکل ۹-۳	معماری کلی نرم‌افزار ریتامکیو.....	۶۰
شکل ۱۰-۳	داشبورد مدیریتی نرم‌افزار ریتامکیو.....	۶۱
شکل ۱۱-۳	انتقال پیام در نرم‌افزار ریتامکیو.....	۶۲
شکل ۱۲-۳	نحوه استفاده از کلیدمسیریابی برای صف‌ها.....	۶۳
شکل ۱۳-۳	اتصال دو مصرف‌کننده‌ی اطلاعات به یک صف.....	۶۳

- شکل ۳-۱۴- محتوای داکر فایل برای راه اندازی ریتامکیو..... ۶۴
- شکل ۳-۱۵- بخش مرتبط با ریتامکیو در داکر کامپوز..... ۶۴
- شکل ۳-۱۶- بررسی دستورات کار کردن با هشها در ردیس..... ۶۷
- شکل ۳-۱۷- بخش مرتبط با ردیس در داکر کامپوز..... ۶۸
- شکل ۳-۱۸- فرایند انتقال بسته ها از بخش توزیع دادگان به صفها..... ۶۹
- شکل ۳-۱۹- کلاس مربوطه به برنامه انتقال دهنده اطلاعات ریتامکیو به ردیس..... ۷۰
- شکل ۳-۲۰- تابع فراخوانی اطلاعات هنگام دریافت اطلاعات از ردیس و انتقال به ریتامکیو..... ۷۱
- شکل ۴-۱- نمونه ای از رویدادهای رفتاری و عملکردی مجموعه دادگان دوم..... ۷۴
- شکل ۴-۲- توزیع تعداد رانندگان بر اساس تعداد رویدادهای تولید شده..... ۷۴
- شکل ۴-۳- نمودار تعداد رویداد تولید شده توسط رانندگان..... ۷۵
- شکل ۴-۴- توزیع تعداد رانندگان بر اساس تعداد رویدادهای تولید شده پس از حذف اطلاعات نامربوط..... ۷۶
- شکل ۴-۵- نمودار تعداد رویداد تولید شده توسط رانندگان پس از حذف اطلاعات نامربوط..... ۷۶
- شکل ۴-۶- بردار ویژگی هر راننده بر اساس زمان طی شده و تعداد رویداد تولید کرده..... ۷۶
- شکل ۴-۷- نمودار تعداد و توزیع این رویدادها نسبت به یکدیگر..... ۷۷
- شکل ۴-۸- نمودار نمونه تبدیل box-cox برای بردار x..... ۷۸
- شکل ۴-۹- نمودار تعداد و توزیع این رویدادها نسبت به یکدیگر بعد از انجام تبدیل box-cox..... ۷۹
- شکل ۴-۱۰- نمودار تعداد و توزیع این رویدادها نسبت به یکدیگر بعد از جایگزین کردن دادگان پرت..... ۷۹
- شکل ۴-۱۱- نمودار اعمال توزیع نمایی به هر کدام از رویدادها..... ۸۰
- شکل ۵-۱- برنامه ای که برای تست سیستم دریافت و ذخیره سازی اطلاعات به ازای هر راننده ساخته میشود..... ۹۳
- شکل ۵-۲- نحوه کنترل پنجره ها بر روی سری زمانی..... ۹۴
- شکل ۵-۳- فرمت بسته های مدیریتی برای تشخیص ابتدا و انتهای سفر..... ۹۵
- شکل ۵-۴- نحوه بالا آمدن سیستم دریافت و ذخیره سازی اطلاعات..... ۹۵
- شکل ۵-۵- بسته های ارسالی راننده ۱۷ به سیستم دریافت و ذخیره سازی اطلاعات..... ۹۶
- شکل ۵-۶- پنل مدیریتی نرم افزار ریتامکیو حین دریافت اطلاعات از راننده شماره ۱۷..... ۹۷

صفحه

فهرست جداول

جدول ۲-۱- نحوه محاسبه ماتریس هزینه در الگوریتم DTW	۲۱
جدول ۲-۲- محاسبه مسیر تاب و میزان شباهت دو سیگنال توسط DTW	۲۲
جدول ۲-۳- توزیع طبقه‌بندی مجموعه دادگان	۲۶
جدول ۲-۴- مقایسه رویداد های مجموعه دادگان با توزیع نرمال	۲۷
جدول ۲-۵- میزان دقت ترمز برای دادگان تست و آموزش با پنجره ۱۸۶	۳۵
جدول ۲-۶- میزان دقت ترمز برای کل دادگان با پنجره ۱۸۶	۳۶
جدول ۲-۷- بررسی دقیق بهترین نقطه از شکل ۱۳	۳۷
جدول ۲-۸- σ متناسب را به ازای Probneg و μ های متفاوت	۳۹
جدول ۲-۹- اطلاعات دقیق میزان دقت نقاط برگزیده شده در شکل ۲-۱۵	۴۱
جدول ۲-۱۰- میزان دقت به ازای مدل های آموزش داده شده	۴۲
جدول ۲-۱۱- اطلاعات دقیق میزان دقت نقاط برگزیده شده در جدول ۲-۱۰	۴۳
جدول ۲-۱۲- میزان دقت بهترین مدل برای روی دادگان آموزش	۴۴
جدول ۲-۱۳- زمان پردازش پنجره ها به ازای اجرای الگوریتم DTW	۴۷
جدول ۲-۱۴- نتایج بهترین مدل برای پنجره هایی به طول ۲۲۶	۴۸
جدول ۲-۱۵- نتایج بهترین کاندیدها برای پنجره هایی به طول ۱۲۶	۴۹
جدول ۲-۱۶- نتایج بهترین کاندیدها برای پنجره هایی به طول ۱۸۶	۵۰
جدول ۴-۱- میزان مجموع مربعات خطا	۸۰
جدول ۴-۲- لیست ایمن ترین رانندگان به صورت جمع احتمال	۸۱
جدول ۴-۳- لیست خطرناک ترین رانندگان به صورت جمع احتمال	۸۱
جدول ۴-۴- لیست ایمن ترین رانندگان به صورت امتیاز انتقال داده شده	۸۲
جدول ۴-۵- لیست خطرناک ترین رانندگان به صورت امتیاز انتقال داده شده	۸۲
جدول ۴-۶- امتیاز ۹.۹ برای راننده ایمن	۸۳
جدول ۴-۷- امتیاز ۱ برای راننده خطرناک	۸۳
جدول ۵-۱- میزان دقت به ازای مدل های آموزش داده شده	۸۶
جدول ۵-۲- اطلاعات دقیق میزان دقت نقاط برگزیده شده در جدول ۵-۱	۸۸
جدول ۵-۳- میزان دقت به ازای مدل های آموزش داده شده	۸۹
جدول ۵-۴- اطلاعات دقیق میزان دقت نقاط برگزیده شده در جدول ۲-۱۰	۹۱
جدول ۵-۵- میزان دقت در صورتی که از پنجره بندی اتفاقی استفاده نکنیم	۹۲

۱

فصل اول

مقدمه

۱-۱ پیشگفتار و اهمیت موضوع

یکی از مهم‌ترین دلایل تصادفات جاده‌ای و مرگ‌ومیر، رانندگی خطرناک است. آمار نشان می‌دهد که دلیل ۷۰ درصد از تصادفات داخل شهری و ۹۰ درصد تصادفات جاده‌ای ناشی از خطای انسانی است [۱]، در [۲] که نتایج تصادفات داخل شهر تهران را بررسی می‌کند، ۸۶ درصد علت تصادفات را بی‌توجهی به قوانین راهنمایی رانندگی اعلام می‌کند و دلیل اصلی را فقر فرهنگ رانندگی می‌داند.

مطالعات نشان می‌دهد راننده‌ها اگر نسبت به ذخیره شدن نوع رفتار رانندگی خودآگاه باشند، رانندگی ایمن‌تری از خود ارائه خواهند داد [۳]، که منجر به کاهش آمار تصادفات و ایمن‌تر شدن خیلان‌ها و جاده‌ها می‌شود، که هدف نهایی ماست. حال سوالی که مطرح می‌شود این است که چرا یک راننده باید اجازه دهد که رفتار و نوع رانندگی‌اش ذخیره و ما به آن اطلاعات دسترسی داشته باشیم. برای پاسخ به این سوال باید یک مشوق برای جلب توجه رانندگان به این امر ایجاد کنیم. برای مثال، به‌عنوان مشوق می‌توان، طرحی را در قالب "راننده‌ای که رانندگی ایمن‌تری از خود ارائه می‌دهد، می‌تواند حق بیمه کمتری پرداخت کند." تعریف کرد. این طرح اولاً باعث می‌شود که رانندگان اجازه دسترسی به نوع رفتارشان را در اختیار شرکت بیمه‌ای قرار دهند تا حق بیمه کمتری پرداخت کنند، دوماً از آنجایی که رانندگان سعی می‌کنند رانندگی ایمن‌تری از خود ارائه دهند باعث می‌شود تا هدف اصلی ما که رانندگی ایمن است محقق شود. در مقابل، چون رانندگی خطرناک باعث می‌شود که افراد پول بیشتری را پرداخت کنند، رانندگی خطرناک به‌عنوان یک عامل بازدارنده عمل و تحقق هدف اصلی که رانندگی ایمن است را ساده‌تر می‌کند. همچنین می‌توان از منابع مالی حاصل‌شده از افرادی که رانندگی خطرناک دارند، برای ایمن‌سازی خودروها یا جاده‌ها و ... استفاده کرد، که سود ناشی از این طرح را دوچندان می‌کند. چالش اصلی این طرح هزینه تجهیزاتی است که بر روی خودرو نصب خواهند شد. این دستگاه‌ها می‌تواند نقش کلیدی در همه‌گیری این طرح داشته باشند و باید سعی شود، تا جایی که امکان دارد، قیمت تمام‌شده این دستگاه‌ها مناسب باشد. چالش بعدی تعمیر، نگهداری و طول عمر این دستگاه است.

۱-۲ طرح مسئله

بهتر است مسئله‌ای را در همین ابتدا با بررسی یکی از اصلی‌ترین چالش‌های پروژه شروع کنیم تا درک بهتری از مسئله پیش رو داشته باشیم. این چالش را با یک مثال ساده و با اعداد بررسی می‌کنیم؛ در تهران بر اساس [۴] بیش از ۴ میلیون خودرو در حرکت‌اند. با فرض نمونه‌گیری از حسگرها با فرکانس ۵۰ هرتز برای تشخیص رویدادها و آماده کردن بسته‌های ۱ کیلوبایتی، حجم ارسال اطلاعات در ثانیه، ۲۰۰ گیگابایت است که برای ذخیره‌سازی، پردازش و ... حجم زیادی است. پس واضح است که با یک مسئله دادگان انبوه مواجه هستیم. اگرچه می‌توان این حجم از اطلاعات را کنترل نمود ولی همواره به دنبال راهکارهای ساده‌تری هستیم تا جایگزین شیوه فوق شود. در این پژوهش از شیوه دیگری استفاده شد، به این شکل که روند تشخیص رویدادهای خطرناک، به داخل هر خودرو منتقل شود و با راهکاری بتوان در زمان واقعی، رویدادها را تشخیص داد و به‌جای همه‌ی اطلاعات تنها رخدادهای خطرناک را به ابر منتقل کرد. پس با توجه به توضیح فوق، برای تحقق هدف اصلی پروژه که پیاده‌سازی روشی برای تشخیص رویدادهای رانندگی و جمعیت و بررسی اطلاعات رانندگان در ابر محاسباتی است، پروژه به سه بخش متفاوت تقسیم شد که به شرح زیر است:

- طراحی مدلی که از اطلاعات سنسوری رخدادهای خطرناک رانندگی را تشخیص دهد.
 - پیاده‌سازی محیطی در ابر که عمل دریافت و ذخیره‌سازی اطلاعات را به انجام رساند.
 - طراحی یک مدل آماری که رانندگی افراد را مقایسه کند و به رفتارهای رانندگان امتیاز دهد.
- اطلاعات سنسوری به‌کاررفته در این پژوهش اطلاعات حسگرهای شتاب‌سنج وژیروسکوپ است که هر دو حسگرهای ارزان‌قیمتی محسوب شده و احتمال خراب شدن آن‌ها بسیار کم است که با بهره‌گیری از اطلاعات آن‌ها توانستیم رخدادهای خطرناک رانندگی از جمله؛ گردش به چپ و راست شدید، ترمز و شتابگیری شدید، تعویض لاین به چپ و راست شدید را با دقت قابل قبولی تشخیص دهیم. این فرایند با آموزش یک مدل درخت تصمیم‌گیری^۱ که بردارهای ویژگی آن از یک پنجره‌بندی اتفاقی و الگوریتم Fast-DTW بدست آمده، بر روی یک مجموعه دادگان که برچسب‌های رخدادهای فوق را داشتند، انجام

^۱ id^۳ with prune

شد. در ادامه با کمک Docker، با به کارگیری برنامه‌های Redis، RabbitMQ و برنامه‌ای میانی که این دو نرم‌افزار را به هم متصل کند سیستمی یکپارچه بر بستر ابری طراحی شد تا به عنوان ابر محاسباتی وظیفه دریافت و ذخیره‌سازی اطلاعات را انجام دهد. در پایان نیز با کمک مجموعه دادگانی دیگر که حجم اطلاعات بیشتری در اختیار ما قرار می‌داد یک مدل مبتنی بر توزیع‌های آماری طراحی شد تا با کمک آن بتوانیم نحوه عملکرد رانندگان را تشخیص دهیم و آن‌ها را مورد ارزیابی قرار دهیم.

۱-۳ ساختار پایان نامه

در این رساله، که در هفت فصل تدوین شده، در ابتدای هر فصل ابتدا مروری بر مفاهیم کلی، الگوریتم‌ها و نرم‌افزارهای به کاررفته، انجام شده و در ادامه جزئیات در بخش‌ها و طراحی آن را شرح داده خواهد شد. در فصل دوم به مروری بر کارهای انجام شده در این زمینه اشاره میشود و س در فصل سوم به طراحی مدلی که رخدادهای خطرناک را تشخیص می‌دهد، پرداخته شده، در فصل چهارم به پیاده‌سازی ابرمحاسباتی که وظیفه دریافت و ذخیره‌سازی را دارد، اشاره شده، در فصل پنجم نحوه امتیاز دهی به رانندگان توضیح داده شده، در فصل ششم، عملکرد هر یک از بخش‌ها به طور کامل بررسی می‌شود. در فصل هفتم نیز به نتیجه‌گیری و پیشنهادهایی که در ادامه راه این پروژه می‌تواند انجام شود، پرداخته می‌شود.

۲ فصل دوم

مروری بر کارهای پیشین

مروری بر کارهای پیشین

به طور کلی تشخیص رفتار راننده به معنی فرایندی خودکار برای جمع آوری اطلاعات راننده (سرعت، مکان، شتابگیری، ترمزگیری، نوع هدایت کردن و ...) و اعمال یک عملیات محاسباتی است تا امتیازی به میزان ایمن بودن رانندگی فرد، تخصیص یابد [5]. اطلاعات از خودروها ممکن است به طرق متفاوتی جمع آوری شوند، برای مثال اطلاعات می توانند با کمک سنسورهای تلفن همراه هوشمند یا با کمک سیستم های قابل توسعه یا با کمک دوربین های متصل به خودرو جمع آوری شود. همچنین روش های متفاوتی برای انجام عملیات محاسباتی برای تشخیص رفتار راننده وجود دارد که در ادامه به بررسی تعدادی از پژوهش ها و پروژه هایی که در این زمینه ها منتشر شده اند می پردازیم.

برنامه کاربردی Nericell که در [6] معرفی شد، یک برنامه تلفن همراه است که وضعیت جاده ها و ترافیک آن ها را بررسی می کند. این برنامه از سنسور شتاب سنج تلفن های هوشمند برای تشخیص چاله ها و رخدادهای ترمزگیری بهره می گیرد. همچنین از میکروفن تلفن همراه برای تشخیص صدای بوق استفاده می کند، این برنامه با کمک GPS نسبت به موقعیت مکانی و سرعت خودرو آگاه می شود. شیوهی تشخیص ترمز و دست اندازهای خیابان با رسیدن میزان اندازه حسگر شتاب سنج به سطح آستانه ای از پیش تعیین شده در پنجره های زمانی مشخصی، است. نتایج و دقت استخراج رویداد در این برنامه با معیار تشخیص غلط و تست درست (FP) و تشخیص غلط و تست غلط (FN) به ترتیب برای رخدادهای ترمزگیری: $FN: 8.4\% - FP: 2.2, 2\%$ و برای تشخیص دست انداز و چاله دقت: $FN: 7.3\% - FP: 0.5\%$ در سرعت های زیر ۲۵ کیلومتر بر ساعت انجام شد.

در [7] یک برنامه کاربردی اندروید بلادرنگ، برای تشخیص رانندگی خطرناک و تشخیص رانندگی در حالت مستی ارائه شد. این برنامه به طور مستقیم از اطلاعات حسگر شتاب سنج و گردش سنج^۱، حرکات دورانی غیرعادی خودرو و مسئله عدم توانایی ثابت نگه داشتن سرعت را (که هر دو از علائم رانندگی در حالت مستی هستند) را تشخیص می دهد. سپس با حل معادلاتی با کمک اطلاعات دو حسگر فوق، بردار شتاب طولی و عرضی خودرو را محاسبه می کند. برای تشخیص رویدادهای غیرعادی دورانی، در

^۱ Orientation Sensor: این حسگر یک حسگر فیزیکی نیست بلکه خروجی یک فیلتر کالمن است که از اطلاعات حسگرهای شتاب سنج وژیروسکوپ و در مواقعی مگنومتر (تشخیص میدان مغناطیسی زمین) تشکیل شده و خروجی این حسگرها پارامترهای roll, pitch, yaw است که با توجه به نحوه قرارگیری تلفن همراه مشخص می شود.

پنجره‌های پنج‌ثانیه‌ای میزان ماکزیمم و مینیمم سیگنال را محاسبه کرده و در صورتی که از حد آستانه‌ای مشخص عبور کند، هشدار علائم دورانی فعال می‌شود و در صورتی که بردار طولی سرعت در طی زمانی مشخص مثبت یا منفی باقی بماند، هشدار عدم توانایی ثابت نگه‌داشتن سرعت فعال می‌شود، نتایج عملی این پژوهش به صورت روبه‌رو است: $FN: 0\% - FP: 99\%$ برای تشخیص حرکات دورانی غیرعادی و $FN: 0\% - FP: 99\%$ برای تشخیص توانایی کنترل ثابت نگه‌داشتن سرعت.

برنامه کاربردی WreckWatch که در [۸] معرفی شد، یک برنامه اندرویدی تحت شبکه برای تشخیص تصادفات رانندگی است. برنامه سمت کاربر، تصادفات را تشخیص و اطلاعات مربوطه را تهیه کرده و به سرویس‌دهنده ارسال می‌کند. این برنامه اطلاعات حسگر شتاب‌سنج، GPS و میکروفن را برای تشخیص تصادفات، مورد استفاده قرار می‌دهد. این برنامه ۱۱ حالت مختلف وضعیت تلفن همراه را برای تشخیص تصادف بررسی می‌کند. پارامترهایی که برای تشخیص تصادف در نظر گرفته می‌شوند، تغییر ناگهانی شتاب در یک جهت، بررسی صدای بلند و سرعت خودرو هستند. یکی از سناریوهای تشخیص تصادف می‌تواند وقوع تغییر ناگهانی شتاب، ایجاد صدای بلند و توقف خودرو باشد. نتایج آزمایشات عملی نشان می‌دهد که در صورتی که تلفن همراه از روی سطح داشبورد به زمین بیفتد، نتیجه مشابه تصادف و در بعضی از تصادفات به علت سایر شرایط محیطی میکروفن افزایش صدا را تشخیص نداده و تصادف تشخیص داده نشده است ولی در اکثر موارد توانسته به خوبی عمل کند.

در [۹] یک برنامه تلفن همراه هوشمند ارائه شده که میزان مصرف سوخت را محاسبه می‌کند و از این طریق تأثیرات رفتار راننده بر مصرف سوخت را تحلیل می‌کند. همچنین این برنامه توانایی راهنمایی (هشدار تعویض دنده یا سرعت زیاد) در حین رانندگی را داراست تا راننده عملکرد بهتری در جهت کاهش مصرف سوخت از خود ارائه دهد. در این برنامه بجای اینکه از حسگرهای تلفن همراه هوشمند استفاده شود، دستگاهی به پورت OBD-II خودرو متصل می‌شود که اطلاعات ECU خودرو (نظیر سرعت، شتاب، دور موتور و...) را توسط بلوتوث به تلفن همراه منتقل کند. تلفن همراه وظیفه ذخیره و نگهداری این اطلاعات را بر عهده دارد. در ادامه این اطلاعات به کمک یک تبدیل خطی و دو سیستم فازی میزان مصرف سوخت را اعلام می‌کردند و همه پردازش به صورت بلادرنگ انجام می‌شود.

در [۱۰]، یک برنامه بر روی تلفن همراه ارائه شده که توانایی دسته‌بندی رفتار راننده به ایمن و پرخطر را دارا است. این برنامه توانایی تشخیص رویداد چرخش، ترمزگیری و شتابگیری خطرناک را دارد و برای

این کار از حسگرهای شتاب‌سنج و ژيروسکوپ، مگنومتر استفاده می‌کند. به این شکل که ابتدا نقاطی را روی سیگنال را مشخص کرده، سپس با مقایسه الگوهایی از پیش تعیین‌شده میزان شباهت سیگنال‌ها را با کمک DTW محاسبه می‌کند و در پایان با کمک یک دسته‌بندی‌کننده بیزین باینری، به رویدادها برچسب خطرناک و ایمن می‌زند، دقت تشخیص رخداد خطرناک از غیر خطرناک در آن ۸۷ درصد است. در [۱۱] یک برنامه کاربردی اندروید برای تلفن همراه نوشته‌شده، که با کمک حسگرهای شتاب‌سنج و GPS، وضعیت خودرو (جابه‌جایی و سرعت)، الگوهای رانندگی (شتابگیری و ترمزگیری)، وضعیت جاده (خاکی، آسفالت، دست‌انداز، چاله) را شناسایی می‌کند. تشخیص این رخدادها با محاسبه اندازه مقادیر حسگر با آستانه‌ای مشخص، تکرار و تعداد رخداد ایجادشده و زمان میان این رویدادها انجام می‌شود. به‌عنوان مثال، برای شتاب‌گیری و ترمزگیری بردار شتاب در راستای y نباید از میزان $0.3g$ بیشتر شود. نتایج عملی این پژوهش دقت دسته‌بندی جاده‌ها را برای تشخیص نقاط غیرعادی در جاده‌های خاکی؛ دست‌انداز: ۸۱.۵٪، چاله: ۷۵٪، در جاده‌های آسفالت؛ دست‌انداز: ۹۱.۵٪، چاله: ۸۹.۴٪ اعلام کرده است.

Sensfleet که در [۱۲] معرفی شده، یک برنامه کاربردی تلفن همراه هوشمند برای نمره‌دهی به رفتار راننده است که توانایی تشخیص رخدادهای خطرناک دارا است. این برنامه از اطلاعات حسگرهای شتاب‌سنج، مگنومتر، گرانج‌سنج و GPS استفاده کرده که با کمک یک سیستم فازی در صورتی که حسگرها به آستانه‌ای مشخص برسند، رخدادهای خطرناک رانندگی از جمله سرعت زیاد، چرخش خطرناک، شتابگیری و ترمز خطرناک که در یک سفر رخ می‌دهد را شناسایی می‌کند. این برنامه در انتهای هر سفر، عددی بین ۰-۱۰۰ به هر راننده می‌دهد که میزان ایمن بودن رانندگی وی را بر اساس مسافتی که شخص راننده طی کرده، مشخص می‌کند.

در [۱۳] با طول‌های مختلفی، اطلاعات حسگرهای شتاب‌سنج، ژيروسکوپ و مگنومتر را پنجره‌بندی کرده و تنها با محاسبه متغیرهای آماری هر پنجره (واریانس، میانگین هر پنجره، و ضریبی از میانگین پنجره قبل) بردار ویژگی را استخراج می‌نماید و با بکارگیری طبقه‌بندی‌کننده‌های مختلف (شبکه عصبی، SVM و شبکه‌های بیزین) سعی می‌کند رخدادهای خطرناک رانندگی را تشخیص دهد. بیشترین دقت مجموعه از بهره‌گیری یک شبکه‌های عصبی، با ۲ لایه مخفی و پنجره‌ای با طول ۲۰۰ بدست می‌آید. همچنین در این پژوهش اهمیت سنسورهای بکار رفته را بررسی کرده که بر اساس نتایج به این نکته

دست یافته که میزان اهمیت حسگرهای شتاب‌سنج وژیروسکوپ نسبت به مگنومتر بیشتر بوده و مدل بر اساس اطلاعات این دو حسگر رخدادها را تشخیص می‌دهند.

در [۱۴] شروع به پنجره بندی بر سیگنال های شتاب‌سنج، ژيروسکوپ و مگنومتر کرده و بجای اینکه بردارهای ویژگی هر پنجره محاسبه شود، اطلاعات خام حسگر ها به شبکه های عصبی بازگشتی داده شده و سعی شده که با کمک شبکه های SimpleRNN،GRU و LSTM رخدادهای خطرناک رانندگی تشخیص داده شوند. که نتیجه کلی هر یک از شبکه ها به ترتیب ۹۴، ۷۰، ۹۵ درصد است. که شبکه عصبی LSTM با ۱۰ نرون بیشترین دقت را داشته است.

در [۱۵] نرم‌افزاری برای تلفن همراه طراحی شده است که اطلاعات شتاب‌سنج، مگنومتر و سرعت متوسط خودرو که توسط GPS استخراج شده را پنجره بندی کرده، سپس نویز آن را حذف نموده و در ادامه با گرفتن تبدیل ویولت^۱، با استفاده از بردار ویژگی استخراج شده، یک شبکه عصبی با دقت ۷۹ درصد از رویدادهای خطرناک، نیمه خطرناک و ایمن آموزش داده است.

در [۱۶] برنامه‌ای برای تشخیص رخدادهای رانندگی به صورت ایمن، خطرناک طراحی شده است، پنجره‌های زمانی در این طراحی ۳.۵ ثانیه و به صورت ثابت است. این برنامه با استفاده از اطلاعات کامپیوتر مرکزی خودرو، دو مدل یادگیری عمیق با به کارگیری یک شبکه LSTM (با تعداد سلول و لایه‌های متفاوت) و یک شبکه چهار لایه‌ای از CNN یک بعدی و یک شبکه fully connected سه لایه‌ای در ادامه آن، سعی بر تشخیص رویدادهای خطرناک کرده است، میزان دقت F1-score برای بهترین مدل شبکه LSTM (پس بهینه سازی تعداد و لایه) به عدد ۸۲٪ رسیده و میزان دقت F1-score شبکه حاوی CNN یک بعدی به عدد ۹۳٪ رسیده است. در این پژوهش، رویدادها به طور جزئی استخراج نمی‌شوند و تنها رویدادها به صورت خطرناک و ایمن بررسی می‌شوند.

در [۱۷] با استفاده از حسگرهای شتاب‌سنج و ژيروسکوپ، رخدادهای ترمزگیری، شتابگیری و تغییر لاین خطرناک با به کارگیری شبکه عصبی عمیقی تشخیص داده شده است. این شبکه که از دو لایه CNN یک بعدی و یک شبکه fully connected تشکیل شده، رویدادها را به طور متوسط با دقت

^۱ Wavelet transform

FI-score، ۷۱/۵ درصد شناسایی می‌کند. زمان محاسبه هر رویداد توسط این روش ۴.۱۵ ثانیه است؛ که به این معنی است که در زمان واقعی نمی‌توان از این الگوریتم استفاده نمود.

بر اساس پژوهش‌هایی که در پیش تعریف شد؛ به‌طور کلی ۳ رویکرد در مواجهه با مسئله تشخیص و نمره‌دهی رفتار رانندگان وجود دارد: ۱- رویکرد رسیدن حسگر به آستانه‌ای مشخص، به صورتی که حسگر به حد آستانه‌ای مشخص نزدیک شود، رخدادها تشخیص دهد، به‌عنوان مثال تشخیص رویداد سرعت غیرمجاز که اگر سرعت به حد آستانه‌ای برسد، رویداد تشخیص داده خواهد شد. ۲- استخراج بردار ویژگی و به‌کارگیری الگوریتم‌های یادگیری ماشین، با استفاده از اطلاعات حسگرها و یک بردار ویژگی با روش‌های مختلف (تبدیل ویولت، DTW و...) استخراج شود و با کمک الگوریتم‌های یادگیری ماشین (مدل‌های بیزین، درخت تصمیم،...) سعی بر تحلیل رفتار راننده شود. ۳- استفاده از روش‌های یادگیری عمیق، که با کمک اطلاعات سنسوری موجود در یک شبکه‌های عصبی طراحی و آموزش داده شود به‌نحوی که بتواند به تشخیص رخدادها خطرناک یا امتیازدهی به رانندگی بپردازد.

مزیت روش اول این است که به‌سادگی و با حداقل هزینه پردازشی می‌تواند به‌صورت بلادرنگ پیاده‌سازی شود ولی با این روش نمی‌توان رویدادهای پیچیده‌ای را با دقت بالا تشخیص داد. روش دوم شیوه‌ای میانه است به این معنا که می‌توان به تشخیص مدل‌های پیچیده‌تر پرداخت و بسته به نوع پردازنده مورد استفاده، می‌توان آن را به‌صورت بلادرنگ پیاده‌سازی کرد؛ اما مزیت روش سوم توانایی تشخیص هرگونه رویداد پیچیده‌ای است که بتوانیم برچسب اطلاعات آن را استخراج کرده و شبکه عصبی متناسب به آن را آموزش داد، ولی عیب اصلی آن بزرگ بودن مدل‌ها و حجم پردازش زیاد برای پیاده‌سازی در سخت افزارهای قابل توسعه است که پیاده‌سازی آن را در زمان واقعی با چالش مواجه می‌کند.

۳ فصل سوم

مدل پیشنهادی در تشخیص رخدادهای خطرناک

تشخیص رخدادهای خطرناک

در این بخش ابتدا مروری بر الگوریتم‌ها انجام شده و سپس به بررسی اطلاعات و مجموعه دادگان مورد استفاده پرداخته می‌شود تا درک بهتری از اطلاعاتی که با آن کار می‌کنیم، داشته باشیم. در ادامه به بررسی شیوه آموزش مدل پرداخته می‌شود. در آخر از بین مدل‌های آموزش داده‌شده، بهترین مدل که بیشترین دقت توانایی پیاده‌سازی در عمل را دارد انتخاب می‌شود.

۱-۳ مروری بر الگوریتم‌های FastDTW

۱-۱-۳ الگوریتم DTW

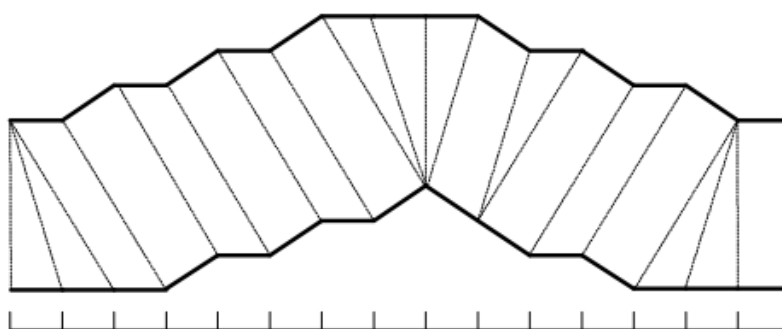
^۱DTW یک تکنیک برای یافتن میزان شباهت دو سری زمانی و یا همسویی بهینه بین دو سری زمانی است. یک سری زمانی ممکن است با بزرگ یا کوچک کردن در امتداد محور زمانی خود، به صورت غیرخطی «تاب^۲» داده شود. سپس می‌توان از این تاب دادن میان دو سری زمانی، برای یافتن مناطق متناظر بین این دو سری یا تعیین شباهت این دو سری استفاده کرد. از DTW اغلب برای تشخیص اینکه آیا دو شکل موج گفتار، یک عبارت گفتاری یکسان را نشان می‌دهند یا خیر، استفاده می‌شود. در شکل موج گفتار، مدت زمان هر صدای گفتاری و فاصله بین صداها، مجاز است که تغییر کند، اما شکل موج کل گفتار باید مشابه باشد. علاوه بر تشخیص گفتار، DTW در بسیاری از رشته‌های دیگر از جمله داده‌کاوی، تشخیص حرکت و رباتیک نیز مفید شناخته شده است. DTW معمولاً در داده‌کاوی به عنوان اندازه‌گیری فاصله بین سری‌های زمانی استفاده می‌شود. نمونه‌ای از نحوه «تاب دادن» یک سری زمانی به سری زمانی دیگر در شکل ۱-۳ نشان داده شده است.

در شکل ۱-۳ هر خط عمودی یک نقطه را در یک سری زمانی به نقطه مشابه آن در سری زمانی دیگر متصل می‌کند. خطوط درواقع مقادیر مشابهی در محور y دارند اما از هم جدا شده‌اند؛ بنابراین می‌توان خطوط عمودی بین آن‌ها را با سهولت بیشتری مشاهده کرد. اگر هر دو سری زمانی در این شکل یکسان

^۱ Dynamic time warping

^۲ Warped

باشند، همه خطوط مستقیماً خطوطی عمودی خواهند بود زیرا برای «ردیف کردن»^۱ این دو سری زمانی هیچ‌گونه تاب نخواهیم داشت. فاصله مسیر تاب، اندازه‌گیری تفاوت بین این دو سری زمانی است که بعد از انحراف آن‌ها باهم جمع می‌شود که از جمع فواصل بین هر جفت از نقاط متصل به خطوط عمودی در شکل ۳-۱ اندازه‌گیری می‌شود؛ بنابراین، دو سری زمانی که به‌جز تاب موضعی که نسبت به محور زمان یکسان هستند، فاصله DTW صفر دارند. علی‌رغم کاربردی بودن الگوریتم DTW، دارای پیچیدگی زمانی و مکانی $O(N^2)$ است که مفید بودن آن را به سری‌های زمانی کوچک حاوی بیش از چند هزار نقطه داده محدود می‌کند.



شکل ۳-۱ مفهوم تاب دادن میان دو سری زمانی [۱۷]

اندازه‌گیری فاصله بین سری‌های زمانی برای تعیین شباهت بین آن‌ها و برای طبقه‌بندی سری‌های زمانی مورد استفاده قرار می‌گیرد. فاصله اقلیدسی یک شیوه اندازه‌گیری فاصله است که می‌تواند مورد استفاده قرار گیرد. فاصله اقلیدسی بین دو سری زمانی، مجموع مربع فواصل از هر نقطه n ام تا نقطه n ام در سری زمانی دیگر است. عیب اصلی استفاده از فاصله اقلیدسی برای داده‌های سری زمانی این است که نتایج آن بسیار غیرشهودی است. اگر دو سری زمانی یکسان باشند، اما یکی در طول محور زمان کمی جابجا شود، فاصله اقلیدسی ممکن است آن‌ها را بسیار متفاوت از یکدیگر بداند. برای مقابله با این محدودیت اندازه‌گیری فاصله بین سری‌های زمانی با نادیده گرفتن تغییرات و شیفت‌های زمانی DTW در [۱۸] معرفی شد، به اختصار آن را توضیح داده و در ادامه به بررسی Fast-DTW می‌پردازیم.

با فرض داشتن دو سری زمانی X و Y به طول‌های $|X|$ و $|Y|$ داریم :

^۱Line up

$$Y = y_1, y_2, \dots, y_j, \dots, y_{|Y|} \quad X = x_1, x_2, \dots, x_i, \dots, x_{|X|} \quad \text{رابطه (۱-۳)}$$

طول مسیر تاب به این شکل تعریف می‌شود:

$$W = w_1, w_2, \dots, w_K \quad \max(|X|, |Y|) \leq K < |X| + |Y| \quad \text{رابطه (۲-۳)}$$

که در آن k تعداد طول مسیر تاب و k آمین عنصر مسیر تاب $w_k = (i, j)$ تعریف می‌شود. به صورتی که در آن i ، درایه سری زمانی X و j درایه سری زمانی Y باشد.

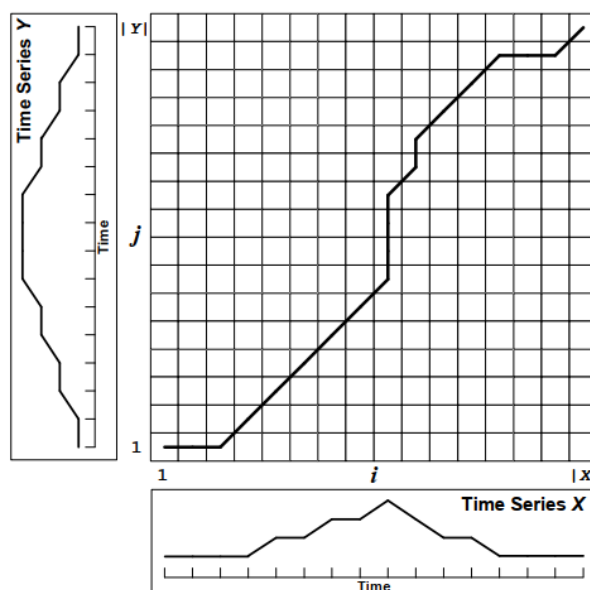
مسیر تابش باید از $(1, 1)$ شروع شده و با $(|X|, |Y|)$ تمام شود تا این اطمینان را بدهد که از هر عنصر دو سری زمانی در مسیر تاب استفاده می‌شود. در مسیر تاب نیز محدودیتی وجود دارد که i و j را مجبور می‌کند تا به طور یکنواخت در مسیر تاب افزایش یابند، به همین دلیل خطوط نمایانگر مسیر تاب در شکل ۱-۳ هم پوشانی ندارند. باید از هر درایه هر سری زمانی استفاده شود. به بیان ریاضی:

$$w_k = (i, j), w_{k+1} = (i', j') \quad i \leq i' \leq i + 1, j \leq j' \leq j + 1 \quad \text{رابطه (۳-۳)}$$

مسیر بهینه تاب، مسیری تابی است که طول مسیر تاب W ، حداقل فاصله را طی کند:

$$\text{Dist}(W) = \sum_{k=1}^{k=K} \text{Dist}(w_{ki}, w_{kj}) \quad \text{رابطه (۴-۳)}$$

$\text{Dist}(W)$ فاصله‌ای است که می‌توان بین این دو سری زمانی (معیاری از شباهت) تعریف می‌شود.



شکل ۳-۲- ماتریس هزینه، که در آن مسیر تاب بهینه مشخص شده است. [۱۷]

الگوریتم DTW، از یک رویکرد برنامه‌نویسی پویا برای یافتن این مسیر تاب بهینه استفاده می‌کند و به جای تلاش برای حل یک‌باره کل مسئله، مسئله را به بخش‌های کوچک‌تر (بخش‌هایی از سری زمانی) تقسیم کرده و سعی بر حل آن دارد تا جایی که مسئله نهایی حل شود. یک ماتریس هزینه D در ابعاد $|X|$ در $|Y|$ تعریف شد که میزان $D(i, j)$ آن مینیمم مسیر تاب است که توسط دو سری زمانی X و Y ساخته می‌شود. شکل ۲-۳ بیانگر یک نمونه از ماتریس هزینه است که مینیمم فاصله‌ی تاب بین دونقطه‌ی $D(1, 1)$ و $D(|X|, |Y|)$ را نمایش می‌دهد.

برای یافتن مینیمم فاصله‌ی تاب، همه‌ی سلول‌های ماتریس هزینه باید حساب شوند. منطق استفاده از یک رویکرد برنامه‌نویسی پویا برای حل مسئله این است که چون $D(i, j)$ حداقل فاصله‌ی تاب از دوسری زمانی مشخص به طول i و j است، اگر حداقل فاصله‌های تاب برای همه قسمت‌ها کمی کوچک‌تر از آن سری زمانی که یک نقطه داده واحد با طول i و j فاصله‌دارند، مشخص باشد، سپس مقدار $D(i, j)$ حداقل فاصله تمام مسیرهای تاب ممکن برای سری‌های زمانی است که یک نقطه داده کوچک‌تر از i و j هستند، به علاوه فاصله بین دونقطه X_i و Y_j خواهد شد.

$$D(i, j) = \text{Dist}(i, j) + \min[D(i-1, j), D(i, j-1), D(i-1, j-1)] \quad \text{رابطه (۵-۳)}$$

برای مثال: دو سری زمانی X و Y به ترتیب به صورت $\{0, 6, 2, 6, 0, 0, 3, 2, 1\}$ و $\{3, 3, 0, 0, 6, 2, 6, 0\}$ در اختیارداریم و می‌خواهیم میزان شباهت دو سیگنال را محاسبه کنیم، ابتدا باید ماتریس D را طبق رابطه ۵-۳ از نقطه $D(1, 1)$ محاسبه کنیم

جدول ۱-۳- نحوه محاسبه ماتریس هزینه در الگوریتم DTW

time series Y	cost matrix									
۳	۱۷+۳									
۳	۱۴+۳	۳+۱۴								
۰	۰+۱۴	۰+۱۴								
۰	۰+۱۴	۱۴+۱۴								
۶	۶+۸	۶+۸								
۲	۲+۶	۸+۶	۴+۰	۰+۰						
۶	۶	۶	۰+۰	۴+۰						
۰	۰	۰	۶	۲+۶	۶+۸	۰+۱۴	۰+۱۴	۱۴+۳	۱۷+۲	۱۸+۲
time series X	۰	۰	۶	۲	۶	۰	۰	۳	۲	۱

جدول ۳-۲- محاسبه مسیر تاب و میزان شباهت دو سیگنال توسط DTW

time series Y	cost matrix									
۳	۲۰	۲۰	۱۸	۶	۸	۶	۶	۰	۱	۳
۳	۱۷	۱۷	۱۵	۵	۷	۳	۳	۰	۴	۶
۰	۱۴	۱۴	۱۲	۴	۸	۰	۰	۳	۵	۶
۰	۱۴	۲۸	۶	۲	۶	۰	۰	۳	۵	۶
۶	۱۴	۱۴	۰	۴	۰	۶	۱۲	۳	۵	۱۰
۲	۸	۱۴	۴	۰	۴	۶	۸	۱	۵	۶
۶	۶	۶	۰	۴	۴	۱۰	۱۶	۳	۵	۱۰
۰	۰	۰	۶	۸	۱۴	۱۴	۱۴	۱۷	۱۹	۲۰
time series X	۰	۰	۶	۲	۶	۰	۰	۳	۲	۱

همان‌طور که در جدول ۳-۲ مشاهده می‌کنید، پس از تکمیل ماتریس D ، برای محاسبه میزان شباهت از نقطه $(|X|, |Y|)$ شروع کرده و بر روی کم‌ترین میزان، حرکت می‌کنیم تا به نقطه‌ی $(1, 1)$ برسیم. حال مجموع اعداد مسیر طی شده را با یکدیگر جمع می‌کنیم؛ که به عدد چهار می‌رسیم، همان‌طور که مشاهده می‌شود اکثر مسیر بهینه تاب عدد صفر را نمایش می‌دهد که به این معنی است که دو سری زمانی X و Y با یکدیگر نسبتاً شباهت بالایی دارند، همان‌طور که می‌دانستیم این دو سری زمانی انتقال یافته یکدیگر بودند که در نقاط اندکی با یکدیگر تفاوت داشتند.

نکته قابل توجه بعدی این است، هر چه از این مسیر بهینه دور می‌شویم این اعداد بزرگ‌تر می‌شوند درحالی‌که برای محاسبه شباهت دو سری زمانی به این اعداد نیاز نداریم، محاسبه‌ی این اعداد تنها باعث زمان‌بر شدن حل مسئله می‌شوند. همچنین در این الگوریتم برای یافتن مسیر بهینه می‌بایست همه‌ی درایه‌های ماتریس D را محاسبه می‌کردیم که شاید بتوان با ایده‌ای خلاقانه محاسبات را ساده و سریع‌تر کرد، خوشبختانه این کار پیش‌تر در [۱۷] انجام شده و الگوریتمی با عنوان FastDTW در آن ارائه شد. پیچیدگی محاسباتی در الگوریتم DTW در ردیف $O(N^2)$ و در الگوریتم FastDTW در ردیف $O(N)$ قرار دارد، در ادامه به شرح الگوریتم FastDTW می‌پردازیم.

۲-۱-۳ الگوریتم FastDTW

الگوریتم FastDTW از یک رویکرد چند سطحی با سه عملیات کلیدی استفاده می‌کند:

۱- درشت کردن^۱: یک سری زمانی را به یک سری زمانی کوچک‌تر تبدیل می‌کند که منحنی یکسانی را با حداکثر دقت با نقاط داده کمتر نشان می‌دهد.

۲- پیش‌نمایش^۲: یک مسیر تاب بهینه را، در وضوح کمتر پیدا می‌کند تا از آن به‌عنوان یک حدس اولیه برای مسیر تاب بهینه در وضوح^۳ بالاتر استفاده کند.

۳- اصلاح کردن^۴: توسط همسایگی‌ها که در وضوح بالاتر محاسبه می‌شود، مسیر تاب پیش‌نمایش شده، در وضوح پایین، اصلاح می‌شوند.

درشت کردن، سائز (وضوح) سری زمانی‌ها را با میانگین‌گیری روی نقاط هم‌جوار کاهش می‌دهد. در نتیجه سری زمانی جدید، از سری زمانی قبلی کوچک‌تر است. چندین بار این اتفاق می‌افتد تا سری زمانی‌هایی با وضوح متفاوتی ایجاد شوند. پیش‌نمایش بر روی پایین‌ترین وضوح، الگوریتم مسیر تاب بهینه را محاسبه می‌کند. از آنجایی که وضوح با ضریب دو افزایش می‌یابد، یک نقطه واحد، در مسیر تاب با وضوح پایین به حداقل چهار نقطه در وضوح بالاتر تبدیل می‌شود. این مسیر پیش‌بینی‌شده به‌عنوان یک روش ابتکاری در هنگام اصلاح مسیرتاب بهینه برای یافتن یک مسیرتاب خورده با وضوح بالاتر استفاده می‌شود. اصلاح کردن، بهینه‌ترین مسیرتاب را در همسایگی مسیری (که در پیش‌نمایش معرفی شد) با کمک پارامتر شعاعی^۵ می‌یابد.

الگوریتم FastDTW ابتدا از درشت سازی برای ایجاد تمام وضوح‌هایی که بررسی می‌شوند، استفاده می‌کند. شکل ۳-۳ چهار وضوح متفاوت هنگام اجرای الگوریتم FastDTW را نشان می‌دهد که پیش‌تر در سری زمانی X,Y که در شکل ۱-۳ و شکل ۲-۳ استفاده شده است مشاهده می‌کنید.

^۱ Coarsening

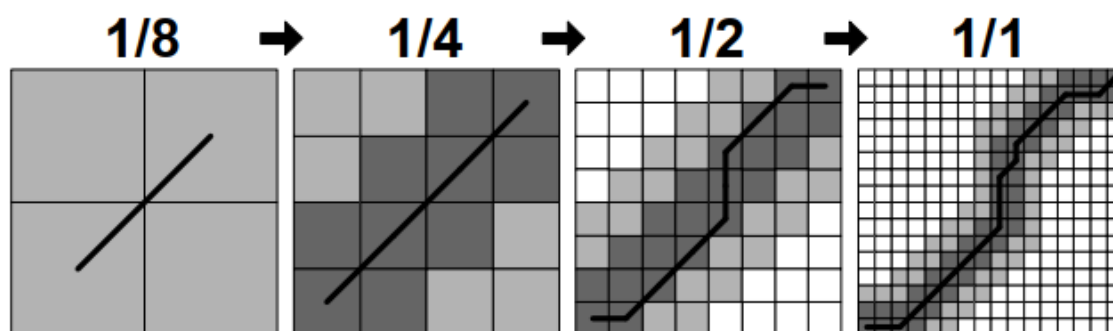
^۲ Projection

^۳ Resolution

^۴ Refinement

^۵ Radius

الگوریتم استاندارد DTW برای یافتن مسیر بهینه تاب برای سری زمانی با کمترین وضوح اجرا می‌شود. این مسیرتاب در سمت چپ شکل ۳-۳ که با وضوح کم است، نشان داده شده. بعداً این که مسیر بهینه در این حالت محاسبه شد به حالت پیش‌نمایش در مرحله بعد ظاهر می‌شود. برای اصلاح کردن در این مرحله الگوریتم DTW به صورت محدود شده اعمال می‌شود. محدودیت هم شامل تنها محاسبه مسیر تابی است که پیش‌نمایش شده، به این شکل می‌توان مسیرتاب بهینه را از وضوح کمتر به وضوح بالاتر برد. اگرچه ممکن است که مسیرتاب بهینه اصلی در محدوده پیش‌نمایش وجود نداشته باشد، پس یک پارامتر دیگر تحت عنوان پارامتر شعاعی در نظر گرفته شد که نقاطی به مجموعه پیش‌نمایش برای بررسی مجدد اضافه کند. در شکل ۳-۳ پارامتر شعاعی ۱ در نظر گرفته شد. به این ترتیب هنگامی که محدوده پیش‌نمایش محاسبه شد، یک واحد از هر سمت به اطراف آن افزوده می‌شود (خاکستری کم‌رنگ).



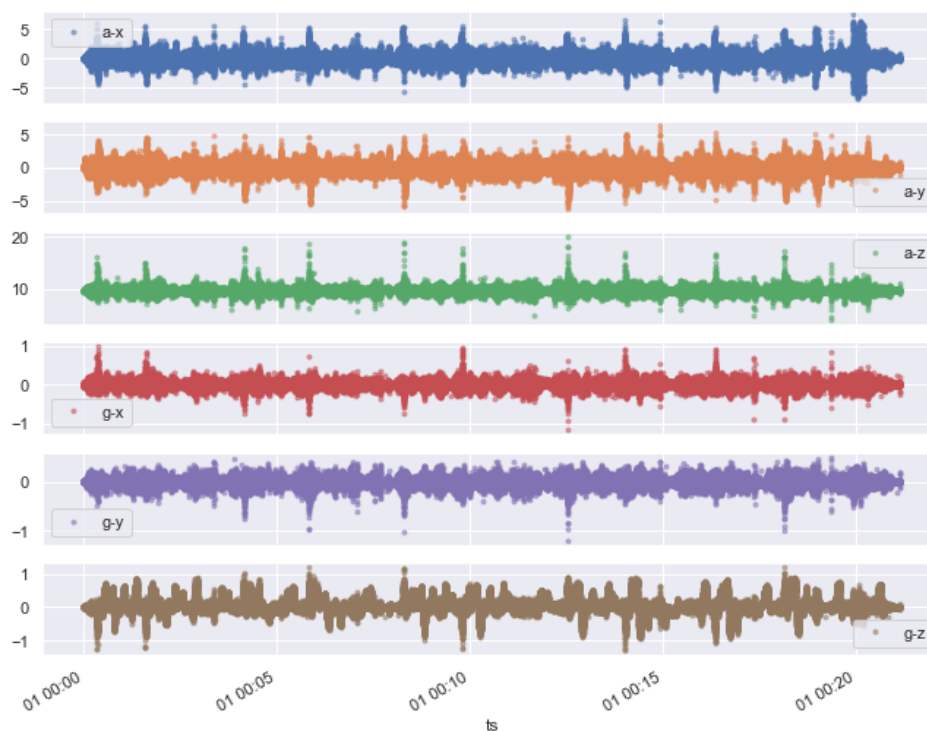
شکل ۳-۳- چهار وضوح متفاوت در حین اجرای الگوریتم FastDTW [۱۷]

اگرچه مسیرتاب بهینه در شکل فوق وارد محدوده شعاعی نشد و محاسبه آن نیازی نبود ولی نکته قابل توجه در این الگوریتم به سادگی در شکل ۳-۳ قابل مشاهده است، در این الگوریتم تعداد خانه‌های ماتریس هزینه که ما حساب کردیم شامل $16+4+100+44$ هستند که یعنی ۱۶۴ درایه محاسبه شد این درحالی که است که اگر الگوریتم DTW ساده را می‌خواستیم محاسبه کنیم باید ۲۵۶ خانه را بررسی می‌کردیم که به طور کامل کاهش حجم محاسبات را برای ما نشان می‌دهد.

۲-۳ جمع‌آوری و آنالیز اکتشافی اطلاعات

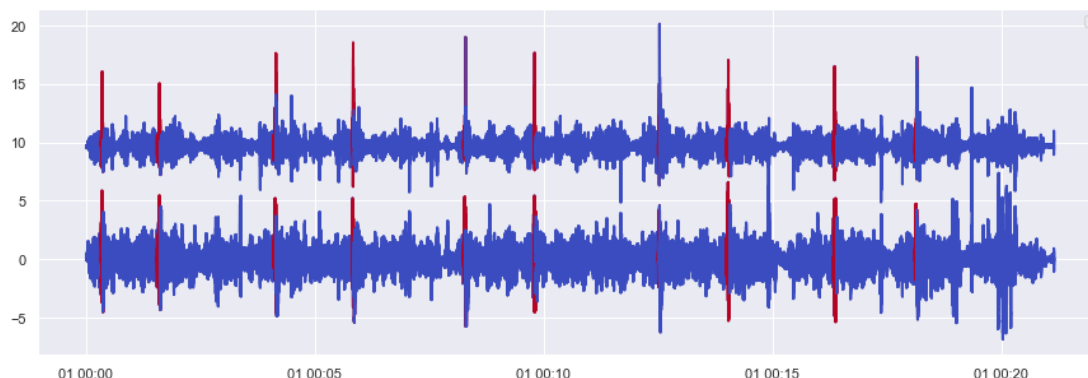
برای پیش برد این بخش، از مجموعه دادگان ارائه‌شده توسط [۱۹] استفاده شد. این مجموعه اطلاعات توسط تلفن همراه هوشمند جمع‌آوری گردید که شامل اطلاعات سنسوری شتاب‌سنج، شتاب‌سنج خطی، مگنومتر و ژيروسکوپ بود. جزئیات این اطلاعات به شرح زیر است:

- ۱- شامل ۴ مرتبه رانندگی به مدت زمان متوسط ۱۳ دقیقه است.
- ۲- شرکت‌کنندگان در این آزمایش، دو راننده با سابقه ۱۵ سال رانندگی بودند که رخدادهای خطرناک را ایجاد می‌کردند.
- ۳- فرکانس نمونه‌برداری از شتاب‌سنج و ژيروسکوپ ۵۰ هرتز است.
- ۴- آزمایش‌ها در آب‌وهوای آفتابی و در جاده‌هایی با آسفالت خشک انجام شد.
- ۵- تلفن همراه هوشمند مورد استفاده Motorola XT۱۰۵۸ با نسخه اندروید ۵.۱ انجام شد.
- ۶- تلفن هوشمند با استفاده از وسیله‌ای بر روی شیشه جلو اتومبیل Honda Civic ۲۰۱۱ ثابت شد تا هنگام جمع‌آوری داده‌های تلفن جابجا نشود.



شکل ۳-۴- نمونه‌ای از اطلاعات سنسوری یک راننده در طول ۲۰ دقیقه رانندگی

همان‌طور که در شکل ۳-۴ مشاهده می‌کنید، در این پژوهش ما تنها از اطلاعات حسگرهای شتاب‌سنج و ژيروسکوپ استفاده کردیم. برچسب‌گذاری رویدادها در فایلی جداگانه و به‌صورت زمان محور اعلام شد. به این معنا که زمان شروع و اتمام رویداد ذخیره‌شده و در اختیار ما قرار می‌گیرد. برای مثال در شکل ۳-۵ که اطلاعات تمامی سنسورها به‌صورت تجمیع یافته نمایش داده شدند، لبه‌های قرمز رنگ، رویدادهای مربوط به ترمزگیری شدید هستند.



شکل ۳-۵- رویدادهای ترمزگیری شدید

توزیع طبقه‌بندی‌های این مجموعه دادگان را در جدول ۳-۳ مشاهده می‌کنید. همان‌طور که مشخص است در مجموع ۵۵ رخداد برای یک ساعت رانندگی وجود دارد که برای انجام فرایند طبقه‌بندی میزان مناسبی می‌تواند باشد و با توجه به گستردگی و تنوع از نوع رویدادها می‌توان فرایند تشخیص را به‌طور کامل انجام داد. حال به بررسی دقیق‌تر این اطلاعات می‌پردازیم:

جدول ۳-۳- توزیع طبقه‌بندی مجموعه دادگان

انحراف معیار	میانگین	بزرگ‌ترین	کوچک‌ترین	تعداد
۴۲/۱۵	۱۸۰	۲۴۵	۱۲۰	۱۲
۲۴/۷۲	۱۱۹	۱۸۵	۹۵	۱۲
۲۵/۶	۱۷۳	۲۲۵	۱۵۰	۱۱
۲۴/۹	۱۷۳	۲۲۵	۱۴۰	۱۱
۱۱/۹	۱۱۱	۱۲۵	۹۵	۵
۱۷/۷	۱۰۵	۱۲۰	۸۰	۴

می‌دانیم یکی از ساده‌ترین روش‌ها برای بررسی یک مجموعه دادگان مقایسه آن با توزیع نرمال است، همچنین می‌دانیم در توزیع نرمال $۹۵/۴۳$ درصد اطلاعات در بازه [میانگین \pm دو برابر انحراف معیار] قرار می‌گیرند، در جدول ۳-۴ محاسبه این امر را مشاهده می‌کنیم. می‌توان بررسی نمود که اطلاعات

نسبت به توزیع نرمال فشرده‌تر هستند که نشان از استاندارد بودن مجموعه دادگان مورد بررسی است و این امر کمک می‌کند که فرایند طبقه‌بندی را با دقت بهتری بتوانیم انجام دهیم.

جدول ۳-۴- مقایسه رویداد های مجموعه دادگان با توزیع نرمال

	کوچک‌ترین	$\mu-2\sigma$	بزرگ‌ترین	$\mu+2\sigma$
شتابگیری خطرناک	۱۲۰	۹۵/۷	۲۴۵	۲۶۴/۳
ترمزگیری خطرناک	۹۵	۶۹/۵۶	۱۸۵	۱۶۸/۴۴
چرخش به راست خطرناک	۱۵۰	۱۲۱/۸	۲۲۵	۲۲۴/۲
چرخش به چپ خطرناک	۱۴۰	۱۲۳/۲	۲۲۵	۲۲۲/۸
تعویض لاین به راست خطرناک	۹۵	۸۷/۲	۱۲۵	۱۳۴/۸
تعویض لاین به چپ خطرناک	۸۰	۶۹/۶	۱۲۰	۱۴۰/۴

۳-۳ طراحی مدل

اولین مسئله‌ای که در طراحی مدل برای تشخیص رویدادهای رانندگی با آن مواجه هستیم، نحوه نگاه کردن به سری‌های زمانی است. برای این کار سعی می‌کنیم از نحوه نگاه کردن انسان به سری‌های زمانی ایده بگیریم، برای مثال هنگامی که یک شخص که تحلیل سری زمانی‌هایی همچون نوار قلب را بلد نیست، می‌خواهیم بدانیم چگونه به این سیگنال نگاه می‌کند؛ اما یک پزشک که تحلیل این سری‌های زمانی را فراگرفته او چگونه به این نمودارها نگاه می‌کند. در حالت اول وقتی شخص، آموزش نیافته و نمی‌داند، باید به دنبال چه چیزی بگردد. ممکن است نگاهش را روی سیگنال عقب و جلو کند، بعضی جا را رد کند کمی به عقب‌تر برگردد و مجدد این سری‌های زمانی را بررسی کند. درحالی که یک شخص متخصص و آموزش‌دیده همچون پزشک، با نگاه کردن به صورت مستقیم دقیقاً به دنبال یافتن الگوهایی در نوار قلبی می‌گردد و رویداد را تشخیص می‌دهد. ایده اولیه طراحی مدل پنجره‌بندی که در این پژوهش استفاده شد، از نحوه نگاه کردن به سری‌های زمانی و بررسی دقیق این مسئله برمی‌خیزد.

۳-۳-۱ پیش‌پردازش و پنجره‌بندی سری زمانی

همان‌طور که در مثال فوق دیدیم و همچنین در کارهای پیشین مشاهده کردیم، اکثر مدل‌ها شیوه پنجره‌بندی مستقیمی داشتند، به این معنا که پنجره‌ای که بر روی سری‌های زمانی حرکت می‌دهند را

به صورت مستقیم روی سیگنال حرکت می دادند، در این پژوهش ما شیوه جدیدی از پنجره بندی را ارائه کردیم که در ادامه به تفصیل شرح داده می شود.

وقتی پنجره را روی سیگنال حرکت می دهیم، به دنبال یافتن الگوهایی هستیم که پیش تر نسبت به آن ها آگاهیم، الگوهایی همچون شتابگیری خطرناک، ترمزگیری خطرناک و...، پس باید طول پنجره ها را بر اساس الگوهایی که قصد شناسایی آن را داریم طراحی کنیم. با توجه به جدول ۳-۳ می توانیم مشاهده کنیم که طول میانگین رویدادهای «شتاب گیری خطرناک»، «چرخش به سمت راست خطرناک» و «چرخش به سمت چپ خطرناک» و همچنین، طول میانگین پنجره های «تعویض لاین به سمت چپ خطرناک» و «تعویض لاین به سمت راست خطرناک» بسیار به یکدیگر نزدیک اند. ولی رخداد های «ترمز گیری خطرناک» نسبت به سایرین متفاوت است. پس شاید بتوان رویدادهایی که طول نزدیک تری به یکدیگر دارند را با یک پنجره تشخیص داد؛ اما برای طول پنجره، چون می خواهیم همه ی رویدادها را تشخیص دهیم، باید طول بزرگ ترین رویداد را در نظر گرفت. پس تعداد و طول پنجره ها با استدلال فوق به دست خواهد آمد. در این طراحی سه پنجره با طول های ۲۲۶، برای رویدادهای «شتاب گیری خطرناک»، «چرخش به سمت راست خطرناک» و «چرخش به سمت چپ خطرناک»، ۱۲۶ برای رویدادهای «تعویض لاین به سمت چپ خطرناک» و «تعویض لاین به سمت راست خطرناک» و ۱۸۶ برای رویداد «ترمز گیری خطرناک» آماده شد.^۱ پس تا اینجا سه پنجره تعریف شد که بتوانند رخداد های متفاوت را در خود جای دهند. این نحوه از حرکت دادن پنجره ها مدل ما را از overfit شدن دور کرده و حساسیت آن را نسبت به نقطه شروع سیگنال به حداقل می رساند.

برای پنجره بندی یک متغیر تصادفی گوسی M ، با میانگین x (مثلاً ۰.۱) و واریانس y (مثلاً ۰.۰۲۵) تعریف شد.^۲ که مسبب حرکت پنجره بر روی سری زمانی می شود. به این شکل که مرکز پنجره بر روی point قرار گرفته و میزان هر بار جلو رفتن پنجره توسط *Stepforward* محاسبه می شود. در ابتدا point بر روی $Windowlength/2$ تنظیم شده و تا انتهای سیگنال حرکت می کند.

^۱ با توجه به فرکانس نمونه برداری از سنسور ها که ۵۰ هرتز می باشد، طول زمانی پنجره ها به ترتیب ۴.۵۲ ثانیه، ۲.۵۲ ثانیه و ۳.۷۲ ثانیه در نظر گرفته شد. همچنین دلیل زوج بودن طول پنجره ها به دلیل استفاده از الگوریتم FastDTW است که در مرحله درشت کردن، وضوح سیگنال را نصف می کند.

^۲ در ادامه در بخش بهینه سازی به تفصیل انتخاب x ، y تشریح می شود.

$$Step_{forward} = round(M * Window_{length}) \quad \text{رابطه (۶-۳)}$$

$$point = point + Step_{forward} \quad \text{رابطه (۷-۳)}$$

برای مثال: M می‌تواند مجموعه اعداد $\{0.3, 0.2, 0.1, 0, -0.1\}$ باشد چراکه میانگین اعداد فوق 0.1 و واریانس آن‌ها 0.025 است، حال وسط پنجره به طول 126 در ابتدا در نقطه‌ی 63 قرارداد در ادامه M اعداد مجموعه را می‌گیرد،

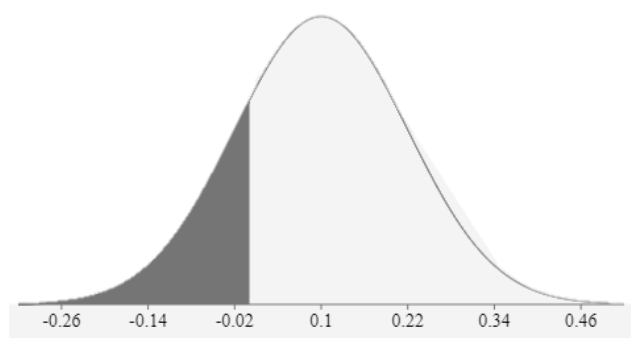
$$point = 63, Step_{forward} = round(0.3 * 126) = 37, point^* = 63 + 37 = 100$$

همان‌طور که بررسی شد، وسط پنجره به نقطه 100 می‌رسد که به معنای جلو رفتن آن است. به همین شکل، هنگامی که M عددی منفی است، پنجره به عقب حرکت می‌کند.

$$point = 100, Step_{forward} = round(-0.1 * 126) = -12, point^* = 100 - 12 = 88$$

به این شکل با روش فوق می‌توانیم حالت‌های متفاوتی از سری زمانی را بررسی کنیم، نکته قابل‌توجه این است که عدد میانگین باید، بین صفر و یک باشد، چراکه در صورتی که از یک بزرگ‌تر باشد، لحظاتی از سری زمانی را هرگز بررسی نمی‌کنیم و همچنین در صورتی که کوچک‌تر از صفر باشد، پنجره به عقب حرکت خواهد کرد و همچنین میانگین هرچه به 1 نزدیک شود تعداد نمونه‌های دیده‌شده کاهش و هرچه به صفر نزدیک شود، تعداد نمونه‌ها افزایش می‌یابد. اهمیت واریانس در میزان جلبه‌جایی و پرش‌های سیگنال است به نحوی که، زیاد باشد میزان پرش به عقب و جلو زیاد شده و ممکن است بخش‌های از سری زمانی دیده نشود و در صورتی که کم باشد میزان حساسیت به نقطه شروع زیاد شده و دقت روی دادگان تست کاهش می‌یابد.

برای مشخص کردن دقیق میزان واریانس، از پارامتر دیگری تحت عنوان «احتمال نگاه به رویدادهای پیشین» استفاده می‌کنیم، به این شکل که اگر عدد تصادفی به دست آمده منفی باشد، بدین معناست که به سمت عقب نگاه خواهیم کرد. برای مثال؛ متغیر تصادفی M را با میانگین 0.1 و انحراف معیار 0.12 در نظر بگیرید؛ همان‌طور که در شکل ۳-۶ توزیع این متغیر تصادفی را مشاهده می‌کنید، مساحت زیر نمودار به ازای اعداد کوچک‌تر از صفر برابر 20 درصد مساحت کل است، به این معنا که احتمال نگاه کردن به عقب 20 درصد می‌شود.



شکل ۳-۶- توزیع نرمال با میانگین ۰.۱ و انحراف معیار ۰.۱۲

پس از پنجره‌بندی فوق، خروجی این فرآیند سه ردیف اطلاعات بخش شده از سری‌های زمانی است که در یک دیکشنری پایتون قرار گرفت. در ادامه این پنجره‌ها را «پنجره‌های موقت» نام‌گذاری می‌کنیم. حالا می‌بایست برچسب هر یک از این پنجره‌ها را از فایلی که اطلاعات و برچسب‌ها در آن واقع شده، بر روی هر پنجره اعمال کرد، برای این کار یک تابع نوشته شد که بررسی کند آیا هر کدام از این پنجره‌ها با رویدادی که برچسب آن‌ها را داریم، تداخل دارند یا خیر. برای مثال:

در ردیف پنجره‌های موقت به طول ۱۸۶، که به دنبال رویداد «ترمزگیری خطرناک» هستیم، ۸۰۰۰ پنجره به طول ۱۸۶ داریم که بدون برچسب هستند و قصد داریم آن‌ها را برچسب بزنیم، با استفاده از تابعی که پیش‌تر ذکر شد، بررسی می‌کنیم که آیا در این پنجره رویداد ترمزگیری شدید وجود دارد یا خیر. در شکل ۳-۷ نمونه‌ای از این پنجره‌ها را مشاهده می‌کنیم.

('freada_agressiva',						('NAG',					
ta	a-x	a-y	a-z	g-x	g-y	ta	a-x	a-y	a-z	g-x	g-y
1970-01-01 00:02:18.175	0.556711	0.511286	0.724074	0.673125	0.414671	1970-01-01 00:02:14.190	0.605290	0.604410	0.633610	0.645668	0.413584
1970-01-01 00:02:18.195	0.497366	0.473231	0.626607	0.683067	0.344634	1970-01-01 00:02:14.210	0.517338	0.560358	0.654610	0.596756	0.416482
1970-01-01 00:02:18.214	0.513601	0.511313	0.608938	0.624408	0.448702	1970-01-01 00:02:14.230	0.468309	0.572697	0.648463	0.560398	0.400410
1970-01-01 00:02:18.234	0.529479	0.571977	0.694869	0.548310	0.484986	1970-01-01 00:02:14.249	0.508778	0.674468	0.570546	0.557059	0.463209
1970-01-01 00:02:18.254	0.542950	0.634868	0.667002	0.612514	0.401522	1970-01-01 00:02:14.269	0.505977	0.635156	0.641031	0.588388	0.499552
...
1970-01-01 00:02:21.729	0.685795	0.834751	0.775077	0.631134	0.418013	1970-01-01 00:02:17.744	0.566541	0.643788	0.700920	0.514526	0.497387
1970-01-01 00:02:21.749	0.584033	0.768531	0.692371	0.625630	0.395291	1970-01-01 00:02:17.765	0.543710	0.644960	0.680711	0.642752	0.393350
1970-01-01 00:02:21.768	0.595469	0.760637	0.685421	0.578333	0.498498	1970-01-01 00:02:17.783	0.505388	0.564308	0.601504	0.744954	0.397718
1970-01-01 00:02:21.788	0.605580	0.688843	0.744868	0.555881	0.509187	1970-01-01 00:02:17.803	0.563372	0.549609	0.523724	0.653590	0.509687
1970-01-01 00:02:21.808	0.645752	0.716176	0.796460	0.609551	0.449418	1970-01-01 00:02:17.822	0.516132	0.514570	0.633607	0.475705	0.546812
...
ta	g-z	ta	g-z
1970-01-01 00:02:18.175	0.460563	1970-01-01 00:02:14.190	0.450158
1970-01-01 00:02:18.195	0.429376	1970-01-01 00:02:14.210	0.391182
1970-01-01 00:02:18.214	0.435434	1970-01-01 00:02:14.230	0.386810
1970-01-01 00:02:18.234	0.390378	1970-01-01 00:02:14.249	0.438607
1970-01-01 00:02:18.254	0.404699	1970-01-01 00:02:14.269	0.480875
...
1970-01-01 00:02:21.729	0.398236	1970-01-01 00:02:17.744	0.410858
1970-01-01 00:02:21.749	0.400530	1970-01-01 00:02:17.765	0.438410
1970-01-01 00:02:21.768	0.475308	1970-01-01 00:02:17.783	0.490488
1970-01-01 00:02:21.788	0.495353	1970-01-01 00:02:17.803	0.466680
1970-01-01 00:02:21.808	0.459763	1970-01-01 00:02:17.822	0.428821
[186 rows x 6 columns])						[186 rows x 6 columns])					

شکل ۳-۷- دو نمونه از پنجره‌هایی به طول ۱۸۶؛ سمت چپ لیبل ترمزگیری شدید سمت راست، رویدادی که ترمزگیری شدید ندارد^۱

^۱ مجموعه دادگان مورد استفاده توسط یک تیم پرتقالی طراحی شده و freada_agressiva به معنی ترمزگیری شدید است

۱-۳-۳ محاسبه ماتریس فاصله

از پایان مرحله قبل دیکشنری‌ای از سه ردیف پنجره‌های موقت داریم که برچسب خورده‌اند که به نوعی اطلاعات خام محسوب می‌شوند. حال با کمک الگوریتم FastDTW و الگوهایی که در جدول ۳-۳ داریم میزان شباهت هر یک از این پنجره‌ها را با آن الگوها محاسبه می‌کنیم تا بردار ویژگی استخراج شود.

برداری ویژگی در حقیقت بردار فاصله یا میزان عدم شباهت هر یک از پنجره‌های موقت با رویدادهایی است که از پیش برچسب آن‌ها را می‌دانیم. لازم به ذکر است که برای انجام این کار از کتابخانه FastDTW [۲۰] در python^۳ استفاده شد. این کتابخانه توانایی محاسبه الگوریتم FastDTW را همان طور که در بخش قبل مرور شد، دارا است. برای نمونه شیوه محاسبه فاصله‌ی دو سری زمانی از یکدیگر را در شکل ۸-۳ مشاهده می‌کنیم:

```
import numpy as np
from fastdtw import fastdtw

x = np.array([[1,1], [2,2], [3,3], [4,4], [5,5]])
y = np.array([[1,2], [2,2], [2,3]])
distance, path = fastdtw(x, y)
print(distance)
```

10.0

شکل ۸-۳-نمونه‌ای از استفاده از تابع fastdtw

حال برای درک بهتر فرایند محاسبه فاصله مثال زیر را بررسی می‌کنیم:

در ردیف پنجره‌های موقت به طول ۱۸۶، که به دنبال رویداد «ترمزگیری خطرناک» هستیم، ۸۰۰۰ پنجره به طول ۱۸۶ داریم، که همگی برچسب دارند؛ بر اساس جدول ۳-۳ می‌دانیم که ۱۲ رخداد ترمزگیری خطرناک با طول‌های متفاوت وجود دارند، به‌طور نمونه پنجره ۶۴۴۰ ام که یک رویداد ترمز خطرناک و رویداد ۱۳۷۴ ام که رویداد خطرناک نیست را با این ۱۲ رخداد که از پیش می‌دانیم حساب می‌کنیم نتیجه محاسبه را می‌توان در شکل ۹-۳ مشاهده نمود. همان‌طور که قابل مشاهده است میزان فاصله‌ها در نمونه ۶۴۶۰ بسیار کمتر است.

Data_DS[186][6460]	Data_DS[186][1374]
('freada_agressiva', [('freada_agressiva', [133.09777110858676, 131.2434963936938, 138.19830255572367, 127.37309238098604, 127.48227584802419, 115.8136528389646, 59.148354294534315, 60.22048065437508, 49.564167770517074, 48.641662555749974, 44.6293323020319, 60.04717345891798]))])	('NAG', [('freada_agressiva', [216.57961965000032, 213.78410126717444, 221.69319816111718, 213.01005092575562, 217.66386619219605, 211.91937563298194, 156.4247810479509, 171.57424316286267, 149.27498962977822, 155.31953863239352, 165.91162402429018, 167.37491754460035]))])

شکل ۳-۹- مقایسه فاصله پنجره‌ای حاوی نمونه ترمزگیری (پنجره ۶۴۶۰) خطرناک از رویدادهای اصلی و پنجره‌ای خالی از نمونه ترمزگیری خطرناک (پنجره ۱۳۷۴) از رویدادهای اصلی

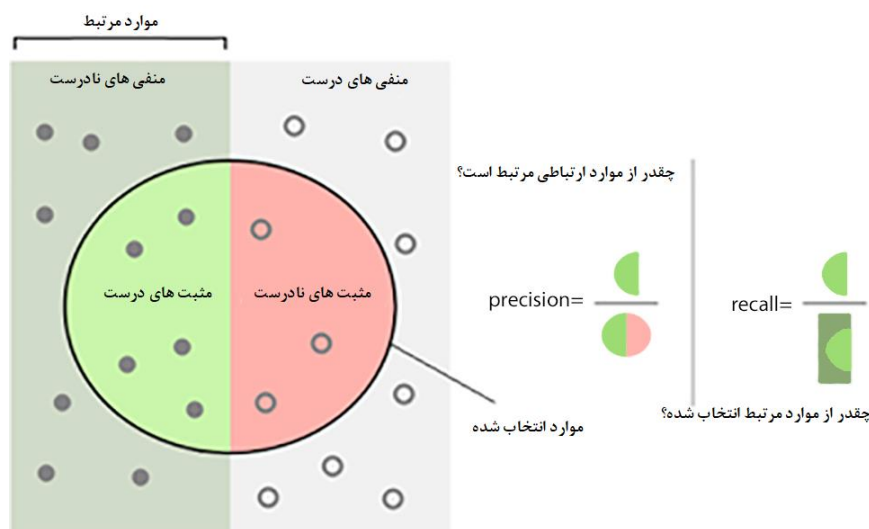
نکته قابل توجه این است که محاسبه این مرحله حتی با به کارگیری الگوریتم FastDTW بسیار زمان‌بر بوده و زمان اجرای این بخش به تعداد نمونه‌های تولیدشده در مرحله پنجره‌بندی (که با متغیر تصادفی M تعیین می‌شوند) نسبت مستقیم دارد. برای مثال در صورتی که متغیر تصادفی M که با میانگین ۰.۵ و احتمال نگاه به رویدادهای پیشین ۲۰ درصد، پنجره‌ها را ایجاد کند، ۳۸۶ دقیقه برای محاسبه این ماتریس فاصله، زمان صرف می‌شود.

۳-۳-۲ پیاده‌سازی مدل یادگیری ماشین

حال وقت آن رسیده که مدلی را انتخاب کرده تا بتواند فرایند برچسب زدن را آموزش ببیند، همچنین در این میان قصد داریم تا مدل ما بتواند، در زمان واقعی و با حداقل تعداد اجرای الگوریتم FastDTW رویداد را تشخیص دهد. از میان روش‌های موجود، تنها الگوریتم‌های درخت تصمیم‌گیری هستند که اجازه می‌دهند مرحله به مرحله بردار ویژگی را حساب کنیم و نیازی به محاسبه‌ی همه‌ی نقاط بردار ویژگی برای یک پنجره‌ی خاص را در یک لحظه ندارند. برای مثال در صورتی که بخواهیم از مدل‌های SVM یا مدل‌های بیزین یا KNN استفاده کنیم می‌بایست فاصله هر پنجره را با تمامی الگوها حساب کنیم. این در حالی است که در به کارگیری مدل‌های درخت تصمیم، این اجازه به ما داده می‌شود که روی درخت به سمت پایین حرکت کرده و با انجام تعداد محدودی الگوریتم FastDTW برای هر سطح از درخت، برچسب پنجره را تشخیص دهیم.

حال در میان مدل‌های درخت تصمیم، از الگوریتم ID^۳ استفاده کردیم که هم از تقسیم‌بندی پارامترهای پیوسته و هم از هرس کردن درخت پشتیبانی می‌کند. چراکه بردار ویژگی که از میزان فاصله پنجره‌ها و الگوهای از پیش دانسته به دست آمد، مقادیری پیوسته هستند و باید با کمک روشی که کاندید گیری نامیده می‌شود، کاندیدی که بیشترین بهره اطلاعات را دارد انتخاب و به عنوان شرط شاخه برگزیده شود. همچنین با کمک به کارگیری هرس کردن درخت که الگوریتم در اختیار ما قرار می‌دهد، این امکان به وجود می‌آید که بتوان شاخه‌هایی از درخت که در صورت حذف کردن آن نتیجه تغییر زیادی نمی‌کند یا نتیجه بهبود می‌یابد را حذف کرده تا نتیجه زودتر حاصل شود و همچنین از overfit شدن جلوگیری کند. برای انجام این کار از کتابخانه decision-tree-id^۳ [۲۱] در python^۳ استفاده شد. معیارهای مهمی برای ارزیابی اطلاعات وجود دارد که جنبه‌های متفاوتی از مدل را ارزیابی می‌کند در پاراگراف بعد پیش از معرفی مدل تعدادی از این معیارها را مرور می‌کنیم:

۱- دقت^۱ - بازیابی^۲؛ دقت به معنای درصدی از پیش‌بینی‌های مدل است که مرتبط هستند (چقدر موارد انتخابی درست انتخاب شده است؟) و بازیابی به معنای درصدی از کل پیش‌بینی‌هایی است که توسط مدل درست طبقه‌بندی شده است (چقدر موارد مرتبط، انتخاب شده؟). در شکل ۳-۱۰ این دو معیار به سادگی قابل مشاهده هستند.



شکل ۳-۱۰- تعریف دقت و بازیابی

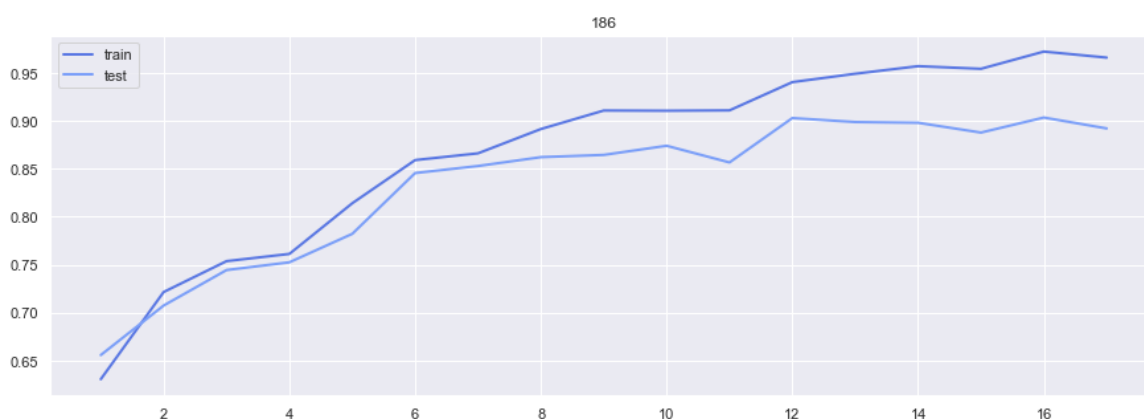
^۱ Precision

^۲ Recall

علاوه به معیارهای فوق که مورد بررسی قرار خواهد گرفت، f_1 -score نیز به عنوان معیاری در رابطه ۳-۸ تعریف می‌شود که مفهومی میانی از هر دو معیار فوق است و می‌تواند معیاری برای دقت کل مجموعه باشد.

$$F_1\text{-score} = \frac{2}{\text{recall}^{-1} + \text{precision}^{-1}} \quad \text{رابطه (۳-۸)}$$

حال به سراغ فرایند آموزش می‌رویم. برای این کار اطلاعات را به دو بخش آموزش و تست، با نسبت ۷۰ به ۳۰ تقسیم‌بندی کرده و فرایند یادگیری را از سر می‌گیریم. ابتدا با دادگان آموزش مدل را آموزش می‌دهیم و با دادگان تست مدل را ارزیابی کرده و برای دقت از معیار F_1 -score استفاده می‌کنیم تا میزان ماکزیمم عمق درخت را به ازای هر کدام از پنجره‌ها بهینه کنیم. برای نمونه در شکل ۳-۱۱ می‌توان مشاهده نمود که مدل برای عمق درخت ۱۲ به دقتی با معیار F_1 -score به صورت ماکرو، عدد ۹۰ درصد برای مجموعه دادگان تست و عدد ۹۴ درصد برای مجموعه دادگان آموزش است. منظور از دقت F_1 -score به صورت ماکرو این است که این عدد میانگین گرفته از دقت F_1 -score برای هریکی از برچسب‌ها است.



شکل ۳-۱۱- نمودار دقت f_1 -score به صورت ماکرو برای دادگان تست و آموزش

به صورت دقیق‌تر اگر بخواهیم بررسی کنیم می‌توانیم، نتایج به ازای عمق درخت ۱۲، برای طبقه‌بندی داده‌های ترمزگیری خطرناک در جدول ۳-۵ را مشاهده کنیم. می‌توان دید که میزان دقت برای یافتن برچسب ترمزگیری خطرناک، میزان ۸۱ درصد بر روی دادگان دادگان تست است.

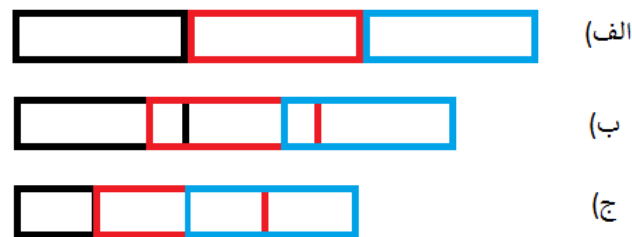
-----window is 186-----				
	precision	recall	f1-score	support
NAG	0.99	1.00	1.00	4823
freada_agressiva	0.91	0.73	0.81	114
accuracy			0.99	4937
macro avg	0.95	0.86	0.90	4937
weighted avg	0.99	0.99	0.99	4937

جدول ۳-۵- میزان دقت ترمز برای دادگان تست و آموزش با پنجره ۱۸۶ که با میانگین ۰.۱ و احتمال بازگشت ۱۰ درصد

۳-۴ استفاده از مدل جهت بهره‌برداری

پیش‌تر با مثال، پزشک و یک شخص عادی در تفسیر سری زمانی و نوار قلب آشنا شدیم. حال پس از آموزش مدل، مدل ما مانند پزشکی شده که توانایی تشخیص رویدادها در نوار قلب را دارد. پس اکنون هنگام بررسی سری زمانی، کافی است پنجره، مانند چشم‌پزشک روی سیگنال حرکت کرده و رویدادها را بر اساس آنچه از پیش آموخته موردبررسی قرار داده و برچسب بزند.

هنگام طراحی و استفاده از مدل، باید پنجره‌ای به طول مشخص روی سیگنال حرکت داده تا رویدادها تشخیص داده شوند. در این بین می‌بایست، پارامتر دیگری تحت عنوان λ به مسئله اضافه نمود تا میزان در هم‌تنیدگی و روی هم افتادگی پنجره‌های رونده روی سیگنال را کنترل کرد. در صورتی که بخواهیم این پارامتر را با مثال پزشک مقایسه کنیم، می‌توانیم این پارامتر را هم‌عرض سرعت حرکت چشم‌پزشک بر روی سری زمانی نوار قلب در نظر بگیریم و سرعت بهینه حرکت چشم‌پزشک روی سیگنال را به دست آوریم، برای این کار پزشک با سرعت‌های متفاوت چشم خود را حرکت داده تا بررسی کند که بهترین سرعت برای تشخیص رویدادها چیست تا از این پس با آن سرعت، مدل را بررسی کند. حالا با این مثال مشخص می‌شود که برای بهینه‌سازی این پارامتر، می‌بایست سیگنال را به ازای λ های متفاوت پنجره‌بندی کنیم و دقت مدل به دست آمده از مرحله قبل را برای پنجره‌بندی‌های جدید حساب کنیم. تا λ بهینه را بیابیم. برای درک بهتر این پارامتر در شکل ۳-۱۲ الف) پارامتر λ برابر ۱، در ب) λ برابر ۰.۷۵ و در ج) λ برابر ۰.۵ است.



شکل ۳-۱۲- پنجره‌های رونده با پارامتر λ متفاوت هنگام بهره‌برداری مدل

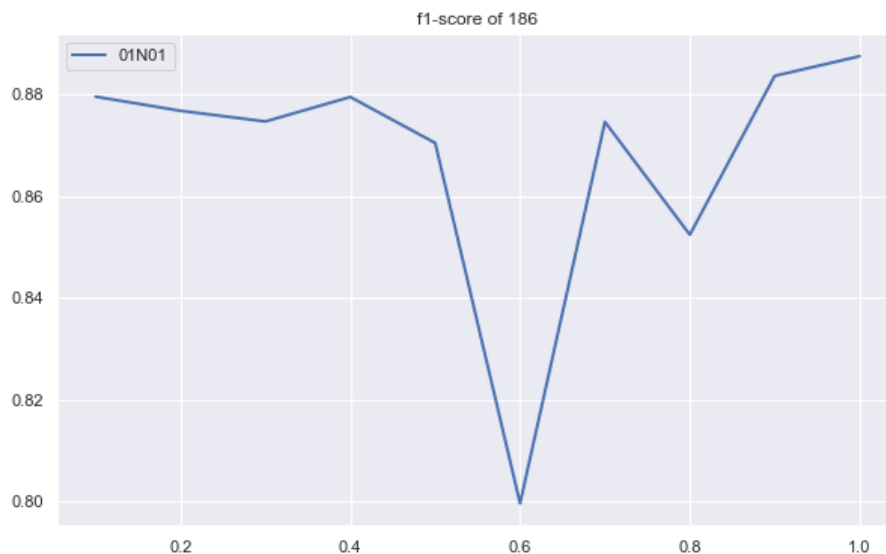
الف) پارامتر λ برابر ۱، در ب) λ برابر ۰.۷۵ و در ج) λ برابر ۰.۵ است.

در بخش قبل مدل را با ۷۰ درصد اطلاعات آموزش دادیم و به میزان عمق درخت بهینه رسیدیم. حال که عمق درخت بهینه را یافته‌ایم و تنها می‌خواهیم میزان پارامتر λ را به دست آوریم. مدل را با ۱۰۰ درصد اطلاعات آموزش می‌دهیم، میزان دقت پنجره‌هایی به طول ۱۸۶ بر روی همه‌ی اطلاعات در جدول ۳-۶ قابل مشاهده است. دقت این مدل برای رویداد ترمزگیری شدید به عدد ۹۰ درصد رسیده است.

جدول ۳-۶ = میزان دقت ترمز برای کل دادگان با پنجره ۱۸۶ که با میانگین ۰.۱ و احتمال بازگشت ۱۰ درصد

-----window is 186-----				
	precision	recall	f1-score	support
NAG	1.00	1.00	1.00	8171
freada_agressiva	0.99	0.83	0.90	209
accuracy			1.00	8380
macro avg	0.99	0.91	0.95	8380
weighted avg	1.00	1.00	1.00	8380

حالا سری زمانی را به شکلی که یاد شد به ازای λ برابر ۰.۱، ۰.۲، ...، ۱ پنجره‌بندی کرده و با مدل آموزش داده‌شده‌ی فوق میزان دقت را برای پنجره‌های جدید محاسبه می‌کنیم. نتایج را می‌توان در شکل ۳-۱۳ مشاهده کرد. بر اساس این نمودار می‌توان گفت که به ازای $\lambda=1$ بیشترین دقت برای داده‌های ترمزگیری خطرناک به دست می‌آید، جزئیات دقت این نقطه را در جدول ۳-۷ مشاهده نمود. همان‌طور که در جدول ۳-۷ قابل مشاهده است، دقت در این نقطه از عدد ۹۰ درصد به عدد ۷۸ درصد کاهش یافته، این عدد دقتی است که در عمل می‌توان از مدل طراحی‌شده توسط ما در فرایند ترمزگیری انتظار داشت. در این میان دو پارامتر دیگر تحت عنوان زمان برای محاسبه و زمان محاسبه قابل مشاهده است که در بخش بعدی بیشتر بررسی خواهد شد.



شکل ۳-۱۳- نمودار دقت f1-score ماکرو برای پنجره به طول ۱۸۶ پس از آموزش کامل دادگان به ازای λ های متفاوت

جدول ۳-۷- بررسی دقیق بهترین نقطه از شکل ۳-۱۳

```
=====
lambda: 1.00 || window: 186 || line: 01N01 || depth of tree: 14
time to calculatoin : 3.72 || calculation time : 0.6283028270998136
=====
```

	precision	recall	f1-score	support
NAG	0.99	1.00	0.99	819
freada_agressiva	0.84	0.73	0.78	22
accuracy			0.99	841
macro avg	0.92	0.86	0.89	841
weighted avg	0.99	0.99	0.99	841

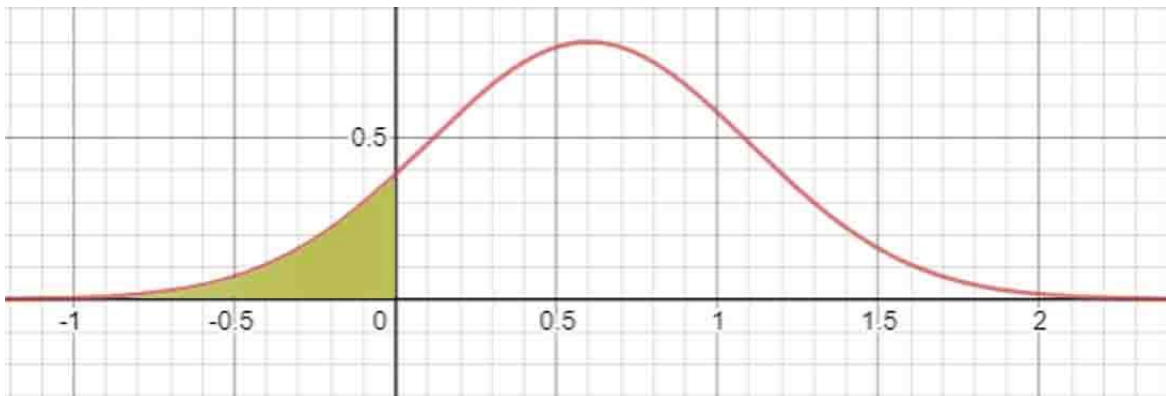
```
=====
```

۳-۵ یافتن بهترین مدل و بررسی زمان اجرا و محدودیت‌ها

در بخش قبل با شیوه کلی آموزش مدل آشنا شدیم در این بین پارامتری به مسئله اضافه شد (متغیر تصادفی M) که تولنایی پنجره‌بندی باحالت‌های مختلفی در اختیار ما قرار می‌داد که می‌توانستیم متناسب با آن مدل‌های متفاوتی با دقت و زمان اجراهایی متفاوت در زمان واقعی طراحی کنیم، در این بخش قصد داریم با تغییر در پارامتر پنجره‌بندی مدل‌هایی ایجاد کرده و با بررسی آن‌ها از میان مدل‌هایی که به لحاظ دقت و زمان پردازش توانایی پیاده‌سازی عملی را دارند، بهترین مدل را انتخاب کنیم.

اولین مسئله‌ای که در بخش قبل بررسی شد، متغیر تصادفی M بود که پیشروی پنجره بر روی سری زمانی را همانند چشم انسان مدل می‌کرد، این کار با استفاده از یک توزیع گوسی با میانگین μ و انحراف معیار σ انجام می‌شد که برای درک بهتر از مسئله، بجای استفاده مستقیم از متغیر انحراف معیار، متغیر دیگری تحت عنوان احتمال نگاه به عقب تعریف شد که میزان احتمال عقب رفتن پنجره را انجام می‌داد، تا با کمک آن میزان σ متغیر تصادفی محاسبه شود. اندازه این احتمال با رابطه ۳-۹ تعریف می‌شود و در شکل ۳-۱۴ می‌توان احتمال این پیش‌آمد را به ازای احتمال نگاه به عقب ۲۰ درصد و میانگین ۰.۶، مشاهده نمود، که برای انحراف معیار عدد ۰.۷۵ را به ما برمی‌گرداند.

$$Prob_{neg}(\mu, \sigma) = \int_{-\infty}^0 \frac{1}{\sigma\sqrt{2\pi}} e^{-\frac{1}{2}\left(\frac{x-\mu}{\sigma}\right)^2} dx \quad \text{رابطه (۳-۹)}$$



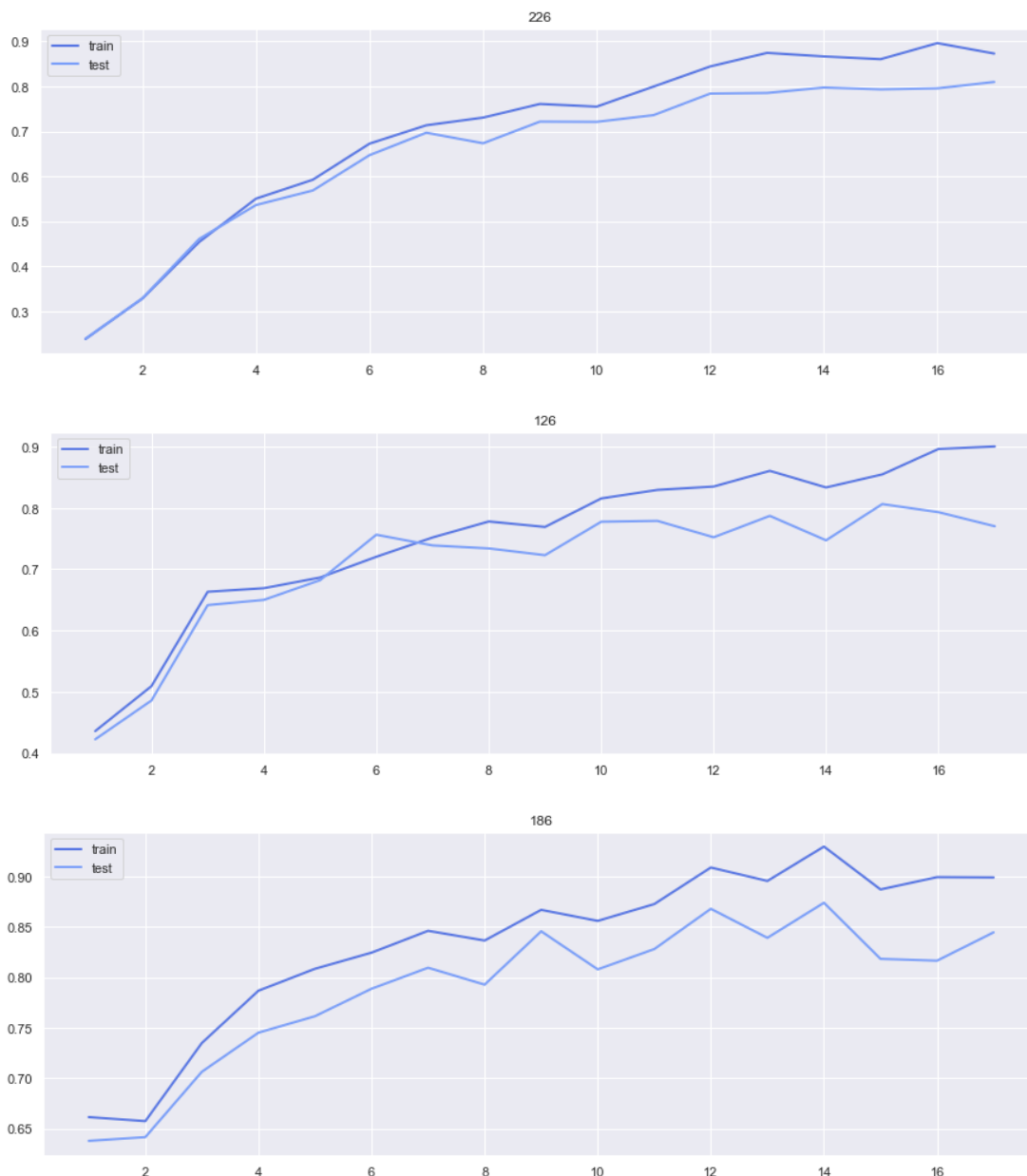
شکل ۳-۱۴- پیش‌آمد احتمال نگاه به عقب ۲۰ درصد، با میانگین ۰.۶ که انحراف معیار ۰.۷۵ را برای توزیع برمی‌گرداند.

پیش‌تر گفتیم، میانگین متغیر تصادفی M باید عددی مثبت و کوچک‌تر از یک باشد تا پنجره روبه‌جلو حرکت کند تا بتواند نمونه‌ها را بررسی کند. همچنین احتمال بازگشت به عقب، باید در محدوده‌ای مشخص باشد، اگر از مقداری بیشتر باشد تعداد دیدن نمونه‌ها زیاد می‌شود و در صورتی که کم باشد میزان حساسیت آن نسبت به نقاط شروع زیاد می‌شود. به‌طور کلی احتمال بازگشت به عقب، به‌نوعی نماینده انحراف معیار است و انحراف معیار از روی آن حساب می‌شود، با این حساب مسئله را در تعداد نقاط محدودی بررسی می‌کنیم تا درک بهتری از مسئله داشته باشیم. برای این کار جدول ۳-۸ تعریف شد که مسئله را به ازای چندین نقطه بررسی می‌کند. برای این کار ابتدا میزان σ متناسب را به ازای $Prob_{neg}$ و μ های متفاوت به دست می‌آوریم.

جدول ۳-۸ - متناسب را به ازای $Prob_{neg}$ و μ های متفاوت

σ		μ			
		۰.۰۵	۰.۱	۰.۱۵	۰.۲
$Prob_{neg}$	٪۱۰	۰.۰۴	۰.۰۸	۰.۱۲	۰.۱۶
	٪۲۰	۰.۰۶	۰.۱۲	۰.۱۸	۰.۲۴
	٪۳۰	۰.۱	۰.۲	۰.۳	۰.۴

حالا متناسب با مقادیر میانگین و انحراف معیار به دست آمده از جدول فوق، فرایند پنجره‌بندی روی سیگنال را برای همه‌ی مدل‌هایی که می‌توان ساخت آماده می‌کنیم، سپس برچسب پنجره‌ها را آماده و اطلاعات را به دو قسمت آموزش و تست تقسیم کرده و مدل درختی خود را با عمق درخت‌های متفاوت آموزش می‌دهیم. برای یافتن بهترین عمق درخت، از میزان دقت بر روی دادگان آموزش و تست استفاده می‌کنیم، می‌دانیم میزان دقت برای روی دادگان آموزش با افزایش عمق درخت افزایش می‌یابد تا جایی که اگر عمق درخت از حدی بیشتر شود، مدل تمامی نمونه‌ها را یاد گرفته و دقت مدل روی دادگان آموزش به عدد صد می‌رسد، این در حالی است که میزان دقت روی دادگان تست کاهش می‌یابد، پس باید به دنبال نقطه‌ای باشیم که میزان آموزش روی دادگان تست بهینه باشد. در این مسئله علاوه بر دقت بر روی دادگان تست چون قصد داریم مدل را به صورت زمان واقعی، پیاده‌سازی کنیم و زمان برچسب زدن برای پنجره‌ها اهمیت دارد، شرط محدودکننده دیگری را در نظر می‌گیریم، با فرض اینکه زمان تجمیع اطلاعات در پنجره‌ها را ۵ ثانیه و زمان اجرای هر بار الگوریتم DTW، ۱۰۰ میلی‌ثانیه در نظر باشد، با در نظر گرفتن این نکته که به طور هم‌زمان باید سه بار فرایند برچسب زدن انجام شود بیشترین میزان عمق درخت عدد ۱۷ می‌خواهد. با مثالی مسئله را بهتر بررسی می‌کنیم؛ مدلی با میانگین ۰.۰۵ و احتمال بازگشت به عقب آن را ۱۰ درصد در نظر بگیرید، در شکل ۳-۱۵ نمودار دقت بر روی دادگان تست و آموزش قابل مشاهده است.



شکل ۳-۱۵- نمودار میزان دقت به ازای عمق درخت‌های متفاوت، برای پنجره‌هایی با طول‌های متفاوت.^۱

همان‌طور که در شکل ۳-۱۵ مشاهده می‌کنید، میزان عمق درخت بهینه برای پنجره‌ها به طول ۲۲۶، عدد ۱۴، پنجره با طول ۱۲۶، عدد ۶ و پنجره با طول ۱۸۶، عدد ۹ در نظر گرفته می‌شود. از بخش قبل به یاد داریم که در پنجره‌ها با طول ۲۲۶ به دنبال یافتن رویدادهای شتابگیری خطرناک، گردش به راست خطرناک، گردش به چپ خطرناک هستیم. در جدول ۳-۹-الف می‌توان میزان دقت برای هر کدام از این رخدادها را

^۱ در بالای هر شکل عدد متناسب به پنجره مربوطه ذکر شده.

مشاهده نمود. به طور مشابه نتیجه مدل را می توان برای پنجره به طول ۱۲۶، برای رویدادهای تعویض لاین به سمت راست خطرناک و تعویض لاین به سمت چپ خطرناک انجام داد که نتیجه آن را می توان در جدول ۳-۹-ب مشاهده کرد. همچنین در پنجره هایی به طول ۱۸۶ می توان به دنبال رویداد ترمزگیری بود؛ که نتایج دقت آن در جدول ۳-۹-ج قابل مشاهده است.

جدول ۳-۹-اطلاعات دقیق میزان دقت نقاط برگزیده شده در شکل ۳-۱۵ برای پنجره ها با طول های ۲۲۶، ۱۸۶، ۱۲۶

-----window is 226-----					
		precision	recall	f1-score	support
الف	NAG	0.97	0.99	0.98	3762
	aceleracao_agressiva	0.76	0.56	0.65	131
	curva_direita_agressiva	0.94	0.73	0.82	104
	curva_esquerda_agressiva	0.88	0.64	0.74	108
	accuracy			0.96	4105
	macro avg	0.89	0.73	0.80	4105
	weighted avg	0.96	0.96	0.96	4105
-----window is 126-----					
		precision	recall	f1-score	support
ب	NAG	0.99	1.00	1.00	7297
	troca_faixa_direita_agressiva	0.84	0.59	0.69	63
	troca_faixa_esquerda_agressiva	0.83	0.65	0.73	46
	accuracy			0.99	7406
	macro avg	0.89	0.75	0.81	7406
	weighted avg	0.99	0.99	0.99	7406
ج					
-----window is 186-----					
		precision	recall	f1-score	support
ج	NAG	0.99	1.00	0.99	4882
	freada_agressiva	0.90	0.65	0.75	137
	accuracy			0.99	5019
	macro avg	0.94	0.82	0.87	5019
	weighted avg	0.99	0.99	0.99	5019

حال با توجه به بررسی فوق که برای یکی از مدل ها انجام گرفت، در جدول ۳-۱۰، می توان میزان دقت مدل بر روی دادگان تست به ازای شیوه های متفاوت پنجره بندی مشاهده کرد. در جدول زیر بهترین مدل هایی که در این بخش می توان بررسی نمود بارنگ قرمز مشخص شد. مقصود از بهترین مدل، مدلی است که بیشترین میزان دقت بر روی دادگان تست را ارائه می کند.

جدول ۳-۱۰- میزان دقت به ازای مدل‌های آموزش داده‌شده، با پارامترهای پنچری بندی جدول ۳-۸، به ازای پنجره‌های متفاوت.

F1-score Macro avg on ۲۲۶		μ			
		۰.۰۵	۰.۱	۰.۱۵	۰.۲
$Prob_{neg}$	%۱۰	۸۰	۷۲	۷۰	۷۰
	%۲۰	۸۳	۷۳	۷۴	۷۴
	%۳۰	۸۴	۸۱	۸۱	۷۷
F1-score Macro avg on ۱۲۶		μ			
		۰.۰۵	۰.۱	۰.۱۵	۰.۲
$Prob_{neg}$	%۱۰	۸۱	۶۷	۷۷	۶۴
	%۲۰	۷۶	۷۰	۶۹	۶۹
	%۳۰	۷۲	۷۴	۷۹	۶۹
F1-score Macro avg on ۱۸۶		μ			
		۰.۰۵	۰.۱	۰.۱۵	۰.۲
$Prob_{neg}$	%۱۰	۸۷	۸۸	۸۲	۸۲
	%۲۰	۸۸	۸۵	۷۷	۸۵
	%۳۰	۹۰	۸۸	۸۵	۸۳

نتیجه‌گیری جامعی که می‌توان از جدول فوق به دست آورد این است که هر چه میزان پیشروی ما روی سیگنال کمتر باشد (با μ کوچک‌تری سیگنال را آموزش دهیم) می‌توانیم مدل بهتری آموزش دهیم؛ و برای تشخیص رویدادهای تغییرلاین اگر نگاه به عقب کمتری داشته باشیم مدل بهتر آموزش می‌بیند ولی برای تشخیص سایر رویدادها اگر نگاه به عقب بیشتری داشته باشیم، می‌توانیم مدل‌هایی با دقت بالاتر آموزش دهیم. در جدول ۳-۱۱ می‌توانیم نتایج برای هر یک از نوع رویدادها را برای بهترین مدل مشاهده کنیم.

جدول ۳-۱۱- اطلاعات دقیق میزان دقت نقاط برگزیده شده در جدول ۳-۱۰

-----window is 226-----					
		precision	recall	f1-score	support
الف	NAG	0.98	0.99	0.98	3736
	aceleracao_agressiva	0.78	0.62	0.69	128
	curva_direita_agressiva	0.91	0.82	0.87	90
	curva_esquerda_agressiva	0.95	0.74	0.83	98
	accuracy			0.97	4052
	macro avg	0.90	0.80	0.84	4052
	weighted avg	0.97	0.97	0.97	4052
-----window is 126-----					
		precision	recall	f1-score	support
ب	NAG	0.99	1.00	1.00	7297
	troca_faixa_direita_agressiva	0.84	0.59	0.69	63
	troca_faixa_esquerda_agressiva	0.83	0.65	0.73	46
	accuracy			0.99	7406
	macro avg	0.89	0.75	0.81	7406
	weighted avg	0.99	0.99	0.99	7406
-----window is 186-----					
		precision	recall	f1-score	support
ج	NAG	0.99	1.00	1.00	4937
	freada_agressiva	0.91	0.73	0.81	114
	accuracy			0.99	4937
	macro avg	0.95	0.86	0.90	4937
	weighted avg	0.99	0.99	0.99	4937

در جدول ۳-۱۱-الف، می‌توان میزان دقت رویدادهای شتابگیری خطرناک و گردش خطرناک به سمت چپ و راست را بررسی کرد که میزان دقت درست تشخیص دادن رویدادهای گردش به چپ خطرناک ۹۵ درصد است که به این معنی که ۹۵ درصد از رویدادهایی که ترمزگیری تشخیص داده شده‌اند، واقعا رویداد ترمزگیری خطرناک بوده‌اند. همچنین میزان دقت بازیابی عدد ۷۴ است، به این معنی که ۷۴ درصد از پنجره‌های ترمزگیری تشخیص داده شده‌اند، به‌طور مشابه میزان دقت برای گردش به راست ۹۱ درصد و میزان بازیابی عدد ۸۴ درصد است. میزان دقت برای رویدادهای شتابگیری ۷۸ درصد و بازیابی آن ۶۲ درصد است. به همین منوال میزان دقت داده‌های تغییرلاین را می‌توانیم در جدول ۳-۱۱-ب مشاهده کنیم که میزان دقت در گردش به چپ خطرناک ۸۳ درصد که میزان بازیابی آن ۶۵ درصد و میزان دقت

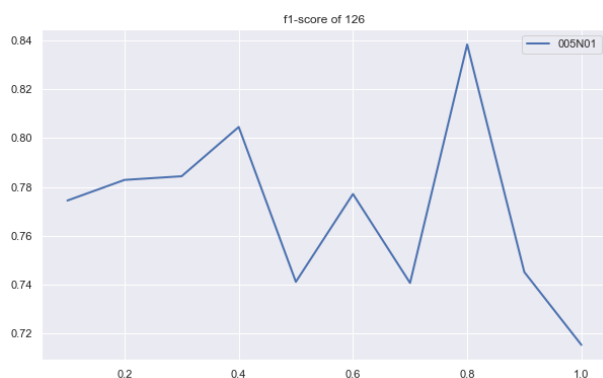
در گردش به راست خطرناک ۸۴ درصد که با بازیابی ۵۹ درصد مدل شده است؛ و در پنجره سوم، رویدادهای ترمزگیری با دقت ۹۱ درصد و بازیابی ۷۳ درصد، شناسایی شدند.

پس از این مرحله از آموزش و یافتن بهترین عمق درخت می‌بایست مدل را با همه‌ی اطلاعات موجود آموزش دهیم تا به یافتن بهترین پارامتر λ برای پیاده‌سازی در زمان واقعی بپردازیم. در جدول ۳-۱۲ می‌توانیم میزان دقت بهترین مدل‌های به دست آمده به ازای پنجره‌های متفاوت، بر روی خود دادگان آموزش مشاهده کنیم، واضح است که میزان دقت باید زیاد باشد، چراکه اطلاعات را روی همان چیزی که آموزش می‌دهیم تست می‌کنیم، هدف از این کار این است که بررسی کنیم به ازای چه میزان λ میزان دقت بیشینه است. تا در عمل هنگام پیاده‌سازی مدل پنجره را با همان سرعت روی نمودار حرکت دهیم.

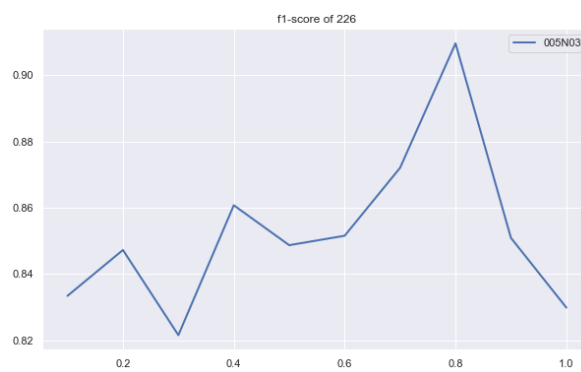
جدول ۳-۱۲- میزان دقت بهترین مدل برای روی دادگان آموزش

-----window is 226-----					
		precision	recall	f1-score	support
الف	NAG	0.98	1.00	0.99	12357
	aceleracao_agressiva	0.95	0.71	0.81	462
	curva_direita_agressiva	0.98	0.94	0.96	333
	curva_esquerda_agressiva	0.96	0.88	0.92	353
	accuracy			0.98	13505
	macro avg	0.97	0.88	0.92	13505
	weighted avg	0.98	0.98	0.98	13505
-----window is 126-----					
		precision	recall	f1-score	support
ب	NAG	0.99	1.00	1.00	7297
	troca_faixa_direita_agressiva	0.84	0.59	0.69	63
	troca_faixa_esquerda_agressiva	0.83	0.65	0.73	46
	accuracy			0.99	7406
	macro avg	0.89	0.75	0.81	7406
	weighted avg	0.99	0.99	0.99	7406
-----window is 186-----					
		precision	recall	f1-score	support
ج	NAG	1.00	1.00	1.00	16057
	freada_agressiva	0.98	0.81	0.89	399
	accuracy			1.00	16456
	macro avg	0.99	0.91	0.94	16456
	weighted avg	1.00	1.00	0.99	16456

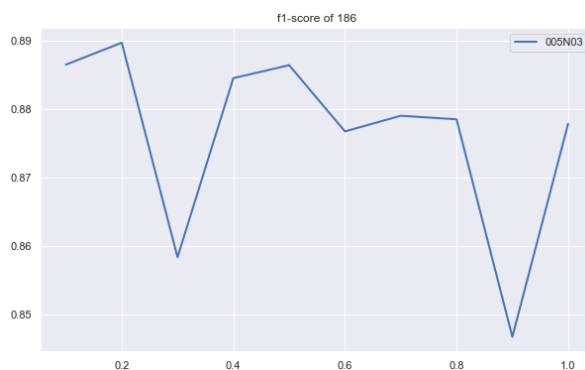
در بخش قبل به طور کامل پارامتر λ تعریف شد، در اینجا تنها به دنبال بررسی بهترین مدل هستیم. در شکل ۳-۱۶-الف برای پنجره‌ای به طول ۲۲۶، به ازای λ برابر ۰.۸، مدلی است که بیشترین دقت را در اختیار ما قرار می‌دهد، همچنین در شکل ۳-۱۶-ب برای پنجره به طول ۱۲۶، به ازای λ برابر ۰.۸ و ۰.۴ دو کاندید برای بهترین میزان دقت در اختیارمان قرار می‌دهد و با بررسی شکل ۳-۱۶-ج برای پنجره به طول ۱۸۶ چهار کاندید به ازای λ های برابر ۰.۱، ۰.۴، ۰.۲ و ۰.۵ داریم. در ادامه با تحلیل زمانی میان این کاندیدها بهترین کاندید برای هر پنجره را انتخاب می‌کنیم. از جدول ۳-۱۲ می‌دانیم، میزان دقت ماکرو f_1 -score، به طور مثال برای پنجره‌هایی با طول ۲۲۶، ۹۲ درصد هنگام پیاده‌سازی در عمل به ازای λ برابر ۰.۸ این عدد به ۹۱ درصد رسید. علت این تفاوت در شیوه نگاه و پنجره‌بندی است، ولی این میزان کاهش اندک نشان از میزان فراگیر بودن مدل است و نشان می‌دهد که نمونه‌ها به صورت مناسبی آموزش دیده‌اند.



ب



الف

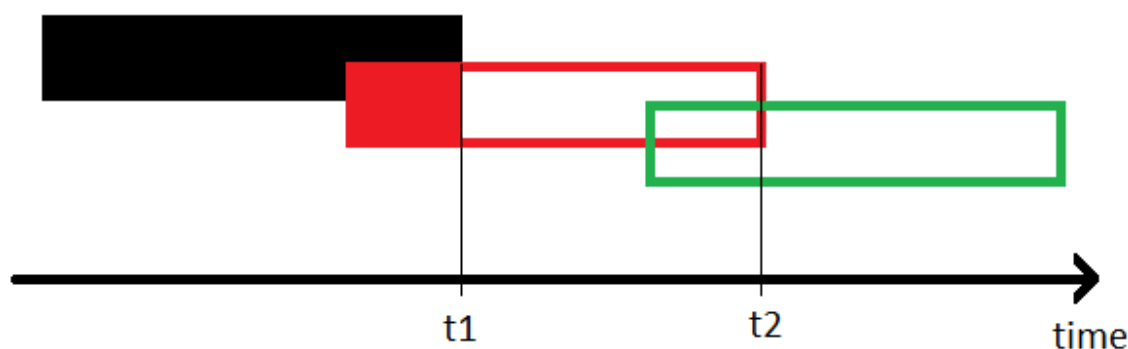


ج

شکل ۳-۱۶-نمودار دقت بهترین مدل‌ها برحسب λ های متفاوت، برای طول های متفاوتی از پنجره

برای بررسی دقیق هر یک از این کاندیدها می‌بایست پردازش در زمان واقعی آن‌ها را بررسی کنیم. می‌دانیم پارامتر λ میزان در هم تنیدگی پنجره‌ها مشخص می‌کند. با دانستن نرخ نمونه‌برداری از اطلاعات، می‌توان زمانی که طول می‌کشد تا پنجره پر شود و سیستم بیکار^۱ را محاسبه نمود. شکل ۳-۱۷ را در نظر بگیرید؛ در این شکل λ برابر ۰.۷۵ در نظر گرفته شده به این معنا است که تنها ۲۵ درصد از پنجره قبلی در پنجره‌های جدید مورداستفاده قرار می‌گیرند؛ بنابراین زمانی که طول می‌کشد تا پنجره پر شود از رابطه ۳-۱۰ محاسبه می‌شود:

$$\Delta t_{\text{زمان انتظار}} = t_2 - t_1 = \frac{\lambda * \text{طول پنجره}}{\text{فرکانس نمونه برداری}} \quad \text{رابطه (۳-۱۰)}$$



شکل ۳-۱۷- فرایند پنجره‌بندی به ازای λ برابر ۰.۷۵

در تحلیل زمان واقعی علاوه بر مسئله فوق، مسئله مهم محاسبه و برچسب زدن، پنجره قبل است. می‌دانیم زمان برترین بخش انجام محاسبه در فرایند برچسب‌گذاری، اجرای الگوریتم DTW است. تعداد مراحل اجرای این الگوریتم، حداقل برابر تعداد عمق درخت است، چراکه در هر مرحله دقیقاً یک‌بار این الگوریتم بین پنجره‌ی موردبررسی و نمونه‌هایی که درخت ذخیره شده، اجرا می‌شود. برای این کار باید میزان زمان اجرای این الگوریتم را به ازای طول پنجره‌های متفاوت انجام دهیم و میانگین زمان اجرای آن را روی سخت‌افزار موجود به دست آوریم. این تست روی cpu intel core i5 Gen8 انجام شد که نتایج جدول ۳-۱۳ را به همراه داشت. مشاهده می‌شود که میزان زمان پردازش بر روی هر یک از این سخت‌افزارها زیر ۱۰۰ میلی‌ثانیه است.

^۱ idle

جدول ۳-۱۳- زمان پردازش پنجره ها به ازای اجرای الگوریتم DTW

	پنجره به طول ۱۲۶	پنجره به طول ۱۸۶	پنجره به طول ۲۲۶
CPU	۰/۰۳۴۰۲۶۴۷۱۹۰۰۹۷۸	۰/۰۴۴۸۷۸۷۷۳۳۶۴۲۷۲	۰/۰۵۷۵۱۳۹۷۰۷۸۲۶۶۰

حال متناسب با عمق درخت بکار گرفته شده و میانگین زمان اجرای هر بار الگوریتم DTW می توان فرایند برچسب زدن مدل های آموزش یافته را در زمان واقعی ارزیابی کرد، برای این کار، زمان محاسبه نتیجه را برای کاندیدهایی که از بخش قبل به دست آمد بر اساس عمق درختی که مدل آن ها آموزش دیده تخمین می زنیم؛ برای مثال اگر عمق درخت مدلی که در پنجره ای به طول ۲۲۶ به دنبال رویداد چرخش به چپ خطرناک است ۱۰ باشد، زمان اجرای آن تقریباً ۵۷۰ میلی ثانیه در نظر گرفته می شود.

حال با توجه به توضیحات فوق و رابطه ۳-۱۰، مثال فوق را می توان از نظر پیاده سازی عملی بررسی کرد؛ اگر مدل با طول پنجره ۲۲۶، λ برابر ۰.۱ داشته باشد و فاصله زمانی بین هر نمونه ۰.۰۲ ثانیه باشد، بدین معناست که ما ۴۵۲ میلی ثانیه وقت برای پر شدن پنجره و محاسبه برچسب پنجره قبلی داریم، این درحالی که است که فرایند برچسب زدن بر روی این پنجره ۵۷۰ میلی ثانیه زمان می برد، پس از این مدل نمی توان در عمل استفاده نمود. علاوه بر این میزان زمان باید به گونه ای باشد که تمام اسلات های زمانی پر نشود، چراکه به صورت موازی دو پردازش دیگر در حال انجام است.

حال با در نظر گرفتن امکان پیاده سازی عملی کاندیدهایی که در بخش قبل معرفی کردیم را بررسی می کنیم تا بهترین مدل که امکان پیاده سازی عملی دارد را بیابیم. برای این کار ابتدا تعدادی از مدل ها را محدود کرده تا بتوانیم مدل های موجود را آنالیز کرده و در کنار یکدیگر قرار دهیم.

با پنجره به طول ۲۲۶ شروع می کنیم، میدانیم برای این پنجره به دلیل دقت بالا تنها یک کلنید با λ برابر ۰.۸ داریم که در جدول ۳-۱۴ می توان جزئیات آن را مشاهده کرد. میزان زمانی که طول می کشد تا لیبل مشخص شود ۸۶۲ میلی ثانیه است و ۳.۶۸۰ ثانیه زمان داریم تا اطلاعات در این پنجره تجمع شوند. قابل درک است که هیچ محدودیتی وجود ندارد و به سادگی می توان از این مدل برای استفاده در زمان واقعی استفاده کرد چراکه تنها ۲۳ درصد از زمان مشغولیت هسته مرکزی را استفاده می کند که چون این عدد از ۳۳ درصد (سهم زمانی پردازش برای این رشته از محاسبات) کمتر است، تداخلی برای سایر رشته محاسباتی ایجاد نخواهد کرد.

جدول ۳-۱۴- نتایج بهترین مدل برای پنجره‌هایی به طول ۲۲۶

```

=====
lambda: 0.80 || window: 226 || line: 005N03 || depth of tree: 15
time to calculation : 3.62 || calculation time : 0.8627095617399083
=====

```

	precision	recall	f1-score	support
NAG	0.99	0.99	0.99	798
aceleracao_agressiva	0.95	0.73	0.83	26
curva_direita_agressiva	0.95	0.91	0.93	23
curva_esquerda_agressiva	0.91	0.87	0.89	23
accuracy			0.98	870
macro avg	0.95	0.88	0.91	870
weighted avg	0.98	0.98	0.98	870

```

=====

```

به سراغ پنجره‌هایی به طول ۱۲۶ می‌رویم؛ می‌دانیم در این پنجره به دنبال یافتن تغییر لاین خطرناک هستیم، کاندیدیهایی که در این پنجره‌بندی داریم λ هایی برابر ۰.۴ و ۰.۸ دارند، نتایج این مدل به ازای پارامترهای فوق را می‌توان در جدول ۳-۱۵ بررسی کرد، با توجه به این نتایج می‌توان به این نکته دقت کرد که زمان بیشینه برای محاسبه برچسب پنجره‌ها، ۵۱۰ میلی‌ثانیه است و زمان برای محاسبه‌ی برچسب‌ها با توجه به λ های ذکر شده به ترتیب ۱۰۱۰ و ۲۰۲۰ است. با توجه به اعداد فوق میدانیم که هر دو مدل قابلیت پیاده‌سازی به صورت تک‌رشته‌ای را دارند ولی مدل اول در مجموعه پردازش‌های خود ۵۰ درصد از مواقع هسته مرکزی را در اختیار قرار می‌گیرد، این درحالی که است که به ازای λ برابر ۰.۸، تنها ۲۵ درصد از مواقع هسته مرکزی را به پردازش مشغول می‌کند و همچنین این مدل، مدلی است که دقت بهتری دارد، پس آن را به عنوان بهترین مدل برای پنجره‌هایی به طول ۱۲۶ انتخاب می‌کنیم.

بعد از بررسی دو مدل فوق، به سراغ پنجره‌هایی به طول ۱۸۶ می‌رویم. در این پنجره تنها به دنبال یافتن ترمزگیری خطرناک هستیم، کاندیدیهایی که در این پنجره‌بندی داریم λ های برابر ۰.۱، ۰.۴، ۰.۲ و ۰.۵ دارند، با بررسی این مدل در جدول ۳-۱۶ و با توجه به این که مدل، عمق درختی برابر ۱۲ دارد. بیشینه زمان برچسب زدن پنجره‌ها ۵۳۸ میلی‌ثانیه است. و زمان محاسبه‌ی برچسب‌ها با توجه به λ های ذکر شده به ترتیب، ۳۷۰، ۷۴۰، ۱۴۹۰ و ۱۸۶۰ میلی‌ثانیه است. با توجه به اعداد فوق میدانیم که مدل اول حتی قابلیت پیاده‌سازی به صورت تک‌رشته‌ای را ندارد و در صورت استفاده از مدل دوم، ۷۰ درصد از هسته مرکزی را مشغول می‌کنیم که فرایند برچسب زدن سایر پردازش‌ها را دچار اختلال می‌کند ولی پنجره‌بندی با λ های ۰.۴ و ۰.۵ به ترتیب ۳۶ درصد و ۲۸ درصد از هسته مرکزی را درگیر می‌کنند که

اعدادی قابل قبول است. حال برای انتخاب میان این دو مدل، به بررسی دقت آن‌ها می‌پردازیم. مدل با پنجره‌بندی متفاوت برای دادگان ترزگیری به ترتیب دقت F^1 -score، ۸۸ درصد و ۸۹ درصد را دارند، پس مدل با λ برابر ۰.۵ را انتخاب می‌کنیم که هم دقت بیشتر و هم‌زمان برای پردازش بیشتری در اختیار ما قرار می‌دهد.

جدول ۳-۱۵- نتایج بهترین کاندیدها برای پنجره‌هایی به طول ۱۲۶

=====				
lambda: 0.40 window: 126 line: 005N01 depth of tree: 15				
time to calculation : 1.01 calculation time : 0.5103970785146787				

	precision	recall	f1-score	support
NAG	1.00	1.00	1.00	3086
troca_faixa_direita_agressiva	0.83	0.62	0.71	24
troca_faixa_esquerda_agressiva	0.68	0.72	0.70	18

accuracy			0.99	3128
macro avg	0.84	0.78	0.80	3128
weighted avg	0.99	0.99	0.99	3128
=====				
=====				
lambda: 0.80 window: 126 line: 005N01 depth of tree: 15				
time to calculation : 2.02 calculation time : 0.5103970785146787				

	precision	recall	f1-score	support
NAG	1.00	1.00	1.00	1545
troca_faixa_direita_agressiva	0.90	0.75	0.82	12
troca_faixa_esquerda_agressiva	0.58	0.88	0.70	8

accuracy			0.99	1565
macro avg	0.83	0.87	0.84	1565
weighted avg	0.99	0.99	0.99	1565
=====				

۳-۶ جمع‌بندی

برای جمع‌بندی باید به این نکته اشاره کرد که با کمک مدل آموزشی که در بخش قبل بررسی کردیم، یک مدل برای هر پنجره انتخاب شد که در هر پنجره به دنبال یافتن رویدادهایی خاص هستیم که جزئیات نتایج آن به شرح زیر است:

در پنجره به طول ۲۲۶، میزان دقت F^1 -score برای رویداد شتاب‌گیری خطرناک، به عدد ۸۳ درصد، برای رویداد گردش به‌راست خطرناک ۹۳ درصد و برای رویداد گردش به‌چپ خطرناک عدد ۸۹ درصد می‌رسیم که محاسبه این کار هر ۳.۸۶ ثانیه و به مدت ۸۶۲ میلی‌ثانیه زمان می‌برد. در پنجره به طول ۱۲۶، میزان دقت F^1 -score برای رویداد تعویض لاین به سمت راست خطرناک، به دقت ۸۲ درصد، برای

رویداد گردش به چپ خطرناک ۷۰ درصد می‌رسیم که محاسبه این کار هر ۲۰۲ ثانیه و به مدت ۵۱۰ میلی‌ثانیه زمان می‌برد. در پنجره به طول ۱۸۶، میزان دقت F1-score برای رویداد ترمزگیری خطرناک، به دقت ۷۸ درصد می‌رسیم که محاسبه این کار هر ۱۸۶ ثانیه و به مدت ۵۳۸ میلی‌ثانیه زمان می‌برد. حال می‌توانیم مدل‌های طراحی شده فوق را برای به کارگیری در عمل مورد استفاده قرار دهیم.

جدول ۳-۱۶- نتایج بهترین کاندیدها برای پنجره‌هایی به طول ۱۸۶

=====				
lambda: 0.10 window: 186 line: 005N03 depth of tree: 12				
time to calculation : 0.37 calculation time : 0.5385452803712687				

	precision	recall	f1-score	support
NAG	0.99	1.00	1.00	8475
freada_agressiva	0.89	0.69	0.78	202
accuracy			0.99	8677
macro avg	0.94	0.85	0.89	8677
weighted avg	0.99	0.99	0.99	8677
=====				
lambda: 0.20 window: 186 line: 005N03 depth of tree: 12				
time to calculation : 0.74 calculation time : 0.5385452803712687				

	precision	recall	f1-score	support
NAG	0.99	1.00	1.00	4124
freada_agressiva	0.88	0.70	0.78	98
accuracy			0.99	4222
macro avg	0.94	0.85	0.89	4222
weighted avg	0.99	0.99	0.99	4222
=====				
lambda: 0.40 window: 186 line: 005N03 depth of tree: 12				
time to calculation : 1.49 calculation time : 0.5385452803712687				

	precision	recall	f1-score	support
NAG	0.99	1.00	0.99	2063
freada_agressiva	0.84	0.72	0.77	50
accuracy			0.99	2113
macro avg	0.92	0.86	0.88	2113
weighted avg	0.99	0.99	0.99	2113
=====				
lambda: 0.50 window: 186 line: 005N03 depth of tree: 12				
time to calculation : 1.86 calculation time : 0.5385452803712687				

	precision	recall	f1-score	support
NAG	0.99	1.00	1.00	1641
freada_agressiva	0.88	0.70	0.78	40
accuracy			0.99	1681
macro avg	0.93	0.85	0.89	1681
weighted avg	0.99	0.99	0.99	1681
=====				

الف

ب

ج

د

۴ فصل چهارم

پیاده سازی سیستم دریافت و ذخیره سازی اطلاعات

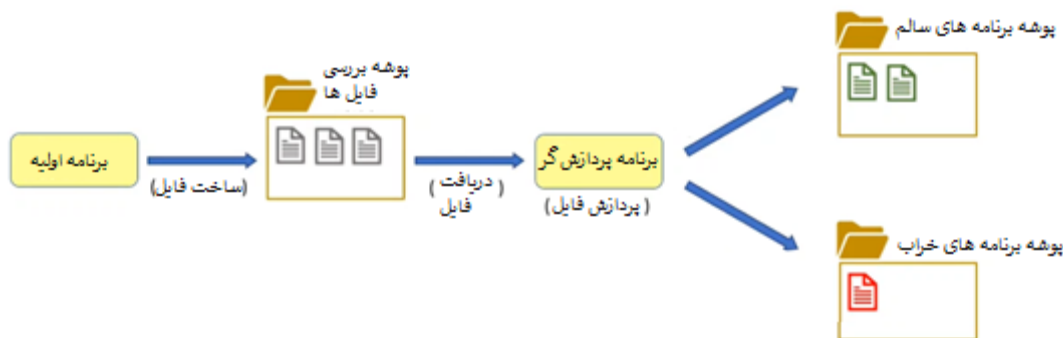
پیاده سازی سیستم دریافت و ذخیره سازی اطلاعات

در این بخش به پیاده سازی بستری برای دریافت اطلاعات می پردازیم و سعی می کنیم با ابزارهای یکپارچه سازی بتوانیم، شرایطی برای دریافت و ذخیره سازی اطلاعات فراهم کنیم. در ابتدا مفهوم یکپارچه سازی و سپس تعدادی از نرم افزارهای مورد استفاده را بررسی کرده و در ادامه نحوه استفاده و ارتباط آن ها با یکدیگر شرح داده می شود.

۴-۱ مفهوم یکپارچه سازی

یک سیستم کامل، از چند برنامه تشکیل شده که وظایف متفاوتی را انجام می دهند، در اغلب مواقع این برنامه ها نیاز دارند با یکدیگر تعامل داشته باشند و باهم ارتباط برقرار کنند. به ایجاد کردن ارتباط میان برنامه های متفاوت یکپارچه سازی^۱ می گویند. شیوه های متفاوتی از یکپارچه سازی وجود دارد.

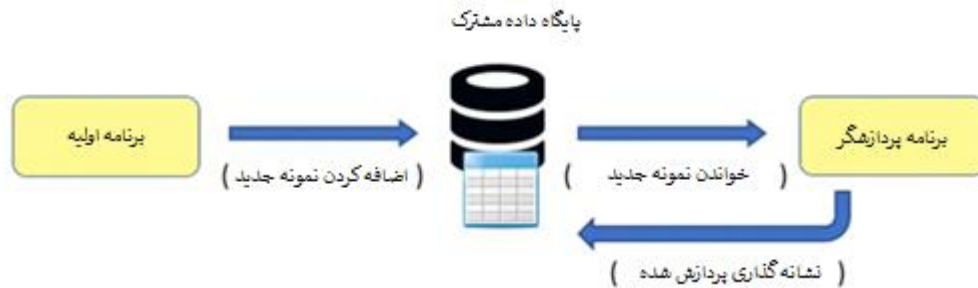
مدل اول یکپارچه سازی مبتنی بر فایل است. در این مدل، برنامه اولیه فایلی که باید پردازش شود را ایجاد می کند و در پوشه ای مشخص قرار می دهد، سپس برنامه ای دیگر فایل هایی که در این پوشه قرار گرفته اند را بررسی می کند. برای مثال برنامه دوم و فایل های خراب را از سالم جدا کرده و در پوشه هایی متفاوت قرار می دهد. قابل مشاهده است که این دو برنامه می توانند مستقل از هم کار کنند و حتی می توانند با زبان های برنامه نویسی متفاوتی ایجاد شده باشند. در شکل ۴-۱ می توان مثال فوق را مشاهده کرد.



شکل ۴-۱- مثالی از یکپارچه سازی مبتنی بر فایل

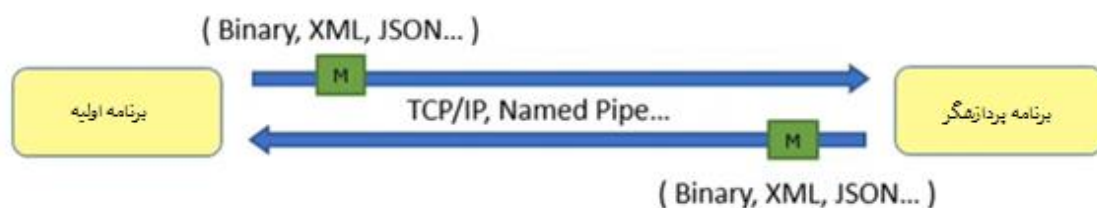
^۱ integration

مدل دوم یکپارچه سازی‌هایی مبتنی بر پایگاه داده مشترک یا توزیع شده است. در این مدل ابتدا یکی از برنامه‌ها اطلاعاتی را در پایگاه داده تغییر می‌دهد. سپس برنامه دیگری آن را برداشته و پردازش می‌کند و مجدداً به پایگاه داده برمی‌گرداند و به آن برچسب پردازش شده می‌زند. به‌طور مشابه، این دو برنامه می‌توانند مستقل از یکدیگر فعالیت کنند. در شکل ۲-۴ می‌توان مدل فوق را بررسی نمود.



شکل ۲-۴- مثالی از یکپارچه سازی مبتنی بر پایگاه داده

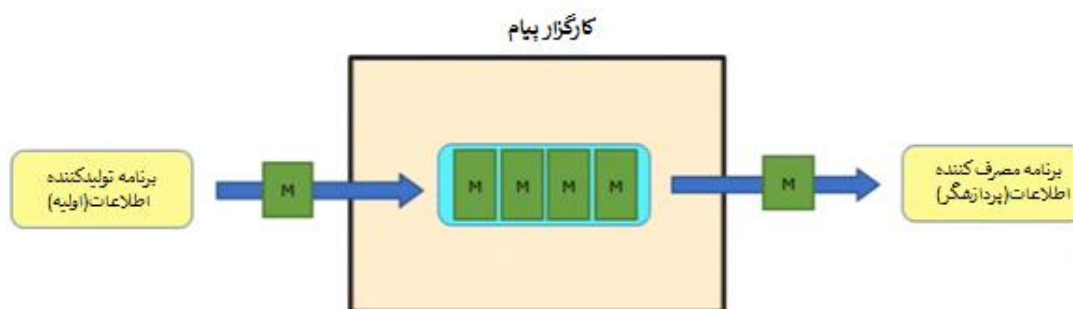
مدل سوم یکپارچه سازی‌هایی مبتنی بر ارتباط مستقیم است، به نحوی که برنامه‌ها به صورت مستقیم با یکدیگر ارتباط tcp/ip برقرار کرده و بعد از برقراری ارتباط شروع به ارسال پیام به یکدیگر می‌کنند. فرمت پیام‌ها می‌تواند به گونه‌های متفاوتی از جمله باینری یا مبتنی بر نوشته مانند xml, json, ... باشد. در شکل ۳-۴ می‌توان نمونه‌ای از این ارتباط را مشاهده کرد.



شکل ۳-۴- نمونه از یکپارچه سازی بر اساس ارتباط مستقیم میان برنامه‌ها

مدل چهارم یکپارچه سازی بر پایه پیام دادن نامتقارن با کمک یک کارگزار پیام^۱ است. برنامه اولیه یا تولیدکننده اطلاعات در یک سو با هر فرمتی که بخواهد می‌تواند، پیام ارسال کند ولی این باریک برنامه میانی پیام‌ها را دریافت می‌کند (که اغلب به آن message broker یا message bus می‌گویند) پیام‌ها را در یک لیست قرار داده که به آن Queue یا صف می‌گویند و آن‌ها را به هدف، مقصد یا مصرف کننده منتقل می‌کند. در شکل ۴-۴ می‌توان نمونه‌ای از این شیوه انتقال اطلاعات را مشاهده کرد. این روش، یک روش محبوب است که در سیستم‌های متفاوتی می‌تواند مورد استفاده قرار بگیرد.

^۱ Message Broker



شکل ۴-۴- نمونه‌ای از یکپارچه‌سازی با کمک یک کارگزار پیام

این شیوه از یکپارچه‌سازی مزایای بسیاری دارد که به شرح زیر است:

- جدا بودن برنامه تولیدکننده از برنامه مصرف کننده:
 - برنامه تولیدکننده اطلاعات و برنامه مصرف کننده نیازی ندارد یکدیگر را بشناسند.
 - آدرس و تکنولوژی‌های مورد استفاده یکدیگر را نمی‌دانند.
 - تنها چیزی که نیاز است نسبت به هم آگاه باشند، فرمت اطلاعات ارسالی و دریافتی است.
 - ایجاد محیطی مطمئن، قابل اعتماد برای انجام پردازش‌ها و ارتباط میان برنامه‌ها:
 - برنامه‌های تولیدکننده اطلاعات می‌توانند به ارسال اطلاعات بپردازد، درحالی که هیچ برنامه‌ای در طرف دیگر، اطلاعات را مورد استفاده قرار نمی‌دهد، به این معنا که اطلاعات در برنامه میانی به صورت موقت ذخیره می‌شوند و در ادامه هرگاه که برنامه مصرف کننده اطلاعات، فعالیت خود را آغاز کرد، می‌تواند از اطلاعات استفاده نماید.
 - در صورتی که برنامه مصرف کننده در پردازش شکست بخورد، می‌تواند درخواست ارسال مجدد داشته باشد.
 - فراهم کردن راهی برای پیاده‌سازی معماری‌هایی افقی در تعداد بالا
 - اگر برنامه مصرف کننده اطلاعات به تنهایی نتواند همه پیام‌ها را پردازش کند، می‌توان چندین مصرف کننده اطلاعات را در کنار هم قرارداد تا فرایند سریع‌تر انجام شود.
- این شیوه بسیار پربازده‌تر از مدل‌های یکپارچه‌سازی مبتنی بر پایگاه داده، است.

۴-۲ مروری بر داکر

به طور کلی داکر^۱ یک سکو برای توسعه، انتقال و اجرای برنامه‌ها است. با کمک داکر می‌توانیم نرم‌افزارها را مستقل از زیرساخت به سرعت پیاده‌سازی کنیم. همچنین با کمک این نرم‌افزار می‌توان زیرساخت و سخت‌افزار مورد استفاده در پروژه‌ها را مدیریت کرد و فاصله زمانی میان پیاده‌سازی و رسیدن به مرحله محصول نهایی را به حداقل رساند.

داکر توانایی بسته‌بندی و اجرای برنامه‌های ما را در محیط ایزوله‌ای به نام کانتینر^۲ فراهم می‌کند. این ایزوله شدن شرایطی ایجاد می‌کند که کانتینرها را بتوان به صورت هم‌زمان روی کامپیوتر میزبان اجرا کرد. این کانتینرها در مقابل ماشین‌های مجازی بسیار سبک هستند و می‌توانند بدون نظارت بر روی کامپیوتر میزبان اجرا شوند. به طور کلی داکر ابزار و سکویی برای مدیریت کردن این کانتینرها است تا توسعه سریع و ساده‌تر شود و بتوان پردازش قابل توسعه‌ای، روی خوشه‌ای از کامپیوترها اجرا کرد. همچنین هنگامی که برنامه کامل شد و به مرحله محصول نهایی رسید، بدون در نظر گرفتن نوع زیرساخت، قابل انتقال به محیط‌های دیگر (مرکز داده‌ها، شرکت‌های خدمات دهنده ابری،...) باشد.

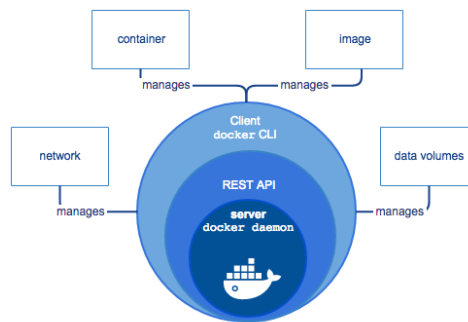
به طور کلی هسته اصلی داکر از سه بخش تشکیل شده که در شکل ۴-۵ قابل مشاهده است، بخش اول یک سرویس دهنده است که مدیریت اشیا ساخته شده توسط داکر را بر عهده دارد، اشیائی همچون فایل ایمج (فشرده شده کانتینرها)، کانتینرها، شبکه‌ها و فضاهایی که تخصیص داده می‌شوند. این برنامه فرایند محاسباتی^۳ نام‌گذاری می‌شود. بخش دوم یک برنامه رابط است (REST API) که دستوراتی که ما می‌دهیم را به فرایند محاسباتی منتقل می‌کند. بخش سوم یک رابط و خط دستور (CLI)^۴ است که فرمان‌های ما در آن وارد می‌شود. خط دستور از یک REST API استفاده می‌کند تا وظیفه کنترل و ارتباط با فرایند محاسباتی را یا با استفاده از فرمان‌هایی از پیش نوشته شده یا به صورت وارد کردن در خط دستور انجام دهد.

^۱ Docker

^۲ container

^۳ Daemon process

^۴ Command line



شکل ۴-۵- موتور و هسته داکر که روند فرایند مدیریت برنامه را مشخص می کند. [۲۲]

به سه دلیل اصلی در این پروژه برای پیاده سازی فرایند دریافت و ذخیره سازی اطلاعات از داکر استفاده شد که به شرح زیر است:

پیشرفت و توسعه مداوم برنامه ها؛

داکر با کار در محیط های استاندارد و با استفاده از کانتینر های محلی این اجازه را به توسعه دهندگان برای پیاده سازی برنامه های پیچیده می دهد و چرخه عمر توسعه را ساده می کند. چراکه بخش های مختلف برنامه می توانند مستقل از هم با نسخه ها و حتی زبان های برنامه نویسی متفاوت پیاده سازی و اجرا شوند. به این عمل فرایند یکپارچه سازی پیوسته^۱ / تحویل پیوسته^۲ می گویند.

بستر مبتنی بر کانتینر های داکر، ایجاد برنامه هایی قابل حمل^۳ را امکان پذیر می کند. کانتینر های داکر می توانند بر روی کامپیوتر محلی توسعه دهنده، در ماشین های فیزیکی یا مجازی در یک مرکز داده، بر روی ارائه دهندگان خدمات ابری یا در مخلوطی از این محیط ها اجرا شوند که کمک می کند برنامه به سادگی روی کامپیوتر توسعه دهنده آماده و سپس برای پیاده سازی عملی به سرورهایی با قدرت و پاسخ گویی بیشتر منتقل شود.

کانتینر های داکر سبک و سریع هستند چراکه تنها برنامه هایی که مورد نیاز است را در خود جای داده اند. این یک جایگزین مناسب و مقرون به صرفه به جای ماشین های مجازی است که نیازمند پیش نیازهای

^۱ CI(continuous integration)

^۲ CD(continuous delivery)

^۳ Portable

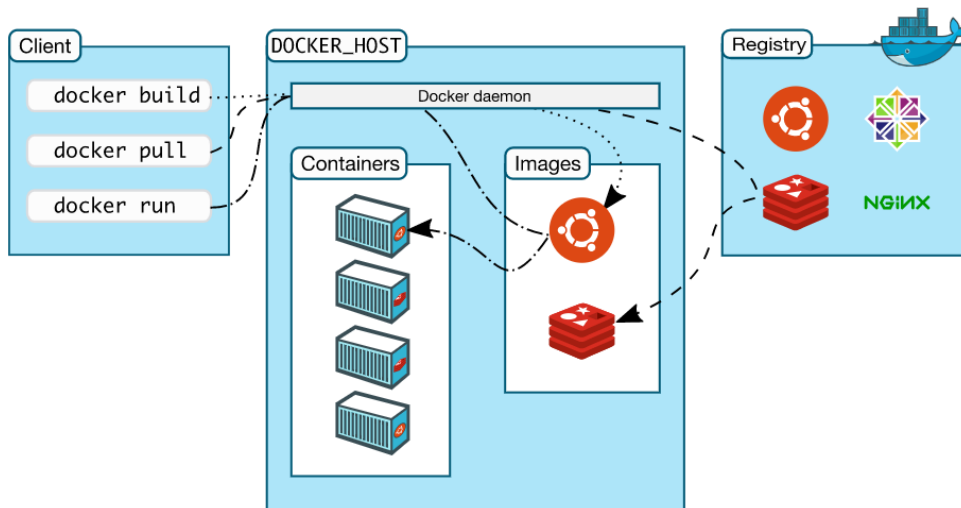
بیشتری برای پیاده سازی محیط های ایزوله هستند؛ بنابراین می توان از ظرفیت محاسبه بیشتری برای رسیدن به اهداف خود استفاده کرد. داکر برای برنامه هایی با چگالی بالا (بخش های متفاوت) و عملکردهای کوچک و متوسط که نیاز به انجام کارهای بیشتر با منابع کمتری دارند، بسیار مناسب است.

داکر از یک معماری کاربر-سرویس دهنده ای استفاده می کند. به این شکل که کاربر داکر، با فرایند محاسباتی در ارتباط است که وظیفه ساخت و اجرا و توزیع کانتینرها را بر عهده دارد. کاربر داکر و فرایند اصلی می توانند در یک کامپیوتر باشند یا می توانند از طریق REST API یا رابط های شبکه با یکدیگر در ارتباط باشند. به طور کلی برنامه ها در محیطی به نام کانتینر اجرا می شوند که نمونه ای قابل اجرا از فایلی به نام ایمج است. برای ساخت فایل ایمج یا باید خودمان آن فایل را از ابتدا ایجاد کنیم، یا از ایمج های استاندارد که در بخش رجیستری داکر (داکرهاب) قرار گرفته استفاده کنیم. عموماً برای سبک بودن محیط اجرای کار حتی در صورتی که بخواهیم فایل ایمجی را خودمان طراحی کنیم از یک ایمج مبتنی بر لینوکس ساده شروع کرده و هر چیزی که به آن نیاز داریم را به آن اضافه می کنیم، ولی در اکثر مواقع برنامه های مورد نیاز در داکرهاب وجود دارند که می توان از آن بهره برد.

برای مثال در شکل ۴-۶ با دستور اول یک فایل ایمج ساخته می شود. با دستور دوم یک فایل ایمج از بخش رجیستری (داکرهاب) به کامپیوتر میزبان منتقل می شود و با دستور سوم، یکی از فایل های ایمج ساخته شده به صورت کانتینر درآمده و اجرا می شود.

به این شکل کانتینرها ایجاد می شوند. حال برای ارتباط کانتینرها با یکدیگر از مکانیزم های دیگری که پیش تر در شکل ۴-۵ دیدیم استفاده می شود. مکانیزم هایی همچون ایجاد شبکه یا اجازه دسترسی به حجم های فیزیکی که ارتباط میان کانتینرها را فراهم کند.

همان طور که در شکل ۴-۶ قابل مشاهده است، برای اجرای هر مرحله می بایست دستوری را اجرا کنیم تا مراحل پیش رود و برنامه اجرا شود، این کار را می توان با کمک داکر کامپوز به صورت خودکار انجام داد و روابط بین کانتینرها را مشخص کرد. داکر کامپوز یک ابزار برای تعریف و اجرای برنامه های حاوی چند کانتینر است. این برنامه از یک فایل YAML برای پیکربندی این مجموعه استفاده می کند. سپس با اجرای تنها یک دستور همه ی سرویس های خود را فعال و آماده به کار می کند. ساخت برنامه ها با داکر کامپوز از سه بخش تشکیل شده است.



شکل ۴-۶- نمایی از معماری داکر و فرایند چرخش دستورات و اطلاعات. [۲۲]

بخش اول ساخت Dockerfile است؛ که در حقیقت ایمیجی جدید بر اساس آنچه که در آن وارد شده، می‌سازد. برای مثال از ایمیج پایتون که به صورت استاندارد در رجیستری (داکرهاب) وجود دارد، شروع کرده و در آن فایل دستور مربوط به نصب کتابخانه‌های مورد نیاز را وارد کرده، سپس برنامه پایتون نوشته شده را به کانتینر منتقل تا برنامه را در آن اجرا شود. در ادامه در شکل ۴-۷ نمونه‌ای از آن را مشاهده می‌کنیم.

بخش دوم، سرویس‌هایی که است که در فایل docker-compose.yml تعریف می‌شوند که شامل نحوه ارتباط کانتینرها با یکدیگر از طریق شبکه داخلی و ارتباط شبکه کانتینرها با شبکه خارجی (کامپیوتر میزبان) و تنظیم دسترسی‌های حجمی بر روی کامپیوتر میزبان است. در شکل ۴-۸ نمونه‌ای از این فایل را مشاهده می‌کنیم.

```
FROM python:3
WORKDIR /usr/src/app

COPY requirements.txt ./
RUN pip install --no-cache-dir -r requirements.txt
COPY main.py ./
COPY util.py ./

CMD [ "python", "./main.py" ]
```

شکل ۴-۷- نمونه‌ای از یک فایل dockerfile

```

networks:
  app-tier:
    driver: bridge
services:
  queue:
    build: rbmq/.
    container_name: rabbitmq
    ports:
      - 5672:5672
      - 15672:15672
      - 1884:1884
    volumes:
      - "C:/Users/hosse/Docker/Rabbitmq/rbmq/Conf:/etc/rabbitmq/"
    networks:
      - app-tier
  consumer:
    build: sl/.
    container_name: stl
    volumes:
      - "C:/Users/hosse/Docker/Rabbitmq/sl/log:/usr/src/app/log"
    networks:
      - app-tier
  cache:
    image: redis:latest
    container_name: redis
    ports:
      - 6379:6379
    volumes:
      - C:/Users/hosse/Docker/Rabbitmq/redis/config/redis.conf:/redis.conf
      - C:/Users/hosse/Docker/Rabbitmq/redis/Data:/data
    command: [ "redis-server", "/redis.conf" ]
    networks:
      - app-tier

```

شکل ۴-۸- نمونه‌ای از یک فایل docker-compose.yml

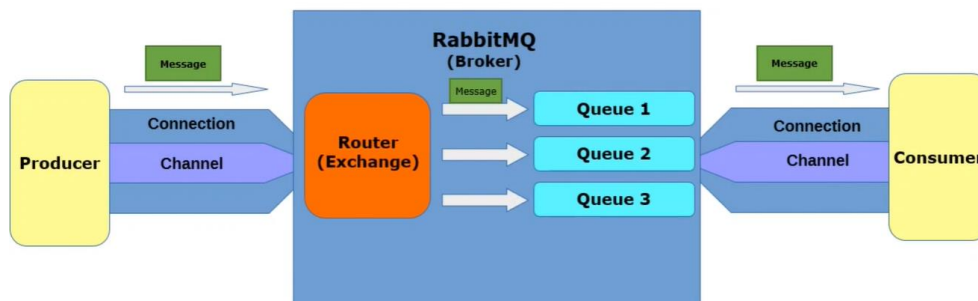
در پایان هم تنها با اجرای دستور `docker-compose -up` می‌توان همه ایمیج‌ها را از روی فایل `docker-compose.yml` ساخته یا از رجیستری (داکرهاب) دریافت کرد و در ادامه از روی ایمیج‌های ساخته‌شده، کانتینرها ساخته‌شده و برنامه‌ها درون آن‌ها اجرا شوند.

۴-۳ مروری بر کارگزار RabbitMQ

RabbitMq یک کارگزار پیام است که می‌توان با کمک آن سیستم‌های بزرگی را یکپارچه‌سازی کرد. به این شکل که پیام را ابتدا از تولیدکنندگان اطلاعات دریافت می‌کند و به مصرف‌کنندگان اطلاعات منتقل می‌کند. این نرم‌افزار متن‌باز و با زبان برنامه‌نویسی Erlang نوشته‌شده است و از پروتکل‌های بسیاری از جمله AMQP، STOMP، MQTT، HTTP و WebSocket پشتیبانی می‌کند. در این بین

پروتکل MQTT، یکی از پرکاربردترین پروتکل‌ها در حوزه اینترنت اشیا است، چراکه بسیار سبک است و توانایی پیاده‌سازی بر روی سیستم‌های قابل توسعه را دارد. به همین جهت از این نرم‌افزار می‌توان به‌عنوان پلی میان سخت‌افزار و محیط ابری یادکرد. این نرم‌افزار بر روی ویندوز، لینوکس و مک قابل استفاده است و همچنین به‌صورت کانتینر داکر در رجیستری داکر (داکرهاب) قرار گرفته است که استفاده از آن را بسیار ساده می‌کند.

در شکل ۴-۹ معماری کلی این نرم‌افزار قابل مشاهده است، تولیدکنندگان اطلاعات^۱ و مصرف‌کنندگان اطلاعات^۲ در دو سمت این معماری و این نرم‌افزار در مرکز شکل قرار گرفته‌اند. آن‌ها به این نرم‌افزار متصل شده و به تبادل اطلاعات می‌پردازند. در این معماری اجزای دیگری از جمله صف^۳، مرکز توزیع^۴ و کانال‌ها^۵ قابل مشاهده هستند که در ادامه با بررسی یک مثال به شرح وظایف هر کدام از این اجزا می‌پردازیم.



شکل ۴-۹-معماری کلی نرم‌افزار RabbitMQ [۲۳]

یک قطعه اینترنت اشیا را در نظر بگیرید که می‌خواهد اطلاعات خود را با پروتکل MQTT به یک سرویس‌دهنده ارسال کند. می‌دانیم که این پروتکل از چندین کیفیت سرویس‌دهی پشتیبانی می‌کند ولی با فرض استفاده از کیفیت سرویس‌دهی^۱، یک بسته حاوی اطلاعات سنسور را به کارگزار پیام ارسال می‌کند و صبر می‌کند تا کارگزار دریافت این پیام را تصدیق کند. این ارتباط یک ارتباط TCP است و کانال که در شکل ۴-۹ تعریف شد، در حقیقت همان پورت مربوطه در هدر بسته‌های TCP است که این امکان را فراهم می‌کند که از یک دستگاه، چندین ارتباط با کارگزار پیام به وجود آید. سپس این بسته دریافت شده و در مرکز توزیع بررسی می‌شود. می‌دانیم که بسته‌ها در پروتکل MQTT یک تاپیک دارند که گیرنده اطلاعات در مقصد با کمک آن مشخص می‌شود. پس در مرکز توزیع بسته‌ها متناسب با

^۱ Producer

^۲ Consumer

^۳ Queue

^۴ Router(Exchange)

^۵ Channels

تاپیک خود، در صف‌هایی که مربوط به خود هستند، قرار خواهند گرفت. در ادامه نحوه مدیریت مرکز توزیع به‌طور کامل شرح داده می‌شود سپس بسته‌ها در صف‌هایی از پیش تعریف‌شده در نرم‌افزار ذخیره می‌شوند. در این نرم‌افزار می‌توان تنظیماتی دقیق برای هر صف انجام داد و جزئیاتی را در آن پیاده‌سازی کرد که در ادامه شرح داده می‌شود. در پایان نیز یک مصرف‌کننده اطلاعات به این صف‌ها متصل می‌شود که این بسته‌ها را از صف‌ها دریافت کرده و پردازش مربوطه را روی آن انجام می‌دهد. یکی از ویژگی‌هایی که ما را به استفاده از RabbitMQ سوق می‌دهد، این است که در سمت گیرنده اطلاعات دیگر نیازی به به‌کارگیری این پروتکل نیست و می‌توان از پروتکل‌های دیگر که نرم‌افزار پشتیبانی می‌کند، استفاده نمود.

RabbitMQ به ما یک پنل داشبورد برای بررسی شرایط صف‌ها، تبادل داده‌ها و کانال‌ها و ارتباطات می‌دهد که در آن می‌توان اطلاعات مفیدی هنگام به‌کارگیری در عمل به دست آورد. در شکل ۴-۱۰ صفحه مربوط به صف‌های را می‌توانید مشاهده کنید، برای مثال در این تصویر ۴ مصرف‌کننده اطلاعات بر روی صف ۱-queue قرار گرفته شده تا در صورت انتقال اطلاعات به این صف، پیام‌ها دریافت شوند. درحالی‌که در صف ۳-classic_queue هزار پیام در حافظه قرار گرفته و هیچ مصرف‌کننده اطلاعاتی به این صف متصل نیست.

3.8.3

Erlang 22.3.2

Refreshed 2020-08-26 03:15:22

Overview

Connections

Channels

Exchanges

Queues

Admin

Queues

▼

All queues (5)

1

▼

of 1

Filter:

☐

Regex

?

Displaying 5 items

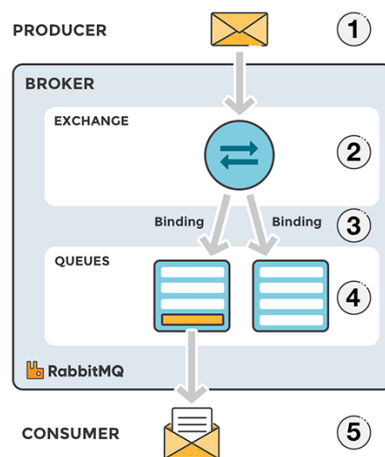
Overview

Name	Type	Features	Features	Policy	Consumers	Consumer utilisation	State	Messages				Message rates			
								Ready	Unacked	In Memory	Total	incoming	deliver / get	ack	
classic_queue_1	classic	D	Args	?	0	0%	idle	0	0	0	0				
classic_queue_2	classic	D	Args	?	0	0%	idle	0	0	0	0				
classic_queue_3	classic	D	Args	?	0	0%	idle	1,000	0	1,000	1,000	0.00/s			
mqtt-subscription-HosseinGholamiQos0	classic	AD	AD	?	0	0%	idle	0	0	0	0				
queue-1	classic	D	D	?	4	0%	idle	0	0	0	0	0.00/s	0.00/s	0.00/s	0.00/s

شکل ۴-۱۰- داشبورد مدیریتی نرم‌افزار RabbitMQ

با توجه به توضیحات فوق و بررسی وظایف کلی هر بخش، به بررسی دقیق‌تر انتقال پیام‌ها از مرکز توزیع و صف‌ها می‌پردازیم.

در این پروژه برای سمت گیرنده اطلاعات از پروتکل MQTT استفاده شد به این معنا که بسته‌های حاوی اطلاعات سنسوری پس از دریافت توسط این پروتکل، به مرکز انتقال ex.mqtt منتقل می‌شوند. می‌دانیم بسته‌هایی که با این پروتکل ارسال می‌شوند در خود بخشی با عنوان تاپیک دارند، RabbitMQ از این بخش هنگام تقسیم بسته‌ها در صف استفاده کرده و متناسب با مجموعه قوانینی قابل تنظیم بسته‌ها را در صف‌های مربوطه قرار می‌دهد. در شکل ۴-۱۱ نمونه‌ای از این انتقال را می‌بینیم.



شکل ۴-۱۱- انتقال پیام در نرم افزار RabbitMQ [۲۳]

هنگامی که هر صف تعریف می شود، در خود بخشی با عنوان «کلید مسیریابی»^۱ دارد و باید به یک مرکز انتقال متصل شود. صفها با کمک کلید انتقال بسته‌هایی که وارد، یک مرکز انتقال می‌شوند را می‌توانند در خود جای دهند. برای مثال `stock.usd.ny` و `quick.orange.rabbit` می‌توانند هر دو نام تاپیک برای بسته‌ها باشند و صف‌هایی با کلید مسیریابی فوق می‌توانند، این پیام‌ها را دریافت کنند. در این بین برای RabbitMQ از سه کاراکتر `'`، `#` و `*` برای مدیریت کردن بهتر بسته‌ها هنگام تقسیم بسته‌ها میان صف‌ها استفاده می‌کند.

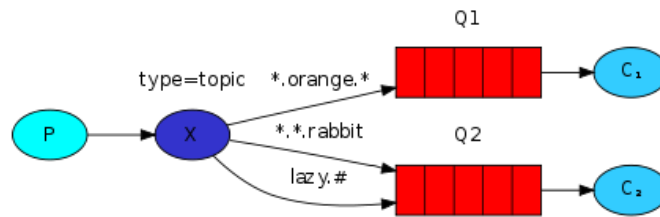
کاراکتر `'` به معنی ایجاد ساختار است و هنگامی که در کلید مسیریابی استفاده شود باید دقیقا تاپیک پیام و کلید مسیریابی یکسان باشد. کاراکتر `*` به این معنی است که در بخش‌هایی که این کاراکتر قرار گرفته می‌تولند تاپیک بسته با کلید مسیریابی متفاوت باشد و کاراکتر `#` به این معناست، در صورتی که تا قبل از این کاراکتر یکسان بود، بسته به صف منتقل شود. مثال زیر را در نظر بگیرید:

بسته‌ای با تاپیک `quick.orange.rabbit` به یک مرکز انتقال می‌رسد و چهار صف با کلیدهای مسیریابی زیر به این مرکز انتقال متصل هستند.

حالت اول کلید مسیریابی `quick.orange` است، این پیام دریافت نمی‌شود، چراکه تعداد بخش‌های ایجاد شده با `'` یکسان نیست. حالت دوم کلید مسیریابی `*.orange.*` است، این پیام دریافت می‌شود، چراکه تعداد بخش‌های ایجاد شده با نقطه یکسان و از دو بخش اول و آخر بسته صرف نظر می‌شود. حالت سوم، کلید مسیریابی `quick.#` است، این پیام دریافت می‌شود چراکه تاپیک بسته با هر آنچه که قبل از

^۱ Routing key

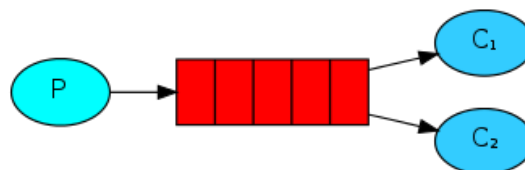
'#' است، یکسان می باشد. این مکانیزم می تواند برای دسته بندی پیام های ورودی بسیار مؤثر باشد. در شکل ۴-۱۲ می توان مثال دیگری را مشاهده نمود.



شکل ۴-۱۲- نحوه استفاده از کلیدمسیریابی برای صف ها

مکانیزم نگه داری پیام ها در صف به طور کلی به دو صورت تقسیم بندی می شود پیام های گذرا^۱ و پیام های ثابت شده^۲، پیام ها، به طور عمومی در حافظه نوشته می شوند (گذرا هستند) ولی در صورتی که حد آستانه ای که برای صف تنظیم شده بیشتر شوند پیام ها به ثابت شده، تبدیل شده و روی دیسک نوشته می شوند و تنها یک اشاره گر که محل ابتدای آدرس دیسک ثبت شده است، در حافظه نگهداری می شود. هنگامی که مصرف کننده اطلاعات، درخواست اطلاعات می کند، قبل از ارسال این پیام وارد حافظه شده و در حالت گذرا قرار می گیرد و پس از اینکه دریافت کننده تصدیق انجام کار آن اطلاعات را ارسال کرد از حافظه نیز پاک می شوند.

در این ساختار همان طور که پیش تر بررسی شد، می توانیم از چندین سرویس دهنده به طور هم زمان استفاده کنیم تا بتوانیم حجم بسته های داخل صف را مدیریت کنیم. در این سیستم یک پارامتری تحت عنوان پیش دستی^۳ تعریف می شود، به این معنا که تعداد بسته های درخواستی از صف را کنترل می کند که بسته ها به صورت چندتایی ارسال شوند. در این حالت، بسته ها به حالت گذرا تغییر وضعیت یافته تا هنگامی که سرویس دهی این بسته ها تمام شد، یک تعداد بسته جدید تقاضا شود. این امر موجب می شود تعداد پیام هایی که برای ارسال و دریافت بین سرور صف و سرویس دهنده منتقل می شود، کاهش یابد و در نتیجه بازدهی بالاتر رود. برای مثال به شکل ۴-۱۳ توجه کنید.



شکل ۴-۱۳- اتصال دو مصرف کننده ای اطلاعات به یک صف

^۱ Transient

^۲ Persistent

^۳ Prefetch

فرض کنید در این شکل دو مصرف کننده‌ی اطلاعات، به این صف متصل شده‌اند و در صف ۵۰ بسته وجود دارد. C^۱ با پیش‌دستی ۵ به این صف متصل شده و C^۲ که کامپیوتری با امکانات سخت‌افزاری قوی‌تری است، با پیش‌دستی ۱۰ به این صف متصل می‌شود. حال در لحظه صفر C^۱ درخواست ۵ بسته و C^۲ درخواست ۱۰ بسته می‌کند. در این حالت همچنان ۵۰ بسته در صف وجود دارد، با این تفاوت که ۱۵ بسته به حالت گذرا درآمده است. بعد از پردازش توسط C^۱ و C^۲ اعلان پایان کار داده و تقاضای بسته جدید کرده به این شکل بسته‌ها از صف حذف‌شده و بسته‌های جدید برای آن‌ها ارسال می‌شود.

۴-۳-۱ راه‌اندازی RabbitMQ با داکر

از پیش‌تر در بخش مروری بر داکر به یاد داریم که می‌توان ایمج‌های استاندارد را از داکرهاب، بارگذاری و مورد استفاده قرار داد. RabbitMQ خود یکی از ایمج‌های استاندارد است که به‌سادگی از آن استفاده می‌شود. برای این کار می‌توانیم در داخل داکر فایل از ایمج استاندارد شروع کرده و پلاگین‌هایی که قصد فعال‌سازی آن را داریم، با اجرای دستور مربوطه به کارگیریم تا ایمج جدیدی با ویژگی‌هایی که مدنظر داریم ساخته شود. در شکل ۴-۱۴ محتوای داکر فایل را می‌توان مشاهده کرد.

```
FROM rabbitmq:3-management
RUN rabbitmq-plugins enable rabbitmq_management
RUN rabbitmq-plugins enable rabbitmq_mqtt -offline
```

شکل ۴-۱۴- محتوای داکر فایل برای راه‌اندازی RabbitMQ

حال با به کارگیری داکر کامپوز تنها کافی است دستور دهیم که ایمج فوق ساخته شود و پورت مخصوص به ارتباط با کانتینر و کامپیوتر میزبان برقرار شود. همچنین می‌توان فایل تنظیمات را تغییر داد و آن را در داخل کانتینر قرار داد. در شکل ۴-۱۵ می‌توان دستوراتی که در فایل docker-compose.yaml برای بالا آمدن کانتینر RabbitMQ نوشته‌شده را مشاهده کرد.

```
queue:
  build: rbmq/.
  container_name: rabbitmq
  ports:
    - 5672:5672
    - 15672:15672
    - 1884:1884
  volumes:
    - ".rbmq/Conf:/etc/rabbitmq/"
```

شکل ۴-۱۵- بخش مرتبط با RabbitMQ در داکر کامپوز

۴-۴ مروری بر ذخیره کننده Redis

Redis یک ذخیره کننده ساختار اطلاعات، داخل حافظه‌ای متن‌باز است که می‌تواند به‌عنوان پایگاه‌داده، حافظه نهان و ابزاری برای یکپارچه‌سازی عمل کند. Redis از ساختارهای اطلاعات متفاوتی از جمله؛ رشته‌ها، هش‌ها، لیست‌ها، مجموعه‌ها، مجموعه‌های مرتب‌شده برای کاربردهای متفاوت و جریان‌های اطلاعات (سری زمانی‌ها) پشتیبانی می‌کند و توانایی اجرا بر روی خوشه‌ای از کامپیوترها را دارا است که بزرگ‌ترین مزیت استفاده از Redis است.

در این نرم‌افزار بعضی از امکانات محاسباتی از جمله اضافه کردن به رشته‌ها، تغییر در اعداد، تغییر در لیست‌ها، محاسبه اشتراکات دو مجموعه، بررسی المان‌های منحصر به فرد و ... را انجام داد. Redis به زبان ANSI C نوشته شده و بر روی همه‌ی سیستم‌عامل‌ها بدون هیچ‌گونه پیش‌نیاز قابل اجرا است. اگرچه این برنامه بر روی همه‌ی سیستم‌عامل‌ها توانایی اجرا دارد ولی خود برنامه، استفاده از سری سیستم‌عامل‌های Linux را پیشنهاد می‌دهد.

درست است که Redis اطلاعات را در حافظه ذخیره می‌کند اما به این معنی نیست که پس از خاموش شدن و یا هر اتفاقی که باعث خالی شدن حافظه شود، داده‌های ما پاک می‌شوند. بلکه Redis برای نگهداری دائمی داده‌ها آن‌ها را با توجه به تنظیماتی که برای آن مشخص کرده‌ایم به دیسک اصلی سیستم منتقل کرده و بعد از پاک شدن حافظه مجدد می‌تواند آن‌ها را منتقل کند و کار را از سر بگیرد. این ویژگی باعث شده اصطلاحاً به آن on-disk persistence بگویند.

زمانی از ذخیره‌سازی موقت^۱ استفاده می‌شود که قصد داشته باشیم دسترسی به هارد دیسک کمتر انجام شود. به عبارت دیگر در ذخیره‌سازی موقت، اطلاعات در حافظه موقت ذخیره می‌شود که این فرآیند سرعت دسترسی به اطلاعات و بارگذاری آن‌ها را افزایش می‌دهد. از این طریق در کنار صرفه‌جویی در زمان و افزایش سرعت، دسترسی کمتری به منابع مورد نیاز انجام می‌شود. این امر نیز به بهینه‌سازی بیشتر کمک می‌کند. به این نکته نیز باید اشاره کرد که در Redis اطلاعات در حافظه ذخیره می‌شوند، این امر باعث می‌شود دسترسی به آن‌ها با سرعت بسیار بیشتری انجام شود؛ اما این سکه روی دیگری نیز دارد و امکان ذخیره‌سازی دائمی اطلاعات را در Redis وجود نخواهد داشت. در این پژوهش از آنجاکه پس از جمع‌آوری اطلاعات نیازمند پردازش این اطلاعات هستیم تا به رانندگی افراد امتیازی اختصاص دهیم از این نرم‌افزار استفاده شد.

^۱ Caching

در Redis دو عنصر، کلید و مقدار^۱ داریم. عنصر مقدار می تواند انواع مختلفی داشته باشد. اجازه دهید به برخی این مقادیر و کاربردهای آنها نگاهی بیندازیم.

رشته ها: اگر مقدار از نوع رشته بود، می توان عملیات درج، بهنگام سازی، حذف، دریافت را از آن کلید انجام داد. مثلاً با دستور زیر می توان یک کلید ساخت و یک رشته در آن درج کرد:

SET user_۱ book_۱	یک کلید به اسم user_۱ ساخته شده و book_۱ به عنوان مقدار برای این کلید در نظر گرفته می شود.
GET user_۱	مقدار مورد (book_۱) نظر برای کلید user_۱ را برگردانده می شود.

لیست: با استفاده از لیست می توان یک آرایه دلخواه داشت که بتوان در این آرایه، عنصری را اضافه یا کم کرد و عملیات مختلف دیگر را انجام داد.

دسته ها^۲: اگر مقدار موجود از نوع دسته ها باشد درواقع یک لیست وجود دارد که هیچ کدام از عناصر آن تکراری نیستند.

دسته های منظم شده^۳: همانند مقدارهایی از نوع دسته است با این تفاوت که هر عنصر از مجموعه دارای وزن است و این وزن می تواند به صورت مرتب نگهداری شود. (مثلاً از وزن کم به زیاد)

هش ها^۴: اگر با انواع JSON آشنایی داشته باشید درک مقادیر هش ها ساده تر است. این مقادیر می توانند اشیایی مانند JSON را در خود جای دهند. بدین شکل که ابتدا کلیدی برای ذخیره سازی اطلاعات دریافت کرده و سپس به ذخیره سازی اطلاعات به صورت زوج مرتب هایی از کلید و مقدار می پردازد.

علاوه بر موارد فوق، Redis می تواند مقادیر دیگری را نیز ذخیره و بازیابی کند. یکی از انواع آنها، HyperLogLog است. فرض کنید می خواهید تعداد تکرار یک عنصر خاص از یک لیست را به دست آورید. اگر این لیست بسیار بزرگ باشد، این کار به راحتی انجام نمی پذیرد.

^۱ Value

^۲ Sets

^۳ Sorted Sets

^۴ Hashes

مقادیر HyperLogLog می‌تواند با دقت بسیار بالا (اما نه ۱۰۰ درصد) تعداد تکرار یک عنصر خاص را حدس بزند. این کار با استفاده از الگوریتم‌های خاصی امکان‌پذیر است. انواع دیگری مانند ذخیره‌سازی عناصری از جنس موقعیت‌های مکانی و یا Bitmap های نیز در Redis وجود دارند که کاربردهای خاص خود را دارند.

در این پژوهش از آنجاکه میان رانندگان و اطلاعات ارسالی آن‌ها تمایز قائل هستیم و تنها قصد انتقال رویدادهای رانندگی و برچسب زمانی آن‌ها را داریم، می‌توانیم اطلاعات خود را به‌صورت هش‌ها در Redis درآورده و به این شکل ذخیره‌سازی اطلاعات را پیاده‌سازی کنیم. اطلاعات با دستور و ساختار زیر ذخیره‌شده‌اند.

کلید ذخیره‌سازی اطلاعات بر اساس شماره شناسایی راننده تعیین می‌شود. از آنجایی که رشته‌های هر کلید باید نسبت به یکدیگر منحصر به فرد باشند، از برچسب زمان به‌عنوان رشته و در بخش مقدار آن رویداد رانندگی موردنظر نوشته می‌شود. با دستور HSET می‌توان یک سری اطلاعات هش ساخت و اطلاعات رشته و مقدار را به آن، مانند لیست، اضافه کرد و با دستور HGETALL می‌توان اطلاعات ذخیره‌شده در یک هش را به دست آورد. در شکل ۴-۱۶ نمونه‌ای از استفاده از این دستورات و بارگذاری این اطلاعات در سرویس‌دهنده Redis می‌توانیم مشاهده کنیم.

```
127.0.0.1:6379> Hset Driver1 "14/05/2016 11:17:09" "troca_faixa_direita_agressiva"
(integer) 1
127.0.0.1:6379> Hset Driver1 "14/05/2016 11:21:12" "freada_agressiva"
(integer) 1
127.0.0.1:6379> Hset Driver1 "14/05/2016 11:21:20" "freada_agressiva"
(integer) 1
127.0.0.1:6379> Hset Driver1 "14/05/2016 11:22:21" "aceleracao_agressiva"
(integer) 1
127.0.0.1:6379> HGETALL Driver1
1) "14/05/2016 11:17:09"
2) "troca_faixa_direita_agressiva"
3) "14/05/2016 11:21:12"
4) "freada_agressiva"
5) "14/05/2016 11:21:20"
6) "freada_agressiva"
7) "14/05/2016 11:22:21"
8) "aceleracao_agressiva"
```

شکل ۴-۱۶- بررسی دستورات کار کردن با هش‌ها در Redis

در شکل فوق با برنامه **redis-cli** به سرور Redis متصل شدیم و سعی کردیم دستورات را در خط دستور وارد کنیم. در ادامه با یک برنامه پایتون، سعی می‌شود اطلاعات را از نرم‌افزار RabbitMQ خوانده و به سرویس‌دهنده Redis منتقل کرد.

۱-۴-۴ راه‌اندازی Redis با داکر کامپوز

از پیش‌تر در بخش مروری بر داکر به یاد داریم که می‌توان ایمج‌های استاندارد را از داکرهاب، بارگذاری و مورد استفاده قرارداد، Redis یکی از ایمج‌های استاندارد است که می‌توان به‌سادگی از آن استفاده نمود، برای استفاده از این ایمج با داکر کامپوز، تنها کافی است، پورت مخصوص به ارتباط با کانتینر آن را به کامپیوتر میزبان متصل کرده و فضایی در کامپیوتر میزبان برای ذخیره‌سازی اطلاعات برای آن اختصاص دهیم تا با شروع به کار مجدد کانتینر، اطلاعات ذخیره‌شده در آن از بین نرود، همچنین می‌توان فایل تنظیمات مربوط به Redis را تغییر داد و در کانتینر قرارداد و دستور داد تا برنامه Redis بر اساس تنظیماتی که در کانتینر قرار گرفته، اجرا شود. در شکل ۴-۱۷ می‌توان دستوراتی که در فایل **docker-compose.yml** برای بالا آمدن کانتینر Redis نوشته‌شده را مشاهده کرد.

```
cache:
  image: redis:latest
  container_name: redis
  ports:
    - 6379:6379
  volumes:
    - ./redis/config/redis.conf:/redis.conf
    - ./redis/Data:/data
  command: [ "redis-server", "/redis.conf" ]
```

شکل ۴-۱۷- بخش مرتبط با Redis در داکر کامپوز

۵-۴ پیاده‌سازی سیستم دریافت و ذخیره‌سازی

در این بخش قصد داریم تا به بررسی کلی سیستم دریافت و ذخیره‌سازی اطلاعات بپردازیم، در بخش‌های قبل با نرم‌افزارهای مورد استفاده آشنا شدیم و راه‌اندازی آن‌ها با کمک داکر را بررسی کردیم. حال به بررسی عملکرد هرکدام از نرم‌افزارهای فوق در معماری مورد استفاده به‌صورت جدا پرداخته و ارتباط آن‌ها با یکدیگر را معرفی می‌کنیم.

همان طور که پیش تر در شکل ۴-۸ مشاهده کردیم، برای پیاده سازی این سیستم از سه برنامه مجزا استفاده شد که با یکدیگر در تعامل هستند. برنامه هایی به شرح: صف^۱ مصرف کننده^۲ ذخیره موقت^۳.

برنامه صف با کمک RabbitMQ پیاده سازی شد. بدین شکل که خودروها با پروتکل MQTT بر روی پورت ۱۸۸۴ با شناسه هویتی مشخص، به این نرم افزار متصل و بسته های خود را با تاپیک مشخص (شماره خودروی خود) به مرکز انتقال "ex.mqtt" منتقل می کنند. در ادامه همان طور که در شکل ۴-۱۸ می بینید، بسته ها با کلیدهای مسیریابی متفاوت وارد صف های مربوط به خود می شوند. برای مثال بسته ای با تاپیک Car.۳۲۱ بر اساس کلید مسیریابی Car.* به صف classic_queue_۱ منتقل می شود و در صف نگهداری می شود تا یک مصرف کننده اطلاعات را از صف بخواند.



شکل ۴-۱۸- فرایند انتقال بسته ها از بخش توزیع دادگان به صف ها

در ادامه می بایست نرم افزاری طراحی کنیم که اطلاعات را از صف های RabbitMQ خوانده و به Redis منتقل کند. تا فرایند بعدی که امتیاز دادن به رانندگی شخص در هر سفر است، انجام شود.

می دانیم می توان بسته های قرار گرفته داخل صف را بر روی پورت ۵۶۷۲ و پروتکل AMQP-۰-۹۱ با شناسه هویتی مشخص توسط کتابخانه pika که در پایتون نوشته شده، دریافت کنیم. برای انجام این کار به صورت بهینه باید حجم بسته های درون صف RabbitMQ از حدی بیشتر نشود. مکانیزم دریافت اطلاعات از صف به صورت موازی و چند رشته پیاده سازی شد. بدین شکل که با کمک مکانیزم

^۱ Queue

^۲ Consumer

^۳ Cache

برنامه‌نویسی چند رشته‌ای و کتابخانه `threading`، می‌توان به تعداد دلخواه، مصرف‌کننده اطلاعات ساخت که به صف‌ها متصل شوند. کلاس مربوط به این مدل را می‌توان در شکل ۴-۱۹ مشاهده کرد.

```
class rbmq(threading.Thread):
    # Thread class with a _stop() method.
    def __init__(self, Slug, Parameter, prefetch_count, QueueName, CalbackFunc, *args, **kwargs):
        super(rbmq, self).__init__(*args, **kwargs)
        self.slug=Slug
        self.parameters=Parameter
        self.pckh=prefetch_count
        self.queueName=QueueName
        self.callbackfunc=CalbackFunc
    def run(self):
        # target function of the thread class
        try:
            connection = pika.BlockingConnection(self.parameters)
            channel = connection.channel()
            channel.basic_qos(prefetch_count=self.pckh)
            channel.basic_consume(queue=self.queueName,
                                  on_message_callback=self.callbackfunc,
                                  consumer_tag=self.slug)
            print( self.slug , ' [*] Waiting for messages on :',self.queueName )
            channel.start_consuming()
        finally:
            connection.close()
            print(self.slug , ' Stopped from ',self.queueName )
    def get_id(self):
        # returns id of the respective thread
        if hasattr(self, '_thread_id'):
            return self._thread_id
        for id, thread in threading._active.items():
            if thread is self:
                return id
    def stop(self):
        thread_id = self.get_id()
        res = ctypes.pythonapi.PyThreadState_SetAsyncExc(thread_id,
                                                             ctypes.py_object(SystemExit))
        if res > 1:
            ctypes.pythonapi.PyThreadState_SetAsyncExc(thread_id, 0)
            print('Exception raise failure')
```

شکل ۴-۱۹- کلاس مربوطه به برنامه انتقال‌دهنده اطلاعات RabbitMQ به Redis

در ادامه وظیفه‌ای که هرکدام از این رشته‌ها دارند، هنگام دریافت پیام تعیین می‌شود که با پیام دریافت شده، چه عملی را انجام دهند. برای انجام این کار هنگامی که قصد داریم شی‌ای از کلاس فوق بسازیم تابعی را به‌عنوان `CallbackFunc` به آن معرفی می‌کنیم تا وظایفی که هنگام دریافت بسته‌ها باید انجام شود را تعریف کنیم. هنگامی که بسته‌ها از صف‌ها دریافت شدند، باید به نرم‌افزار ذخیره‌سازی موقت (Redis) منتقل شوند. در بخش قبل بررسی کردیم که برای این کار از مکانیزم هش‌ها در Redis استفاده خواهیم کرد. به همین منظور با استفاده از کتابخانه Redis در پایتون، به‌صورت کاربر Redis به این سرویس‌دهنده متصل شده و اطلاعات خارج‌شده از صف را در این نرم‌افزار قرار می‌دهیم.

در شکل ۴-۲۰ تابعی که وظیفه انتقال اطلاعات به سرویس دهنده Redis را دارد مشاهده می کنیم، در صورتی که این برنامه نتواند اطلاعات را به Redis منتقل کند، اطلاعات را در بخشی از کانینر اجراکننده این برنامه که به کامپیوتر میزبان متصل شده، منتقل می کند. اگر روند اجرای برنامه مشکلی نداشت، پیام تصدیق برای برنامه صف ارسال می شود تا پیام را از حافظه خود پاک کند.

```
def Packet_Handler_callback(ch, method, properties, body):
    Str=str(body.decode("utf-8"))
    Data=json.loads(Str)
    client = redis.Redis(host='redis', port=6379)
    send_correct = client.hset(name=Data['driver_id'],key=Data['timestamp'],value=Data['event'])
    # if Fails , save on log file
    if not(send_correct):
        with open("../log//log.txt", "a") as myfile :
            myfile.write(Str)
    ch.basic_ack(delivery_tag = method.delivery_tag)
```

شکل ۴-۲۰-تابع فراخوانی اطلاعات هنگام دریافت اطلاعات از Redis و انتقال به RabbitMQ

۴-۶ جمع بندی

در بخش های فوق هر یک از نرم افزارهای به کاررفته برای دریافت و ذخیره سازی اطلاعات بررسی کردیم و در پایان برنامه ای که وظیفه یکپارچه سازی این نرم افزارها را دارد، مرور کردیم، حال وقت آن رسیده که به بررسی اطلاعاتی که در سرویس دهنده Redis جمع شده بپردازیم. تا رانندگی افراد را مورد ارزیابی قرار دهیم.

۵ فصل پنجم

مدل ارزیابی کننده اطلاعات رانندگان

مدل ارزیابی‌کننده اطلاعات رانندگان

در بخش‌های قبل شیوه تشخیص و برچسب‌گذاری اطلاعات سنسوری را بررسی کردیم و به نحوه تجمیع این اطلاعات پرداختیم. حال در این بخش به دنبال راهکاری هستیم که بتوانیم رانندگی افراد را بررسی و نمره دهی کنیم. اولین ایده‌ای که به ذهن می‌رسد، مقایسه رانندگان با یکدیگر است. برای این کار به یک جامعه آماری بزرگ‌تر نیاز داریم تا بتوان مقایسه‌ای عادلانه انجام گیرد. مجموعه دادگانی که پیش‌تر برای تشخیص رویدادهای رانندگی مورد استفاده قرار دادیم، حجم اطلاعات زیادی نداشت پس باید به سراغ مجموعه دادگان بزرگ‌تری برویم. در این بخش ابتدا مجموعه دادگان جدید که شامل رویدادهای رانندگی افراد است را بررسی کرده و سپس سعی می‌کنیم مکانیزمی برای نمره‌دهی رانندگان طراحی کنیم.

۵-۱ جمع‌آوری اطلاعات و آنالیز اکتشافی

مجموعه دادگان بکار رفته در این بخش از همکاری دو شرکت ماکروسافت^۱ و شرکت پوینترتلوکیشن^۲ به دست آمد. [۲۴] پوینترتلوکیشن، یک شرکت توسعه دستگاه‌های مخابراتی برای خودروها است که روی مدیریت ناوگان حمل‌ونقل تمرکز کرده است. دستگاه‌های طراحی‌شده توسط این شرکت ویژگی‌های خودرو همچون سرعت، مکان و همچنین برخی از رفتارهای راننده خودروها همچون چرخش‌های خطرناک، ترمزگیری خطرناک، سرعت‌گیری خطرناک را می‌تواند تشخیص دهد. این شرکت در طی یک همکاری با ماکروسافت اطلاعات تعداد زیادی از رانندگان خود را منتشر کرد تا بتواند مسئله مقایسه رانندگان را حل کند، ماکروسافت پس از ارائه راه‌حل این مسئله، مجموعه دادگان را در اختیار عموم قرار داد. در این پروژه با به‌کارگیری همان مجموعه اطلاعات و تنها با تغییر در برخی از بردارهای ویژگی به نتایج جالبی دست‌یافتیم که در ادامه بررسی خواهیم نمود.

این مجموعه دادگان حاوی اطلاعات متفاوتی است ولی به‌طور کلی اطلاعات را می‌توان به دو نوع تقسیم نمود؛ اطلاعات رفتاری و اطلاعات عملکردی، همان‌طور که در شکل ۵-۱ مشاهده می‌کنید در ستون EventName، نوع رویدادهایی که به سمت سرور منتقل‌شده نشان داده‌شده است. این ستون رویدادهای رفتاری راننده را در اختیار ما قرار می‌دهند و در سایر ستون‌ها اطلاعات عملکردی هر خودرو مشخص‌شده، به‌طور مثال در ستون DriverId راننده‌ای که پشت سیستم است معرفی‌شده و همچنین

^۱ Microsoft : www.Microsoft.com

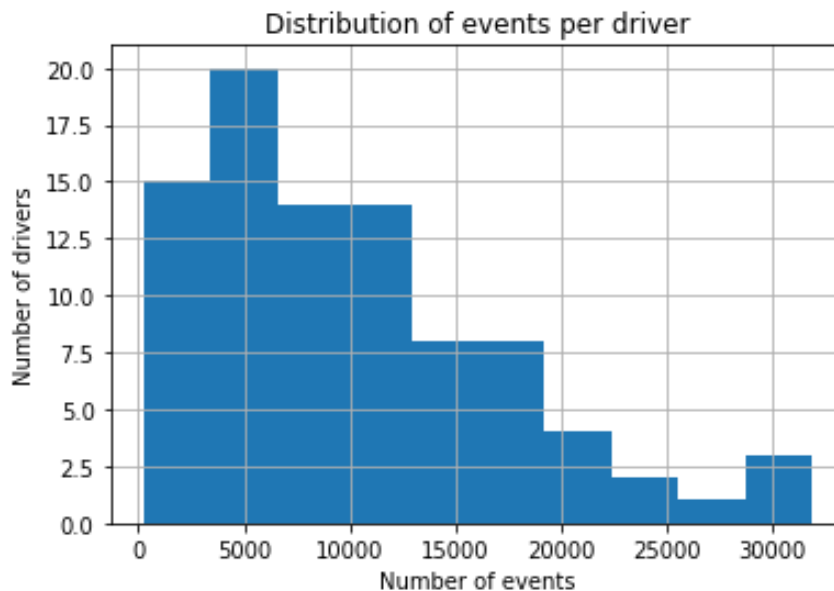
^۲ Pointer Telocation : www.pointer.com

اطلاعاتی که از حسگر GPS به دست می‌آید همچون طول و عرض جغرافیایی و سرعت خودرو برچسب زمانی خورده‌اند.

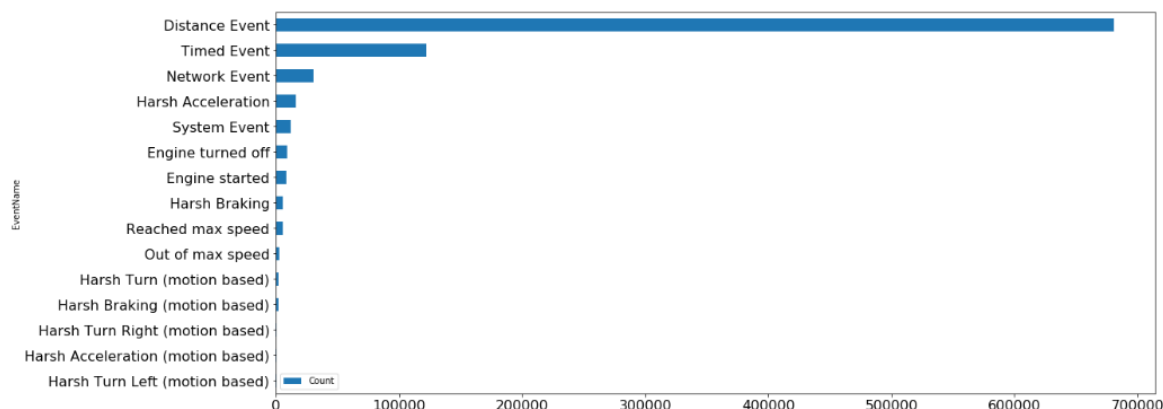
DriverId	EventName	Latitude	Longitude	Speed km/h	ts
0	Distance Event	34.1918	-118.1112	51.0000	2017-11-02 15:33:06.010
0	Distance Event	34.1921	-118.1122	37.0000	2017-11-02 15:33:14.100
0	Harsh Acceleration	34.1924	-118.1128	52.0000	2017-11-02 15:33:36.500
0	Distance Event	34.1924	-118.1130	60.0000	2017-11-02 15:33:37.650
0	Harsh Acceleration	34.1924	-118.1130	60.0000	2017-11-02 15:33:37.440
0	Harsh Acceleration	34.1923	-118.1131	67.0000	2017-11-02 15:33:38.490
0	Distance Event	34.1924	-118.1130	60.0000	2017-11-02 15:33:37.190
0	Distance Event	34.1920	-118.1140	78.0000	2017-11-02 15:33:42.640
0	Distance Event	34.1914	-118.1150	87.0000	2017-11-02 15:33:47.230
0	Timed Event	34.1914	-118.1150	87.0000	2017-11-02 15:33:48.270

شکل ۵-۱- نمونه‌ای از رویدادهای رفتاری و عملکردی مجموعه دادگان دوم

تعداد کل رانندگان در این مجموعه دادگان ۸۹ نفر است و میانگین تعداد رویدادها برای هر راننده ۷۴۳۵ نمونه است که با توزیع زیر پخش شده است؛ اما برای تخمین نوع رانندگی راننده، ما تنها به تعداد رویداد زیاد نیاز نداریم، بلکه به تنوع در نوع رخدادها موجود نیاز داریم. تا مدل خوبی برای نمره‌دهی و مقایسه رانندگان در اختیار داشته باشیم برای این کار در شکل ۵-۲ می‌توانیم توزیع به ازای رویدادهای متفاوت را بررسی کنیم.



شکل ۵-۲- توزیع تعداد رانندگان بر اساس تعداد رویدادهای تولیدشده

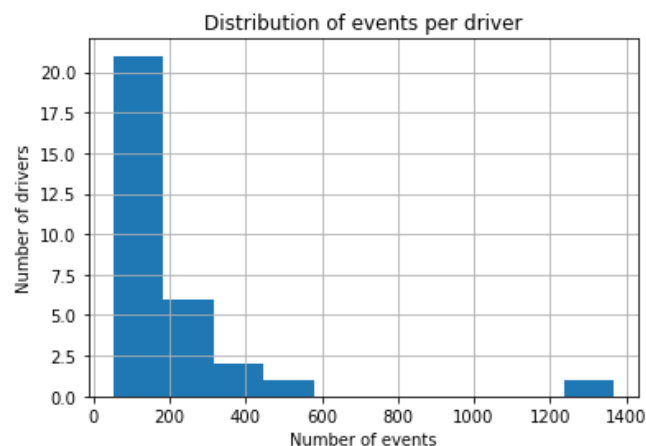


شکل ۵-۳- نمودار تعداد رویداد تولیدشده توسط رانندگان

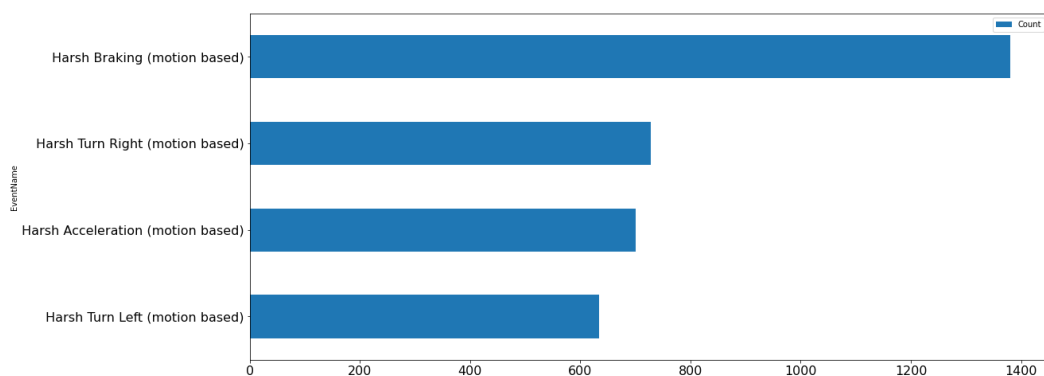
همان طور که در شکل ۵-۳ قابل مشاهده است، تعدادی از این رویدادها، رویدادهای حرکتی، زمانی، سیستمی و رویدادهای مربوط به اتصالات شبکه است که در روند مقایسه و نمره دهی به عملکرد رانندگان بی تأثیر است. همچنین با توجه به تعریف پروژه که پیش تر داشتیم ما دسترسی به اطلاعات عملکردی حسگر GPS نداریم. به این معنا که نمی توانیم رخدادهای مربوط به سرعت غیرمجاز و رسیدن به آستانه حرکت غیرمجاز را بررسی کنیم و تنها می توانیم رخدادهای رفتاری که با حسگرهای شتابسنج وژیروسکوپ به دست می آیند را بکار گیریم. همچنین اگر با دقت بیشتری به اطلاعات نگاه ببندیم، برای رویدادهای شتابگیری خطرناک و ترمزگیری خطرناک، دو نوع برجسب مشاهده می کنیم. در جلوی بعضی از آن ها داخل پرانتز کلمه ی «بر اساس تغییرات حرکتی^۱» علامت خورده است. این برجسب به این معنا است که این اطلاعات از حسگرهای موردنظر به دست آمده ولی سایر آن ها بر اساس تغییر حرکت ناگهانی سرعت به دست آمده پس این ردیف از اطلاعات را می بایست حذف کنیم چراکه توسط حسگرهای مدنظر ما به دست نیامده است. پس با توجه به توضیح پیش، باید تعدادی از اطلاعات مربوط را حذف کنیم تا هدف پژوهش خود را ارضا کنیم. به همین منظور در شکل ۵-۴، شکل ۵-۵، می توانیم به ترتیب توزیع تعداد رانندگان بر اساس تعداد رویداد تولیدشده و نمودار تعداد رویداد تولیدشده توسط رانندگان را پس از حذف اطلاعات یاد شده مشاهده می کنیم.

متأسفانه این مجموعه دادگان معیاری برای تعویض لاین خطرناک در اختیار ما قرار نمی دهد، پس از این رخداد نتوانستیم معیاری جهت ارزیابی رانندگان استفاده کنیم. ولی در صورتی که سیستم پیشنهادی بدون این ویژگی به مرحله پیاده سازی برسد، با تجمیع اطلاعات می توان فرایند آموزش که در ادامه بررسی می کنیم را برای این بردار ویژگی نیز انجام داد.

^۱ Motion based



شکل ۴-۵- توزیع تعداد رانندگان بر اساس تعداد رویدادهای تولیدشده پس از حذف اطلاعات نامربوط



شکل ۵-۵- نمودار تعداد رویداد تولیدشده توسط رانندگان پس از حذف اطلاعات نامربوط

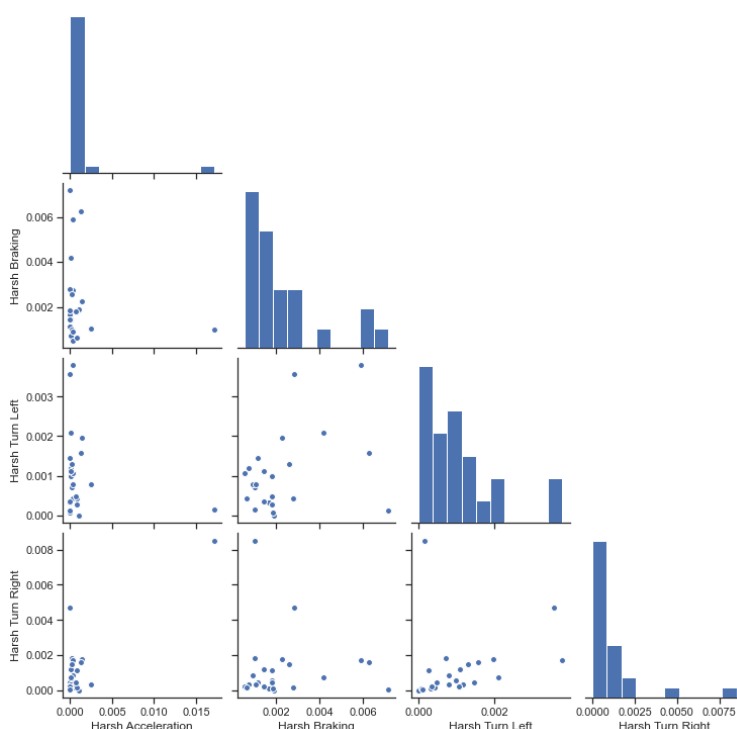
۲-۵ مهندسی بردار ویژگی

از آنجایی که زمان رانندگی رانندگان یکسان نیست، برای یک مقایسه عادلانه می‌بایست زمان رانندگی هر شخص را حساب کنیم و از آن به عنوان معیاری بهره بگیریم تا بتوانیم مقایسه‌ای عادلانه انجام دهیم. به همین منظور یک بردار ویژگی برای هر راننده بر اساس تعداد رویداد ساخته شده در زمان رانندگی محاسبه کنیم تا مقایسه‌ای عادلانه داشته باشیم و زمان رانندگی را به عنوان یک پارامتر به نتیجه تحلیل بیفزاییم، خروجی این فرایند را می‌توان در شکل ۵-۶ مشاهده نمود.

DriverId	F_Harsh Acceleration (motion based)	F_Harsh Braking (motion based)	F_Harsh Turn Left (motion based)	F_Harsh Turn Right (motion based)
0	0.0000	0.0018	0.0010	0.0008
4	0.0000	0.0011	0.0015	0.0004
5	0.0002	0.0010	0.0007	0.0019
6	0.0000	0.0007	0.0012	0.0003
8	0.0013	0.0022	0.0020	0.0018
14	0.0000	0.0017	0.0003	0.0001

شکل ۵-۶- بردار ویژگی هر راننده بر اساس زمان طی شده و تعداد رویداد تولید کرده

در شکل ۵-۷ می توان تعداد و توزیع این رویدادها برای همه ی اطلاعات مشاهده کرد. ولی همان طور که مشخص است در بعضی از نقاط، دادگان پرت و خارج از عرف داریم. پس نیاز داریم با کمک روشی بتوانیم این اطلاعات را حذف کنیم. چراکه وقتی حالتی خاص را در مقایسه وارد کنیم ممکن است نتیجه مقایسه را به صورت عمومی تحت شعاع خود قرار دهد. برای این کار می بایست از روش های حذف دادگان پرت استفاده کنیم، به همین منظور از تبدیل BoxCox و قاعده ی حذف اطلاعات بالای میانگین و انحراف معیار استفاده شد، در ادامه این روش را توضیح داده و سپس از آن بهره گیری می کنیم.



شکل ۵-۷- نمودار تعداد و توزیع این رویدادها نسبت به یکدیگر

تبدیل Box-Cox [۲۵]، یک تبدیل آماری قابل بازگشت است که در ۱۹۶۴ توسط دو دانشمند با نام های George Box و Sir David Roxbee Cox طراحی شده که سعی می کند که توزیع داده شده را به توزیع نرمال نزدیک کند. این تبدیل به فرم رابطه ۵-۱ تعریف شده که از طریق یافتن پارامتر λ مناسب این تبدیل قابل بازگشت است و پارامتر λ از بهینه سازی یک تابع خطا که راه حل بسته دارد، به دست می آید. این تبدیل در پایتون، در کتابخانه ی `scipy.stats.boxcox` پیاده سازی شده، همچنین تبدیل معکوس آن را نیز می توان در `scipy.special.inv_boxcox` یافت. این تبدیل به فرم ریاضی به شکل زیر تعریف می شود:

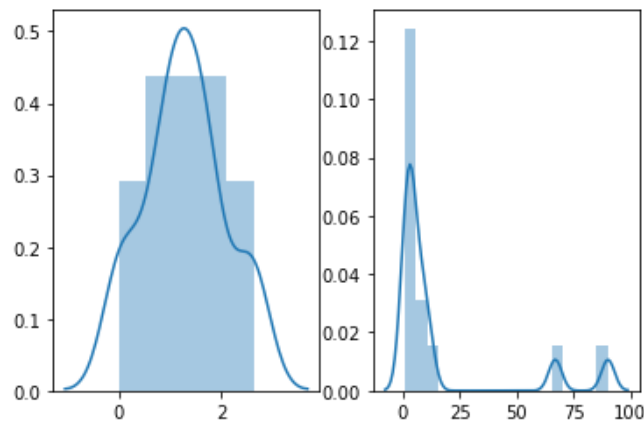
$$y_i^{(\lambda)} = \begin{cases} \frac{y_i^\lambda - 1}{\lambda} & \text{if } \lambda \neq 0, \\ \ln y_i & \text{if } \lambda = 0, \end{cases} \quad \text{رابطه (۵-۱)}$$

به عنوان مثال رشته اعداد x را به X تبدیل می کند.

x [1.1, 12, 2, 3, 4, 5, 67, 9, 9, 5, 1, 2, 9, 90, 1]

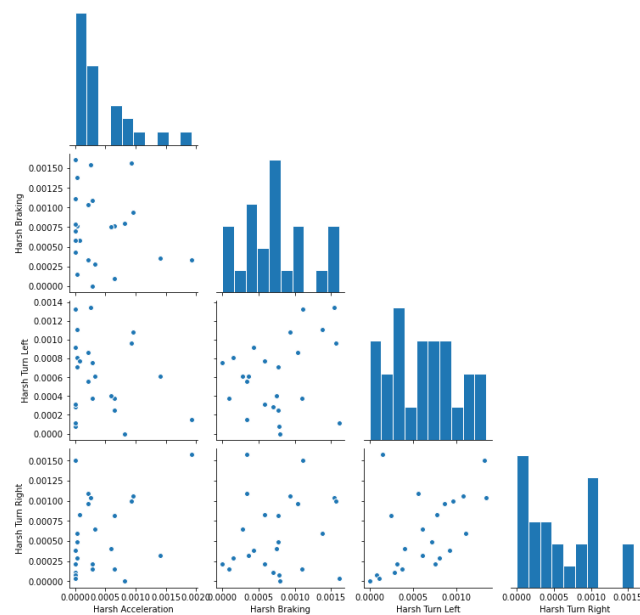
X [0.0941243, 1.82374859, 0.63357865, 0.95400214, 1.16147145, 1.31191724, 2.5427535, 1.66838902, 1.66838902, 1.31191724, 0, 0.92850195, 2.63694971]

با انجام این تبدیل، پارامتر λ معادل ۰.۲۶۳۲۷۸۷۲۳۸۹۸۵۹۴۳۶- محاسبه می شود و در صورتی که با همین پارامتر این اعداد را تبدیل کنیم به اعداد قبلی می رسیم. در شکل ۵-۸ نمودار توزیع این دو رشته را مشاهده می کنیم. در شکل ۵-۸-راست، به سادگی قابل مشاهده است که نمونه های ۶۷ و ۹۰.۱ جزو دادگان پرت محسوب می شوند. ولی در شکل ۵-۸-چپ این اعداد همگی در یک توزیع شبیه به نرمال قرار گرفته اند.



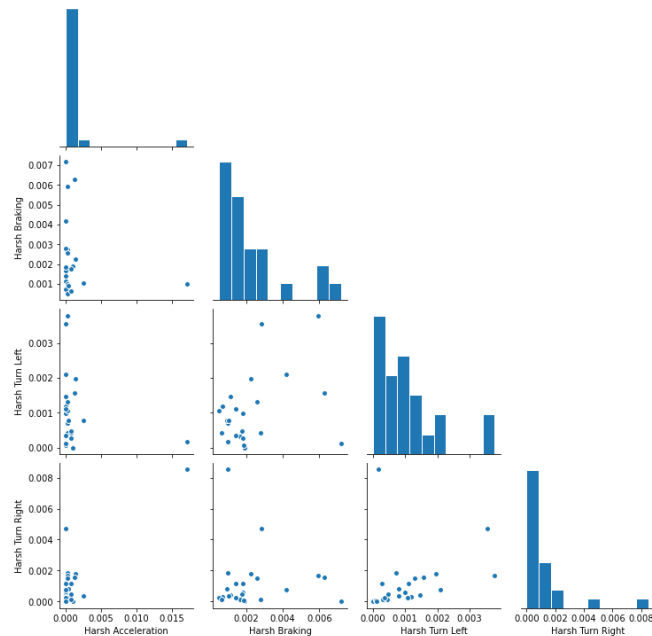
شکل ۵-۸- نمودار نمونه تبدیل **box-cox** برای بردار x

حال که شیوه محاسبه این تبدیل را فراگرفتیم وقت آن رسیده که آن را بر روی اطلاعات اعمال کرده و آن را بررسی کنیم. نتایج اعمال این تبدیل را به سادگی می توان در هیستوگرام های شکل ۵-۱ مشاهده نمود که اطلاعات تقریباً به صورت توزیع نرمال درآمده اند. حال به سادگی با کمک این قاعده که ۹۵.۴ درصد اطلاعات در توزیع نرمال در بازه ی میانگین و دو برابر انحراف معیار قرار می گیرند، اطلاعاتی که خارج از این محدوده هستند را حذف نمود.



شکل ۵-۹- نمودار تعداد و توزیع این رویدادها نسبت به یکدیگر بعد از انجام تبدیل box-cox

پس از حذف این اطلاعات و جایگزین کردن اطلاعات خارج از محدوده با بزرگ‌ترین نمونه داخل محدوده، شکل ۵-۹ به شکل ۵-۱۰ تبدیل می‌شود. با این روش داده‌های پرت را حذف نمودیم تا بتوانیم مقایسه‌ای عادلانه در میان رانندگان انجام دهیم. در بخش بعدی از این اطلاعات استفاده می‌کنیم تا بتوانیم مدلی برای نمره دهی به رفتار رانندگان پیاده‌سازی کنیم.

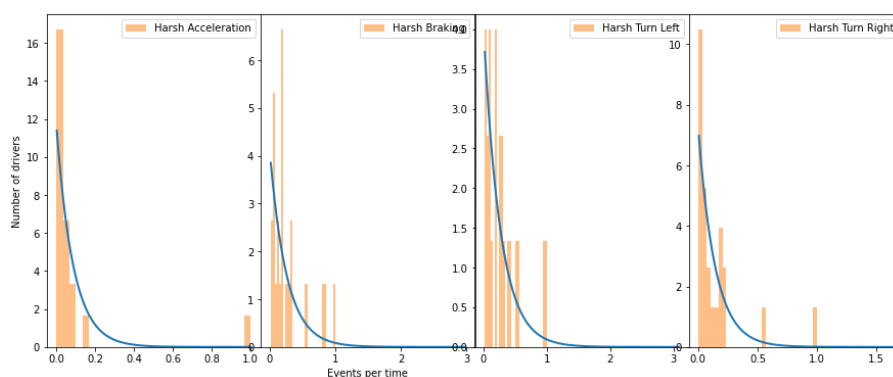


شکل ۵-۱۰- نمودار تعداد و توزیع این رویدادها نسبت به یکدیگر بعد از جایگزین کردن داده‌های پرت

۳-۵ طراحی مدل

فرض اولیه ما هنگام تجزیه و تحلیل این داده‌ها این است که راننده‌ای که رخدادهای خطرناک بیشتری در زمان مشخص تولید کند، به احتمال بیشتری نسبت به راننده‌ای که رخدادهای خطرناک کمتری ایجاد کرده، خطرناک است. همچنین راننده‌ای که خطرناک‌تر است باید نمره کمتری بگیرد و راننده‌ای که خطرناک رانندگی نکرده و ایمن است باید امتیاز بالاتری بگیرد. به همین منظور سعی کردیم راننده را با سایر رانندگان مقایسه کنیم. برای این کار از اطلاعات تمیز شده بخش قبل استفاده کرده و به هر نوع رویداد (ترمز خطرناک، شتابگیری خطرناک، گردش به چپ خطرناک، گردش به راست خطرناک) یک توزیع نسبت دهیم و سپس هر راننده را با میانگین اطلاعات جامعه آماری مقایسه کنیم.

همان‌طور که در هیستوگرام شکل ۵-۱۰ مشاهده می‌شود، در آن‌ها توزیع به گوشه کشیده شده است و شکلی همچون توزیع گاما یا توزیع نمایی به خود گرفته است. پس هر کدام از رخدادها را می‌توان با یک توزیع نمایی مدل کرد و تابع چگالی احتمالی^۱ از جنس توزیع نمایی به هر کدام اختصاص داد.



شکل ۵-۱۱- نمودار اعمال توزیع نمایی به هر کدام از رویدادها

در جدول ۵-۱ میزان مجموع مربعات ناشی^۲ از این تخصیص قابل مشاهده است:

جدول ۵-۱	Harsh Acceleration	Harsh Braking	Harsh Turn Left	Harsh Turn Right
SSE	۴۸۸.۷۴۲۴	۱۷۸.۹۹۶۰	۱۰۵.۴۹۳۲	۱۲۸.۶۰۲۶

^۱ PDF

^۲ sum of squared estimate of errors (SSE)

سپس با کمک تابع چگالی احتمال فوق، تابع توزیع احتمال جمعی^۱ هر رویداد را حساب می‌کنیم تا به بیان واضح‌تر میزان احتمال ایجاد هر رخداد به دست بیاید. در ادامه، قابل فهم‌ترین راهکار این است که برای پیش‌آمد هر رویداد (رفتار راننده‌ها)، میزان این احتمالات را با یکدیگر جمع کنیم تا پارامتری از میزان ایمن بودن افراد به دست آید. به‌طور مثال همان‌طور که در جدول ۵-۲ مشاهده می‌کنید، راننده ۶۳ با امتیاز ۰.۵۴۱۷ ایمن‌ترین راننده است و دلیل آن، تنها وجود تعدادی رخداد ترمزگیری خطرناک است و با توجه به جدول ۵-۳ خطرناک‌ترین راننده، راننده ۴۹ با امتیاز ۳.۰۱۴۴ است.

جدول ۵-۲- لیست ایمن‌ترین رانندگان به‌صورت جمع احتمال

DriverId	Harsh Acceleration_CDF	Harsh Braking_CDF	Harsh Turn Left_CDF	Harsh Turn Right_CDF	metric
63	0.0000	0.5097	0.0000	0.0321	0.5417
14	0.0000	0.4493	0.2089	0.0630	0.7212
80	0.0000	0.3693	0.2399	0.1507	0.7599
75	0.3948	0.0000	0.2972	0.0934	0.7853
6	0.0000	0.0440	0.6650	0.2038	0.9128

جدول ۵-۳- لیست خطرناک‌ترین رانندگان به‌صورت جمع احتمال

DriverId	Harsh Acceleration_CDF	Harsh Braking_CDF	Harsh Turn Left_CDF	Harsh Turn Right_CDF	metric
51	1.0000	0.1867	0.0753	0.9991	2.2611
73	0.0000	0.7186	0.9682	0.9788	2.6657
8	0.5810	0.6100	0.8467	0.7616	2.7993
44	0.1464	0.9541	0.9746	0.7456	2.8207
49	0.5586	0.9627	0.7736	0.7196	3.0144

هرچند شاید این روش ساده به نظر بیاید ولی در عمل بسیار کارآمد است. در صورتی که پارامتر *metric*، عدد صفر را برگرداند به این معنا است که راننده هیچ رویداد خطرناکی ایجاد نکرده است و راننده‌ای که به عدد چهار را برسد به این معنا است که بیشترین میزان ممکن خطا را ایجاد کرده است.

برای بهتر معنی دادن پارامتر *metric* که تعریف شد، این عدد را با یک تابع تبدیل، بین ۰ و ۱۰ آورده و آن را قرینه می‌کنیم تا رانندگانی که عملکرد خطرناک‌تری دارند، امتیاز کمتر بگیرند و مفهوم امتیاز رانندگان بهتر تعریف شود. بدین شکل امتیاز رانندگان محاسبه خواهد شد. در جدول ۵-۴ و جدول ۵-۵ می‌توان امتیاز خطرناک‌ترین و ایمن‌ترین رانندگان را مشاهده نمود.

^۱ CDF

DriverId	Harsh Acceleration_CDF	Harsh Braking_CDF	Harsh Turn Left_CDF	Harsh Turn Right_CDF	metric	score
63	0.0000	0.5097	0.0000	0.0321	0.5417	8.6457
14	0.0000	0.4493	0.2089	0.0630	0.7212	8.1970
80	0.0000	0.3693	0.2399	0.1507	0.7599	8.1002
75	0.3948	0.0000	0.2972	0.0934	0.7853	8.0368
6	0.0000	0.0440	0.6650	0.2038	0.9128	7.7180

جدول ۵-۴- لیست ایمن ترین رانندگان به صورت امتیاز انتقال داده شده

DriverId	Harsh Acceleration_CDF	Harsh Braking_CDF	Harsh Turn Left_CDF	Harsh Turn Right_CDF	metric	score
51	1.0000	0.1867	0.0753	0.9991	2.2611	4.3472
73	0.0000	0.7186	0.9682	0.9788	2.6657	3.3357
8	0.5810	0.6100	0.8467	0.7616	2.7993	3.0018
44	0.1464	0.9541	0.9746	0.7456	2.8207	2.9482
49	0.5586	0.9627	0.7736	0.7196	3.0144	2.4639

جدول ۵-۵- لیست خطرناک ترین رانندگان به صورت امتیاز انتقال داده شده

در این شیوه تحلیل، وزن همه ی رویدادهای خطرناک یکسان در نظر گرفته شده و تفاوتی میان رویدادهای ایجاد شده قائل نمی شود و این ممکن است زیاد برای مقایسه رانندگان منصفانه نباشد؛ اما با مجموعه دادگان فعلی، نمی توان اطلاعات ارزشمندتری کسب نمود، بهتر است مجموعه دادگان دیگری از اطلاعات تصادفات جمع آوری کرده تا وزن دهی میان رویدادهای خطرناک را با توجه به آن به دست آورد. بدین ترتیب هنگام محاسبه امتیاز رانندگان می توان برای مثال تأثیر شتابگیری خطرناک را بیشتر از ترمزگیری خطرناک محاسبه نمود ولی این کار نیازمند پژوهش و اطلاعات بیشتری است.

حال با توجه به توزیع به دست آمده برای بهره گیری آن در عمل و بررسی عملکرد رانندگان جدید باید ابتدا و انتهای حرکت هر راننده را که ذخیره شده به دست آوریم. سپس زمان رانندگی راننده را محاسبه نموده و تعداد رویدادها خطرناکی را که ایجاد نموده محاسبه کنیم تا بردار ویژگی هر راننده محاسبه شود. سپس با توجه به توزیعی که روی دادگان به دست آمد، میزان امتیاز راننده را حساب کنیم.

به طور مثال دو راننده ایمن و خطرناک در نظر بگیرید که ساعت ها رانندگی کرده اند و تعدادی رویداد خطرناک از آن ها در سرور جمع آوری شده و قصد داریم به آن ها امتیاز دهیم. ابتدا زمان رانندگی و تعداد خطاهای رانندگی آن ها را حساب می کنیم که برای راننده ایمن بردار ویژگی معادل:

['Harsh Acceleration':۰,۰۰۵,'Harsh Braking':۰,۰۰۵,'Harsh Turn Left':۰,۰۰۵,'Harsh Turn Right':۰,۰۰۵]

و برای راننده خطرناک بردار ویژگی معادل:

['Harsh Acceleration':۰,۰۵,'Harsh Braking':۰,۰۷,'Harsh Turn Left':۰,۰۳,'Harsh Turn Right':۰,۰۹]

به دست می آید، حال با کمک توزیع بکار گرفته شده، و شیوهی محاسبه امتیاز، نتایج زیر به دست می آید:

جدول ۵-۶- امتیاز ۹.۹ برای راننده ایمن

	Harsh Acceleration	Harsh Braking	Harsh Turn Left	Harsh Turn Right	metric	score
0	0.0307	0.0000	0.0000	0.0026	0.0333	9.9168

جدول ۵-۷- امتیاز ۱ برای راننده خطرناک

	Harsh Acceleration	Harsh Braking	Harsh Turn Left	Harsh Turn Right	metric	score
0	0.9967	0.9297	0.6492	0.9982	3.5738	1.0655

۴-۵ جمع بندی

در این فصل با به-کارگیری مجموعه دادگانی دیگر که اطلاعات رانندگان بیشتری را در اختیار ما قرار می داد، مکانیزمی برای نمره دهی به رانندگان بر اساس تعداد و تنوع رخداد در طول مدت رانندگی، بر اساس توزیع رفتارهای رانندگان پرداختیم و نشان دادیم که رانندگان جدید که اطلاعات خود را به سیستم دریافت و ذخیره سازی اطلاعات، ارسال می کنند را می توان نمره دهی و مقایسه نمود. حال در فصل بعد به انجام آزمایشات متعددی بر روی سیستم طراحی شده در سه فصل اخیر خواهیم پرداخت و عملکرد آن را بررسی خواهیم نمود.

۶ فصل ششم آزمایشات و شبیه سازی

آزمایشات و شبیه سازی

پیش تر، به طراحی مدلی برای تشخیص رخ داده های ایجاد شده توسط رانندگان و پیاده سازی محیطی برای دریافت و ذخیره سازی اطلاعات و انجام فرایند امتیازدهی به رانندگان پرداختیم. در این فصل بخش های فوق را مورد بررسی و آزمایش دقیق تری قرار خواهیم داد. ابتدا مدل تشخیص رخ داده های خطرناک راننده که از دو حسگر شتاب سنج و ژيروسکوپ به دست آمد را بررسی کرده و اهمیت هر کدام از حسگرها را می سنجیم. همچنین ارزیابی می کنیم که کدام یک از حسگرها اطلاعات مفیدتری در اختیار ما قرار می دهد. سپس اهمیت شیوه پنجره بندی به صورت اتفاقی را بررسی کرده و نتایج آن را با حالتی که پنجره بندی به صورت اتفاقی رخ نداده مقایسه می کنیم. در پایان نیز فرایند دریافت و ذخیره سازی اطلاعات را با کمک طراحی یک برنامه که تولنایی ایجاد چندین ارسال کننده اطلاعات به سرور دارد، پیاده سازی کرده تا اتفاقی که هنگام عملی شدن پروژه رخ می دهد را شبیه سازی کنیم.

۱-۶ بررسی اهمیت حسگرها

از بخش اول فصل سوم به یاد داریم، برای تشخیص رخ داده های خطرناک، می بایست سه مرحله را طی کنیم؛ ابتدا فرایند پنجره بندی اتفاقی را انجام دهیم، سپس با کمک الگوریتم DTW میزان شباهت این پنجره ها را از رویدادهای برجسته خورده به دست آوریم و در ادامه با کمک یک درخت تصمیم گیری، مدلی برای تشخیص رویداد به دست آورده و میزان دقت آن را محاسبه کنیم تا با توجه به پارامترهای بکار رفته در پنجره بندی اتفاقی، بهترین مدل انتخاب شود. در بخش قبل این فرایند بر روی اطلاعات حسگرهای شتابسنج و ژيروسکوپ بود. در این بخش قصد داریم فرایند آموزش را به صورت تک به تک برای هر کدام از حسگرها انجام دهیم و نتایج را با مدلی که در فصل قبل طراحی شد، مقایسه کنیم تا به اهمیت هر کدام از حسگرها برای تشخیص هر یک از این رویدادها بپردازیم.

در جدول ۱-۶ می توانیم میزان دقت مدل برای پنجره هایی با طول های ۲۲۶، ۱۲۶، ۱۸۶ با پارامتر احتمال نگاه به عقب و میانگین حرکت به جلوی متفاوت، تنها بر روی اطلاعات حسگر شتاب سنج مشاهده کنیم. میزان دقتی که از این جدول درج شده برابر میانگین دقت $f1$ -score برای اتفاق هر کدام از رخ داده ها است. با بررسی این جدول می توان دریافت بهترین مدل هایی که در این جدول قرار گرفته اند،

میانگین حرکت به جلوی ۰.۰۵ دارند به این معنا که پنجره‌ها با سرعت کمی روی سری زمانی حرکت می‌کنند و پارامتر احتمال نگاه به عقب در آن برای بهترین مدل‌ها برابر ۱۰ و ۲۰ درصد است.

جدول ۱-۶- میزان دقت به ازای مدل‌های آموزش داده‌شده، به ازای پنجره‌های متفاوت بر روی اطلاعات حسگر شتابسنج

F1-score Macro avg on ۲۲۶		μ			
		۰.۰۵	۰.۱	۰.۱۵	۰.۲
$Prob^{neg}$	%۱۰	۸۰	۷۰	۶۹	۶۹
	%۲۰	۷۷	۷۱	۷۵	۷۰
	%۳۰	۷۶	۷۶	۷۶	۷۴
F1-score Macro avg on ۱۲۶		μ			
		۰.۰۵	۰.۱	۰.۱۵	۰.۲
$Prob^{neg}$	%۱۰	۷۱	۶۸	۷۱	۷۲
	%۲۰	۷۶	۶۸	۶۶	۷۰
	%۳۰	۷۳	۷۲	۷۰	۷۰
F1-score Macro avg on ۱۸۶		μ			
		۰.۰۵	۰.۱	۰.۱۵	۰.۲
$Prob^{neg}$	%۱۰	۸۸	۹۰	۸۵	۸۶
	%۲۰	۹۲	۹۰	۸۶	۸۷
	%۳۰	۹۰	۸۴	۸۷	۸۵

مقادیر شیوه یافتن بهترین مدل در مقایسه با جدول ۳-۱۰ (نتایج دقت ناشی از هر دو حسگر شتابسنج وژیروسکوپ در فصل قبل) برای نوع میانگین حرکت متحرک یکسان و برابر ۰.۰۵ است ولی احتمال نگاه

به عقب برای بهترین مدل‌ها، کمی متفاوت است، بر اساس جدول ۳-۱۰ بهترین مدل برای پنجره‌هایی به طول ۲۲۶، عدد ۳۰ درصد بوده، درحالی‌که در اینجا برابر ۱۰ درصد شده است، به‌طور مشابه، برای پنجره‌هایی به طول ۱۲۶ و ۱۸۶ نیز به ترتیب از ۱۰ درصد و ۳۰ درصد به ۲۰ درصد تغییر یافته به این معنا که برای یافتن بهترین مدل باید احتمال نگاه به عقب‌های متفاوت را به‌طور کامل بررسی نمود. چراکه می‌تواند به‌صورت مستقیم بر مدل انتخابی تأثیر بگذارد.

حال به سراغ مقایسه دقت‌ها می‌رویم و بهترین مدل از هر کدام را با یکدیگر مقایسه می‌کنیم؛

در پنجره‌هایی به طول ۲۲۶ که به دنبال رویدادهای شتابگیری خطرناک، چرخش به چپ و راست خطرناک هستیم، با توجه به جدول ۳-۱۰، دقت کلی ۸۴ درصد داریم که با نگاه دقیق‌تر در جدول ۳-۱۱-الف، میزان دقت f^1 -score برای رویداد چرخش به چپ خطرناک ۸۳ درصد و رویداد گردش به‌راست خطرناک ۹۱ درصد و رویداد شتابگیری خطرناک ۶۹ درصد بوده، این درحالی‌که است که همان‌طور که در جدول ۶-۲-الف مشاهده می‌کنید، این اعداد به ترتیب به ۷۶، ۸۳ و ۶۱ درصد کاهش یافته است. دلیل این کاهش دقت را می‌توان به عدم استفاده از اطلاعات حسگر ژيروسکوپ نسبت داد.

در پنجره‌هایی به طول ۱۲۶ که به دنبال رویدادهای تغییرلاین خطرناک به چپ و راست هستیم، با توجه به جدول ۳-۱۰، دقت کلی ۸۱ درصد داریم که با نگاه دقیق‌تر در جدول ۳-۱۱-ب، میزان دقت f^1 -score برای رویداد تغییرلاین به چپ خطرناک ۷۳ درصد و رویداد تغییرلاین به راست خطرناک ۶۹ درصد بوده، این درحالی‌که است که همان‌طور که در جدول ۶-۳-ب مشاهده می‌کنید، این اعداد به ترتیب به ۷۰ و ۵۷ درصد تغییر یافته است. دلیل این کاهش دقت را می‌توان به عدم استفاده از اطلاعات حسگر ژيروسکوپ نسبت داد ولی همان‌طور که قابل‌بررسی است این کاهش دقت زیاد نیست، این را این‌گونه می‌توان تفسیر کرد که میزان عملکرد اطلاعات حسگر شتابسنج در مقابل با حسگر ژيروسکوپ در تشخیص رخدادها تعویض لاین به راست و تعویض لاین به چپ بیشتر است.

در پنجره‌هایی به طول ۱۸۶ که به دنبال رویدادهای ترمزگیری خطرناک هستیم، با توجه به جدول ۳-۱۰، دقت کلی ۹۰ درصد داریم که با نگاه دقیق‌تر در جدول ۳-۱۱-ج، میزان دقت f^1 -score برای رویداد ترمزگیری خطرناک ۸۱ درصد بوده، این درحالی‌که است که همان‌طور که در جدول ۶-۲-ج مشاهده می‌کنید، این به ۸۴ درصد افزایش یافته است. این افزایش را این‌گونه می‌توان تفسیر کرد که

میزان عملکرد اطلاعات حسگر ژيروسکوپ در تشخیص رخداد های ترمزگیری خطرناک منجر به کاهش دقت می شود و از اطلاعات این سنسور نباید بهره گرفت.

جدول ۶-۲- اطلاعات دقیق میزان دقت نقاط برگزیده شده در جدول ۶-۱

-----window is 226-----					
		precision	recall	f1-score	support
الف	NAG	0.97	0.99	0.98	3762
	aceleracao_agressiva	0.87	0.47	0.61	131
	curva_direita_agressiva	0.83	0.82	0.83	104
	curva_esquerda_agressiva	0.86	0.69	0.76	108
	accuracy			0.96	4105
	macro avg	0.88	0.74	0.80	4105
	weighted avg	0.96	0.96	0.96	4105
-----window is 126-----					
		precision	recall	f1-score	support
ب	NAG	0.99	1.00	1.00	7289
	troca_faixa_direita_agressiva	0.96	0.40	0.57	62
	troca_faixa_esquerda_agressiva	0.90	0.57	0.70	47
	accuracy			0.99	7398
	macro avg	0.95	0.66	0.76	7398
	weighted avg	0.99	0.99	0.99	7398
-----window is 186-----					
		precision	recall	f1-score	support
ج	NAG	1.00	1.00	1.00	4880
	freada_agressiva	0.88	0.80	0.84	116
	accuracy			0.99	4996
	macro avg	0.94	0.90	0.92	4996
	weighted avg	0.99	0.99	0.99	4996

حال که مدل را تنها با اطلاعات حسگر شتاب سنج بررسی کردیم و به نتایج جالبی دست یافتیم وقت آن رسیده که همین کار را با اطلاعات حسگر ژيروسکوپ انجام دهیم. در جدول ۶-۳ می توانیم میزان دقت مدل برای پنجره هایی با طول های ۲۲۶، ۱۲۶، ۱۸۶ با پارامتر احتمال نگاه به عقب و میانگین حرکت به جلوی متفاوت بر روی اطلاعات حسگر شتاب سنج مشاهده کنیم. از مقایسه مقادیر نوع یافتن بهترین مدل این بخش در مقایسه با جدول ۳-۱۰، می توان دریافت که نوع انتخاب بهترین مدل با آن جدول دقیقاً یکسان است که این گونه می توان تفسیر کرد که این اطلاعات در انتخاب بهترین مدل نسبت به اطلاعات ژيروسکوپ مؤثرتر هستند.

جدول ۳-۶- میزان دقت به ازای مدل های آموزش داده شده، به ازای پنجره های متفاوت بر روی اطلاعات حسگر ژيروسکوپ

F1-score Macro avg on ۲۲۶		μ			
		۰.۰۵	۰.۱	۰.۱۵	۰.۲
$Prob^{neg}$	%۱۰	۷۲	۷۲	۶۵	۶۴
	%۲۰	۷۲	۶۷	۶۷	۶۶
	%۳۰	۷۴	۷۶	۷۳	۷۳
F1-score Macro avg on ۱۲۶		μ			
		۰.۰۵	۰.۱	۰.۱۵	۰.۲
$Prob^{neg}$	%۱۰	۷۷	۶۶	۷۵	۶۸
	%۲۰	۷۲	۶۷	۶۴	۷۰
	%۳۰	۷۱	۷۰	۷۹	۶۸
F1-score Macro avg on ۱۸۶		μ			
		۰.۰۵	۰.۱	۰.۱۵	۰.۲
$Prob^{neg}$	%۱۰	۷۳	۶۵	۶۸	۷۳
	%۲۰	۷۶	۶۹	۶۸	۶۲
	%۳۰	۷۸	۷۷	۶۶	۶۸

حال به سراغ مقایسه دقت ها می رویم و بهترین مدل از هر کدام را با یکدیگر مقایسه می کنیم؛

در پنجره هایی به طول ۲۲۶ که به دنبال رویدادهای شتابگیری خطرناک، چرخش به چپ و راست خطرناک هستیم، با توجه به جدول ۳-۱۰، دقت کلی ۸۴ درصد داریم که با نگاه دقیق تر در جدول ۳-۱۱-الف، میزان دقت f_1 برای رویداد چرخش به چپ خطرناک ۸۳ درصد و رویداد گردش به راست

خطرناک ۹۱ درصد و رویداد شتابگیری خطرناک ۶۹ درصد بوده، این درحالی که است که همان طور که در جدول ۴-۶-۴ الف مشاهده می کنید، این اعداد به ترتیب به ۸۰، ۷۰ و ۵۰ تغییر یافته است. این که در این مدل نتوانیم اطلاعات مربوط به شتاب گیری را تشخیص دهیم و کاهش دقت این قدر محسوس باشد بسیار طبیعی است چرا که این حسگر توانایی محاسبه نیروهای افقی را ندارد و این که میزان دقت در رویدادهای گردشی متناسب است، به این معنا است، در صورتی که بتوان به خوبی این اطلاعات را با اطلاعات حسگر شتابسنج ترکیب نمود، می توان به نتایج بهتری دست یافت.

در پنجره هایی به طول ۱۲۶ که به دنبال رویدادهای تغییر لاین خطرناک به چپ و راست هستیم، با توجه به جدول ۳-۱۰، دقت کلی ۸۱ درصد داریم که با نگاه دقیق تر در جدول ۳-۱۱-ب، میزان دقت f^۱-score برای رویداد تغییر لاین به چپ خطرناک ۷۳ درصد و رویداد تغییر لاین به راست خطرناک ۶۹ درصد بوده، این درحالی که است که همان طور که جدول ۴-۶-۴-ب مشاهده می کنید، این اعداد به ترتیب به ۶۶ و ۶۷ درصد کاهش یافته است. دلیل این کاهش دقت را می توان به عدم استفاده از اطلاعات حسگر شتابسنج نسبت داد

در پنجره هایی به طول ۱۸۶ که به دنبال رویدادهای ترمزگیری خطرناک هستیم، با توجه به جدول ۳-۱۰، دقت کلی ۹۰ درصد داریم که با نگاه دقیق تر در جدول ۳-۱۱-ج، میزان دقت f^۱-score برای رویداد ترمزگیری خطرناک ۸۱ درصد بوده، این درحالی که است که همان طور که در جدول ۴-۶-۴-ج مشاهده می کنید، این به ۵۸ درصد کاهش یافته است. به طور مشابه یا رویداد شتابگیری خطرناک، رویداد ترمزگیری خطرناک نیز رویدادی است که نمی توان با این حسگر یافت، پس انتظار دقت بالایی نیز نداشته ایم.

با بررسی هر کدام از حسگرها می توان به مجموعه اطلاعات جالبی دست یافت ولی به لحاظ بررسی اهمیت می توان گفت که حسگر شتابسنج از اهمیت بیشتری برخوردار است، چرا که با کمک آن می توان رویدادها را با دقت معمولی به دست آورد که با کمک اضافه کردن اطلاعات حسگر ژيروسکوپ میزان دقت را افزایش داد. درحالی که با تنها اطلاعات سنسور ژيروسکوپ می توان دو رویداد چرخش به چپ و راست را با دقت قابل قبولی تشخیص داد. ولی بهترین پیاده سازی استفاده از هر دو حسگر است.

جدول ۶-۴- اطلاعات دقیق میزان دقت نقاط برگزیده شده در جدول ۳-۱۰

-----window is 226-----					
		precision	recall	f1-score	support
الف	NAG	0.96	0.99	0.98	3736
	aceleracao_agressiva	0.73	0.38	0.50	128
	curva_direita_agressiva	0.81	0.61	0.70	90
	curva_esquerda_agressiva	0.90	0.72	0.80	98
	accuracy			0.96	4052
	macro avg	0.85	0.68	0.74	4052
	weighted avg	0.95	0.96	0.95	4052
-----window is 126-----					
		precision	recall	f1-score	support
ب	NAG	0.99	1.00	1.00	7297
	troca_faixa_direita_agressiva	0.97	0.51	0.67	63
	troca_faixa_esquerda_agressiva	0.89	0.52	0.66	46
	accuracy			0.99	7406
	macro avg	0.95	0.68	0.77	7406
	weighted avg	0.99	0.99	0.99	7406
-----window is 186-----					
		precision	recall	f1-score	support
ج	NAG	0.99	1.00	0.99	4823
	freada_agressiva	0.81	0.45	0.58	114
	accuracy			0.98	4937
	macro avg	0.90	0.72	0.78	4937
	weighted avg	0.98	0.98	0.98	4937

۲-۶ نتایج استفاده از پنجره بندی اتفاقی

همان طور که در فصل پیش بیان شد، سعی شد برای مکانیزم پنجره بندی، از نحوه نگاه کردن انسان به سری های زمانی ایده گرفته شود. این کار با کمک ۲ پارامتر میانگین سرعت حرکت به جلو و احتمال نگاه به عقب انجام شد. با دقت در پارامتر میانگین سرعت حرکت به جلو پنجره، برای بهترین مدل های به دست آمده در بخش قبل (حسگرها به صورت تکی) و فصل قبل (مدل طراحی شده با هر دو حسگر) متوجه می شویم که بهترین پارامتر میانگین سرعت حرکت به جلو برابر ۰.۰۵ است، به این معنا که در صورتی طول پنجره ۱۰۰ باشد، به صورت میانگین ۵ نمونه به جلو حرکت می کنیم. حالا در این بخش به جای استفاده از متغیر تصادفی که به صورت اتفاقی سیگنال را بررسی کند و به عقب و جلو نگاه بی اندازد به صورت ثابت پنجره را حرکت می دهیم بدین شکل که مشابه قبل سه پنجره با طول های ثابت را

با همان پارامتر ۰.۰۵ روی سیگنال حرکت می‌دهیم و سعی می‌کنیم دقت مدل را مانند روش‌های پیشین محاسبه کنیم، در جدول ۵-۶ می‌توانیم نتایج دقت برای این مدل از پنجره‌بندی را مشاهده کنیم.

جدول ۵-۶- میزان دقت در صورتی که از پنجره‌بندی اتفاقی استفاده نکنیم

-----window is 226-----					
		precision	recall	f1-score	support
الف	NAG	0.97	0.99	0.98	3762
	aceleracao_agressiva	0.87	0.47	0.61	131
	curva_direita_agressiva	0.83	0.82	0.83	104
	curva_esquerda_agressiva	0.86	0.69	0.76	108
	accuracy			0.96	4105
	macro avg	0.88	0.74	0.80	4105
	weighted avg	0.96	0.96	0.96	4105
-----window is 126-----					
		precision	recall	f1-score	support
ب	NAG	0.99	1.00	0.99	7297
	troca_faixa_direita_agressiva	0.86	0.48	0.61	63
	troca_faixa_esquerda_agressiva	0.62	0.43	0.51	46
	accuracy			0.99	7406
	macro avg	0.82	0.64	0.71	7406
	weighted avg	0.99	0.99	0.99	7406
-----window is 186-----					
		precision	recall	f1-score	support
ج	NAG	0.99	1.00	0.99	4882
	freada_agressiva	0.91	0.65	0.76	137
	accuracy			0.99	5019
	macro avg	0.95	0.82	0.88	5019
	weighted avg	0.99	0.99	0.99	5019

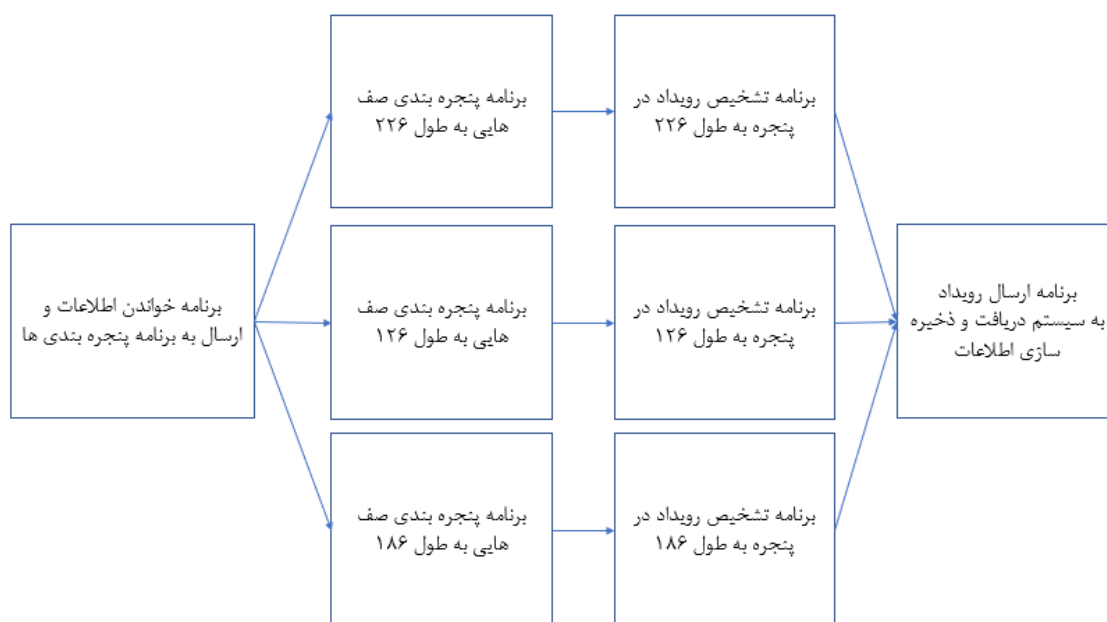
همان‌طور که قابل بررسی است در صورتی که از پنجره‌بندی اتفاقی استفاده نکنیم و سعی کنیم مدل را به صورت مستقیم بهره‌گیری کنیم، دقت به طور عمومی کاهش می‌یابد با نگاه دقیق‌تر و مقایسه جدول ۱۱-۳ و جدول ۵-۶ دقت f1-score برای داده‌های شتابگیری از ۶۹ درصد به ۶۱ درصد کاهش یافته برای دادگان گردش به راست ۸۷ درصد به ۸۳ درصد و گردش به چپ از ۸۳ درصد به ۷۶ درصد کاهش یافته است. به طور مشابه از مقایسه این دو جدول برای ردیف ب، می‌توان دریافت که میزان دقت برای رخداد تعویض لاین خطرناک به سمت راست از ۶۹ به ۶۱ درصد و تعویض لاین خطرناک به سمت چپ از ۷۳ درصد به ۵۱ درصد کاهش یافته است و در پایان برای پنجره‌هایی به طول ۱۸۶ که در ردیف ج جدول‌ها قرار گرفته‌اند، دقت ترمزگیری خطرناک از ۸۱ درصد به ۷۶ درصد کاهش یافته است. پس پرواضح است که

در صورتی که از این روش برای فرآیند آموزش استفاده نکنیم دقت کاهش محسوسی برای همه‌ی رویدادها حاصل می‌شود و انجام این حرکت تصادفی می‌تواند منجر به افزایش دقت مدل طراحی شده می‌شود.

۳-۶ شبیه‌سازی فرایند تشخیص و ارسال اطلاعات به ابرمحاسباتی

در فصل قبل به پیاده‌سازی سیستمی برای دریافت و ذخیره‌سازی اطلاعات بر بستر کانتینرهای داکر پرداختیم ولی آن را مورد تست قرار ندادیم، برای بررسی نحوه عملکرد سیستم دریافت و ذخیره‌سازی اطلاعات، یک شبیه‌ساز سیستم درون خودروها طراحی شد که در آن واحد بتواند به تعداد دلخواه راننده ایجاد کند و اطلاعات را بررسی کرده و به سرور ارسال کند. طراحی این بخش به‌نوعی شبیه‌سازی نوشتن برنامه‌ای است که باید بر روی سخت‌افزارها انجام شود. این شبیه‌سازی با زبان پایتون نوشته شده که به قابلیت به‌کارگیری و تست بر روی سخت‌افزارهایی همچون رزبری پای را دارد.

برای طراحی این نرم‌افزار از مکانیزم برنامه‌نویسی چند رشته‌ای استفاده شد. بدین شکل به ازای هر راننده برنامه‌هایی که در شکل ۶-۱ مشاهده می‌کنید اجرا خواهد شد. در ادامه جزئیات هر بخش از این برنامه بررسی خواهد شد.



شکل ۶-۱- برنامه‌ای که برای تست سیستم دریافت و ذخیره‌سازی اطلاعات به ازای هر راننده ساخته می‌شود.

ابتدا برنامه‌ای فعال می‌شود که اطلاعات را از حسگرها خوانده و به برنامه‌های پنجره‌بندی ارسال می‌کند.^۱ در ادامه سه برنامه پنجره‌بندی برای طول پنجره‌های متفاوت ساخته شده که اطلاعات قرائت شده را متناسب با پارامتر λ که در فصل قبل تعریف و به دست آمد پیاده‌سازی می‌کند. این برنامه صبر می‌کند تا پنجره‌ها تکمیل شوند و هنگامی که پنجره‌ها تکمیل شد آن‌ها را به برنامه تشخیص رویداد مربوط به خود منتقل می‌کنند. پس از انتقال این رویداد، متناسب با پارامتر λ بهینه، تعدادی از نمونه‌ها حذف شده و مجدد صبر می‌شود تا نمونه‌ها درون پنجره پر شوند. در شکل ۶-۲ می‌توان رخداد فوق را برای پنجره به طول ۲۲۶ و پارامتر λ برابر ۰.۵ مشاهده کرد.



شکل ۶-۲- نحوه کنترل پنجره‌ها بر روی سری زمانی

در ادامه برنامه تشخیص رویداد متناسب با طول هر پنجره متناسب با درخت تصمیم‌گیری که در فصل قبل آموزش دادیم این برچسب مربوطه به پنجره تشخیص داده می‌شود و در صورتی که درون پنجره رویداد خطرناکی تشخیص داده شود، به برنامه انتقال به سیستم ذخیره‌سازی اطلاعات منتقل می‌شود. بدین شکل می‌توانیم انتقال اطلاعات به سرور را شبیه‌سازی کنیم، در ادامه روند انتقال اطلاعات به سرور را بررسی می‌کنیم.

برای مدیریت بهتر اطلاعات در سرور و مشخص کردن زمان شروع زمان سفر و زمان پایان سفر در ابتدا و انتهای سفر بسته‌هایی با فرمت شکل به سرور ارسال می‌کنیم:

^۱ این بخش به صورت شبیه سازی انجام شد و اطلاعات با فاصله زمانی های مشخصی از حافظه خوانده و به برنامه پنجره بندی منتقل شد.

```
rabbitmq Starting RabbitMQ 3.8.8 on Erlang 23.0.4
rabbitmq Copyright (c) 2007-2020 VMware, Inc. or its affiliates.
rabbitmq Licensed under the MPL 2.0. Website: https://rabbitmq.com
rabbitmq
rabbitmq ## ##      RabbitMQ 3.8.8
rabbitmq ## ##
rabbitmq ##### Copyright (c) 2007-2020 VMware, Inc. or its affiliates.
rabbitmq ##### ##
rabbitmq ##### Licensed under the MPL 2.0. Website: https://rabbitmq.com
rabbitmq
rabbitmq Doc guides: https://rabbitmq.com/documentation.html
rabbitmq Support:   https://rabbitmq.com/contact.html
rabbitmq Tutorials: https://rabbitmq.com/getstarted.html
rabbitmq Monitoring: https://rabbitmq.com/monitoring.html
rabbitmq
rabbitmq Logs: <stdout>
rabbitmq
rabbitmq Config file(s): /etc/rabbitmq/rabbitmq.conf
rabbitmq
rabbitmq Starting broker...2021-02-26 12:19:46.247 [info] <0.269.0>
```


پس از تکمیل و بالا آمدن سرویس دهنده، می توانیم برنامه مربوط به شبیه سازی تشخیص و پیاده سازی رویدادها را که پیش تر معرفی کردیم اجرا کنیم. خروجی این برنامه بسته هایی به سمت سرویس دهنده است که در شکل ۵-۶ می توانیم نمونه این بسته ها را برای راننده شماره ۱۷ مشاهده کنیم.

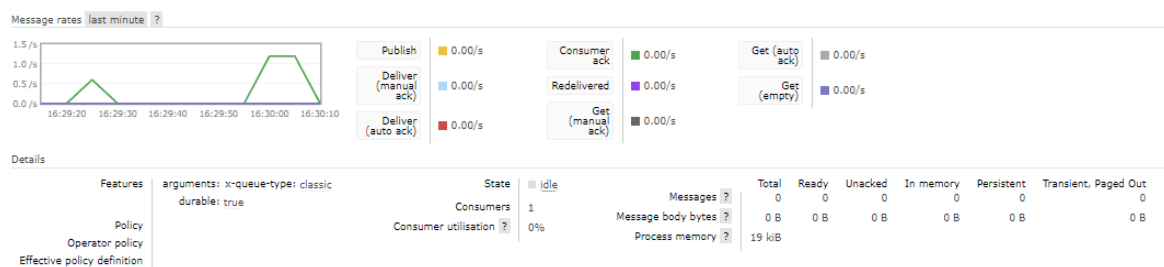
```
C:\Users\hosse\Project\4-Embedded-Simulator>python main.py
{"driver_id":17,"timestamp":1614342292,"event":"started"}
{"driver_id":17,"timestamp":1614342292,"event":"started"}
{"driver_id":17,"timestamp":1614342292,"event":"started"}
{"driver_id":17,"timestamp":"1970-01-01 00:00:14.378000","event":"Harsh_ChangeLine_Left"}
{"driver_id":17,"timestamp":"1970-01-01 00:00:15.006000","event":"Harsh_ChangeLine_Left"}
{"driver_id":17,"timestamp":"1970-01-01 00:00:23.801000","event":"Harsh_ChangeLine_Left"}
{"driver_id":17,"timestamp":"1970-01-01 00:00:27.571000","event":"Harsh_ChangeLine_Left"}
{"driver_id":17,"timestamp":"1970-01-01 00:02:24.497000","event":"Harsh_Break"}
{"driver_id":17,"timestamp":"1970-01-01 00:02:25.400000","event":"Harsh_Break"}
{"driver_id":17,"timestamp":"1970-01-01 00:02:34.431000","event":"Harsh_Break"}
{"driver_id":17,"timestamp":"1970-01-01 00:02:35.334000","event":"Harsh_Break"}
{"driver_id":17,"timestamp":"1970-01-01 00:02:47.976000","event":"Harsh_Break"}
{"driver_id":17,"timestamp":"1970-01-01 00:02:48.879000","event":"Harsh_Break"}
{"driver_id":17,"timestamp":"1970-01-01 00:02:49.782000","event":"Harsh_Break"}
{"driver_id":17,"timestamp":"1970-01-01 00:03:42.157000","event":"Harsh_Break"}
{"driver_id":17,"timestamp":"1970-01-01 00:03:43.066000","event":"Harsh_Break"}
{"driver_id":17,"timestamp":"1970-01-01 00:03:43.963000","event":"Harsh_Break"}
{"driver_id":17,"timestamp":"1970-01-01 00:03:44.866000","event":"Harsh_Break"}
{"driver_id":17,"timestamp":"1970-01-01 00:03:46.476000","event":"Harsh_Turn_Right"}
{"driver_id":17,"timestamp":"1970-01-01 00:03:49.774000","event":"Harsh_acceleration"}
{"driver_id":17,"timestamp":"1970-01-01 00:03:56.605000","event":"Harsh_Break"}
{"driver_id":17,"timestamp":"1970-01-01 00:03:57.508000","event":"Harsh_Break"}
{"driver_id":17,"timestamp":"1970-01-01 00:03:58.411000","event":"Harsh_Break"}
{"driver_id":17,"timestamp":"1970-01-01 00:03:59.668000","event":"Harsh_Turn_Right"}
{"driver_id":17,"timestamp":"1970-01-01 00:04:11.053000","event":"Harsh_Break"}
{"driver_id":17,"timestamp":"1970-01-01 00:04:11.957000","event":"Harsh_Break"}
{"driver_id":17,"timestamp":"1970-01-01 00:04:12.860000","event":"Harsh_Break"}
{"driver_id":17,"timestamp":"1970-01-01 00:04:16.157000","event":"Harsh_acceleration"}
{"driver_id":17,"timestamp":"1970-01-01 00:05:07.826000","event":"Harsh_acceleration"}
{"driver_id":17,"timestamp":"1970-01-01 00:05:08.926000","event":"Harsh_acceleration"}
{"driver_id":17,"timestamp":"1970-01-01 00:05:10.024000","event":"Harsh_acceleration"}
{"driver_id":17,"timestamp":"1970-01-01 00:06:03.893000","event":"Harsh_acceleration"}
{"driver_id":17,"timestamp":"1970-01-01 00:06:04.992000","event":"Harsh_acceleration"}
{"driver_id":17,"timestamp":"1970-01-01 00:06:06.091000","event":"Harsh_acceleration"}
{"driver_id":17,"timestamp":"1970-01-01 00:06:22.581000","event":"Harsh_acceleration"}
{"driver_id":17,"timestamp":"1970-01-01 00:06:23.680000","event":"Harsh_acceleration"}
{"driver_id":17,"timestamp":"1970-01-01 00:06:24.779000","event":"Harsh_acceleration"}
{"driver_id":17,"timestamp":"1970-01-01 00:06:25.879000","event":"Harsh_acceleration"}
{"driver_id":17,"timestamp":"1970-01-01 00:06:40.169000","event":"Harsh_acceleration"}
{"driver_id":17,"timestamp":1614342866,"event":"Ended"}
9.607040977478027 min
```

شکل ۵-۶ بسته های ارسالی راننده ۱۷ به سیستم دریافت و ذخیره سازی اطلاعات

در ادامه در شکل ۵-۶ که مربوط به پنل مدیریت در RabbitMQ است، می توانیم نمودار دریافت اطلاعات مربوطه را برای راننده ۱۷ که نزدیک به ۱۰ دقیقه رانندگی کرده است را مشاهده کنیم.

در پایان نیز با اتصال مستقیم به پایگاه داده Redis با اجرای دستور redis-cli سعی می کنیم به آن دسترسی پیدا کنیم. سپس با اجرای دستور * KEYS می توانیم تمامی کلیدهای (رانندگانی) که در این پایگاه داده وجود دارند را مشاهده کنیم، سپس می توانیم با دستور HGETALL تمامی رخدادهایی

که توسط راننده ۱۷ تولیدشده را بررسی کنیم. در شکل ۶-۷، می توان رخدادهای ذخیره شده برای راننده شماره ۱۷ را در پایگاه داده Redis را مشاهده کرد.



شکل ۶-۶- پنل مدیریتی نرم افزار RabbitMQ حین دریافت اطلاعات از راننده شماره ۱۷

```
127.0.0.1:6379> HGETALL 17
1) "1610893478"
2) "started"
3) "1970-01-01 00:00:14.378000"
4) "Harsh_ChangeLine_Left"
5) "1970-01-01 00:00:15.006000"
6) "Harsh_ChangeLine_Left"
7) "1970-01-01 00:00:23.801000"
8) "Harsh_ChangeLine_Left"
9) "1970-01-01 00:00:27.571000"
10) "Harsh_ChangeLine_Left"
11) "1970-01-01 00:02:24.497000"
12) "Harsh_Break"
13) "1970-01-01 00:02:25.400000"
14) "Harsh_Break"
15) "1970-01-01 00:02:34.431000"
16) "Harsh_Break"
17) "1970-01-01 00:02:35.334000"
18) "Harsh_Break"
19) "1970-01-01 00:02:47.976000"
20) "Harsh_Break"
21) "1970-01-01 00:02:48.879000"
22) "Harsh_Break"
23) "1970-01-01 00:02:49.782000"
24) "Harsh_Break"
25) "1970-01-01 00:03:42.157000"
26) "Harsh_Break"
27) "1970-01-01 00:03:43.060000"
28) "Harsh_Break"
29) "1970-01-01 00:03:43.963000"
```

شکل ۶-۷- نمونه رخدادهای ذخیره شده برای راننده شماره ۱۷ در پایگاه داده

۶-۴ مقایسه پژوهش فعلی با سایرین

از میان کارهای پیشین انجام شده که در فصل ۱ آمد، اطلاعات بکار رفته در دو پژوهش [۲۶] و [۲۷] که برای تشخیص رخدادهای خطرناک بر روی اطلاعات حسگرهای شتابسنج وژیروسکوپ است، با مجموعه دادگان این پژوهش یکسان می باشد و توانایی مقایسه شدن با کار ما را دارد.

در [۲۶] که با کمک پنجره بندی ای ساده، تنها با محاسبه متغیرهای آماری هر پنجره همچون واریانس، میانگین هر پنجره، و ضریبی از میانگین پنجره قبل سعی می کند با کمک طبقه بندی کننده های مختلف همچون شبکه عصبی، SVM و شبکه های بیزین رخدادهای خطرناک رانندگی را تشخیص دهد. که بیشترین دقت را یک با شبکه های عصبی با ۲ لایه مخفی و طول پنجره ای با ۲۰۰ نمونه تشخیص دهد. همچنین اهمیت سنسورهای بکار رفته در این پژوهش را بررسی کرده که بر اساس نتایج به این نکته دست یافته که میزان اهمیت حسگرهای شتابسنج وژیروسکوپ نسبت به مگنومتر بیشتر بوده و مدل بر اساس این دو حسگر رخدادهای را تشخیص می دهند.

در [۲۷] شروع به پنجره بندی بر سیگنال های شتابسنج،ژیروسکوپ و مگنومتر کرده و بجای اینکه بردارهای ویژگی هر پنجره محاسبه شود، اطلاعات خام حسگرها به شبکه های عصبی بازگشتی داده شده و سعی شده که با کمک شبکه های SimpleRNN،GRU و LSTM رخدادهای خطرناک رانندگی تشخیص داده شوند. که نتیجه کلی هر یک از شبکه ها به ترتیب ۹۴، ۷۰، ۹۵ درصد است. که شبکه عصبی LSTM با ۱۰ نرون بیشترین دقت را داشته است.

برتری این پژوهش نسبت به دو پژوهش فوق به شرح زیر است:

- ۱- ارائه یک شیوه جدید پنجره بندی که منجر به افزایش دقت شده و میتواند حتی در تکنیک های شبکه عصبی نیز مورد استفاده قرار گیرد و نتایج را بهبود ببخشد.
- ۲- طراحی مدلی متناسب با در نظر گرفتن زمان پردازش حین بکارگیری در عمل به نحوی که سیستم بتواند در زمان واقعی رخدادهای خطرناک رانندگی را تشخیص دهد.
- ۳- توانایی تشخیص رخدادهای رانندگی دیگری همچون حرکت مارپیچ و دور زدن کامل،.... که این در صورتی محقق خواهد شد که اطلاعات مربوطه را جمع آوری کنیم چرا که الگوریتم DTW میزان

شباهت الگوها را بررسی می‌کند و در صورتی که برچسب رخدادهای فوق را داشته باشیم می‌توانیم آن‌ها را به سادگی با روش ارائه شده در این پژوهش بدست آوریم.

۴- همچنین در این پژوهش روند بررسی رفتار راننده از تشخیص رخداد تا تجميع اطلاعات در سرور، و بررسی رفتار رانندگان انجام شد که دو گام نسبت به پژوهش‌های فوق فراتر رفته است.

همچنین می‌توان در مدل ارائه شده در این پژوهش، در بخش برچسب زدن پنجره‌ها پارامتری به مسئله اضافه کرد تا میزان اشتراک پنجره‌ها در نظر بگیرد، در حال حاضر در صورتی که پنجره رونده روی سیگنال با رخداد مربوطه اشتراک داشته باشند، پنجره مورد بررسی برچسب می‌خورد. این در حالی است، اگر تعریف کنیم، در صورتی که پنجره با رخداد واقعی حداقل ۵۰ درصد تداخل داشته باشند، و سپس برچسب خورده شود، دقت مدل حدود ۱۰ درصد افزایش می‌یابد و از دقت مدل شبکه عصبی نیز بهتر می‌شود. ولی بدلیل پیچیدگی در در بهینه‌سازی این پارامتر، این متغیر به مسئله اضافه نشد.

۵-۶ جمع‌بندی فصل چهارم

در این بخش به بررسی و آزمودن بخش‌های مختلف پروژه پرداختیم، ابتدا اهمیت هر کدام از حسگرها را با بررسی فرایند آموزش بر روی اطلاعات تنها یک حسگر انجام دادیم و دریافتیم که حسگر شتابسنج اهمیت بیشتری دارد. سپس با انجام آزمایشی دیگر بر روی اطلاعات هر دو حسگر، فرایند آموزش را بدون به کارگیری پنجره‌بندی اتفاقی انجام دادیم و اثر آن را در تشخیص هر رخداد مشاهده نمودیم. در پایان نیز با کمک یک برنامه شبیه‌سازی، نحوه عملکرد سیستم دریافت و ذخیره‌سازی اطلاعات را در ابرمحاسباتی بررسی کردیم؛ و بسته‌هایی که یک راننده نمونه به این سیستم ارسال می‌کند را ارزیابی کردیم.

۷ فصل هفتم

نتیجه گیری و پیشنهادها

۷-۱ نتیجه گیری

در این رساله ما یک سیستم کامل برای پیاده سازی در شرکت های بیمه ای، استفاده در پلیس راهنمایی و رانندگی و شرکت های حمل و نقل ارائه کردیم که با به کارگیری آن بتوان میزان ایمن بودن رانندگی افراد را سنجید و در یک شرکت بیمه ای، برای تعیین حق بیمه، در یک سیستم عادلانه متناسب با نوع رانندگی افراد برای آن ها مبلغ، تعیین نمود تا بتوان رانندگان را با انجام این روش به رانندگی ایمن تشویق کرده تا جاده ها و خیابان هایی ایمن تر ایجاد شود و آمار تصادفات شهری و تلفات جاده ای را کاهش یابد. برای این کار ابتدا مدلی با به کارگیری حسگرهای شتابسنج و ژيروسکوپ طراحی شد که میزان رخدادهای خطرناک رانندگی با دقتی قابل قبول تشخیص دهند. رخدادهایی همچون گردش به راست خطرناک با سفت ۹۱ درصد (۸۷ درصد)^۱، گردش به چپ خطرناک با دقت ۹۵ درصد (۸۳ درصد)، شتابگیری خطرناک با دقت ۷۸ درصد (۶۹ درصد)، ترمزگیری خطرناک با دقت ۹۱ درصد (۷۳ درصد)، تعویض لاین خطرناک به سمت راست با دقت ۸۴ درصد (۶۹ درصد)، تعویض لاین خطرناک به سمت چپ با دقت ۸۳ درصد (۷۳ درصد) به دست آمده است. سپس یک سیستم دریافت و ذخیره سازی اطلاعات طراحی شد که بتواند بسته های تولیدی توسط خودروها را در یک سامانه ابری ذخیره سازی نماید. برای این کار از نرم افزار RabbitMQ به عنوان مبادله گر اطلاعات و Redis به عنوان پایگاه داده موقت استفاده شد، همچنین برنامه با زبان پایتون نوشته شد که اطلاعات را از صف های RabbitMQ خوانده و به Redis منتقل کند. کل این مجموعه بر بستر کانتینرهای داکر طراحی شد تا توانایی انتقال به هر ارائه دهنده سرویس ابری را داشته باشد. در پایان نیز یک مدل مبتنی بر اطلاعات آماری طراحی شد که به رانندگان بر اساس زمان رانندگی و تعداد رویدادهای خطرناک تولید شده امتیازی اطلاق کند. تا بتوان رانندگان را با یکدیگر بر اساس این امتیاز مقایسه کرد تا رانندگان ایمن را از رانندگان خطرناک متمایز کرده و حق بیمه ای متناسب با نوع رانندگی آن ها در نظر گرفت.

^۱ اعداد دقت اعلام شده دقت precision و اعداد داخل پرانتز معیار دقت f^۱-score است.

۷-۲ پیشنهادها

در این بخش پژوهش‌هایی را که می‌توان در ادامه راه این پژوهش انجام شود ذکر شده:

۱- بهینه‌سازی با دقت بالاتر پارامترهای پنجره‌بندی اتفاقی برای تشخیص رخدادهای خطرناک

در این پروژه برای تشخیص رویدادهای خطرناک، از پنجره‌بندی اتفاقی استفاده شد که با کمک پارامترهای آن، چندین مدل آموزش داده‌شده‌اند و مدلی که دقت بیشتری بر روی دادگان تست در اختیار ما قرار می‌داد، به‌عنوان بهترین مدل انتخاب شد، ولی شیوه‌ای که برای تغییر این پارامترها بکار گرفته شد، برای پارامتر احتمال نگاه رو به عقب بافاصله‌ی ۱۰ درصد و برای پارامتر میانگین حرکت پنجره روبه‌جلو عدد ۵ درصد در نظر گرفته شد. به‌عنوان کارهای آینده می‌توان گستره بررسی را افزایش داد تا مدل‌های بیشتری موردبررسی قرار گیرند و نتایج بهتری به‌دست‌آید.

۲- استفاده از مجموعه دادگان دیگری برای امتیازدهی رانندگان بر اساس میزان اهمیت رخداد خطرناک در فرایند نمره‌دهی به رانندگان، هنگامی که میزان احتمال خطرناک بودن رخدادهای را محاسبه کردیم، این اعداد را به‌صورت مستقیم با یکدیگر جمع نمودیم و میزان خطرناک بودن، رخداد ترمزگیری خطرناک و گردش‌به‌چپ خطرناک را یکسان در نظر گرفتیم. درحالی که می‌توان با کمک مجموعه دادگانی دیگر در زمینه تصادفات میزان اهمیت هر یک از رخداد را به‌صورت دقیق اندازه گرفت و در فرایند نمره‌دهی به رانندگان بهره برد.

۳- استفاده از اطلاعات GPS و تشخیص رویدادهایی مربوط به سرعت غیرمجاز

برای فرایند تشخیص رخدادهای خطرناک، می‌توان با اضافه کردن حسگر GPS سرعت حرکت خودرو را محاسبه کرد و رخدادهای مربوط به سرعت غیرمجاز در محل را اندازه‌گیری نمود. همچنین با کمک این اطلاعات می‌توان محل‌های پرخطر را تشخیص داد.

۴- طراحی یک داشبورد برای نمایش اطلاعات و ارزیابی عملکرد رانندگان

در این پروژه داشبوردی برای نمایش اطلاعات پردازش‌شده، طراحی نشد، ولی یکی از بخش‌هایی که این پروژه نیاز دارد تا به مرحله عمل برسد، طراحی و پیاده‌سازی یک سرویس‌دهنده تحت وب است که اطلاعات پردازش‌شده و امتیازی که رانندگان کسب نموده‌اند را به آن‌ها اطلاع‌رسانی کند.

۸ مراجع

- [۱] Wiegmann DA, Shappell SA, A Human Error Approach to Aviation Accident Analysis: The Human Factors Analysis and Classification System, London: Ashgate Publishing, ۲۰۰۳.
- [۲] ف. احمدی, علل وقوع تصادفات در معابر شهری, تهران: پژوهشگاه علوم انسانی و مطالعات فرهنگی, ۱۳۹۶.
- [۳] Hickman, Jeffrey S., and E. Scott Geller, Self-management to increase safe driving among short-haul truck drivers, Journal of Organizational Behavior Management, ۲۰۰۵.
- [۴] <https://www.eghtesadnews.com/fa/tiny/news-۲۷۳۲۷۴>, تعداد خودرو ها در سطح شهر, تهران: اقتصاد نیوز, ۱۳۹۷.
- [۵] Ferreira, Jair, et al., Driver behavior profiling: An investigation with different smartphone sensors and machine learning., PLoS one ۱۲, no. ۴ : e۰۱۷۴۹۵۹., ۲۰۱۷.
- [۶] Mohan, Prashanth, Venkata N. Padmanabhan, and Ramachandran Ramjee., Nericell: rich monitoring of road and traffic conditions using mobile smartphones., Proceedings of the ۶th ACM conference on Embedded network sensor systems., ۲۰۰۸.
- [۷] Dai, Jiangpeng, et al., Mobile phone based drunk driving detection., ۴th International Conference on Pervasive Computing Technologies for Healthcare, pp. ۱-۸: IEEE, ۲۰۱۰.
- [۸] White, Jules, et al., Wreckwatch: Automatic traffic accident detection and notification with smartphones., Mobile Networks and Applications ۱۶, no. ۳ : ۲۸۵-۳۰۳., ۲۰۱۱.

- [⁹] Araújo, Rui, et al., Driving coach: A smartphone application to evaluate driving efficient patterns., IEEE Intelligent Vehicles Symposium, pp. 1000-1010: IEEE, 2012.
- [¹⁰] Eren H, Makinist S, Akin E, Yilmaz A, Estimating driving behavior by a smartphone, Intelligent Vehicles Symposium (IV), 2012.
- [¹¹] Fazeen, Mohamed, et al., Safe Driving Using Mobile Phones, IEEE Transactions on Intelligent Transportation Systems 13, no. 3 : 1462-1468, 2012.
- [¹²] Castignani, German, et al., Driver behavior profiling using smartphones: A low-cost platform for driver monitoring., IEEE Intelligent Transportation Systems Magazine 7,1 (2015): 91-102.: IEEE, 2015.
- [¹³] Carvalho, Eduardo, et al., Exploiting the use of recurrent neural networks for driver behavior profiling., International Joint Conference on Neural Networks (IJCNN): IEEE, 2012.
- [¹⁴] Eftekhari, Hamid Reza, Smartphone-based system for driver anger scale estimation using neural network on continuous wavelet transformation, AUT Journal of Mathematics and Computing 1, no. 1 : 113-124., 2020.
- [¹⁵] Cura, Aslihan, et al., Driver profiling using long short term memory (LSTM) and convolutional neural network (CNN) methods, IEEE Transactions on Intelligent Transportation Systems, 2020.
- [¹⁶] Alamri, Atif, et al., An effective bio-signal-based driver behavior monitoring system using a generalized deep learning approach., IEEE Access 8 (2020): 135037-135049, 2020.
- [¹⁷] Chan, Stan Salvador and Philip, FastDTW: Toward Accurate Dynamic Time Warping in Linear Time and Space, Florida Institute of Technology, 2007.
- [¹⁸] Kruskall, J. & M. Liberman, The Symmetric Time Warping Problem: From Continuous to Discrete. In Time Warps,String Edits and Macromolecules: The Theory and Practice of Sequence Comparison, 1983: Addison-Wesley Publishing Co.

- [19] J. Ferreira, Jr., et al, ‘Driver behavior profiling: An investigation with different smartphone sensors and machine learning, PLoS ONE, vol. 12, no.4, 2017.
- [20] Tanida, Kazuaki, Python implementation of FastDTW, <https://pypi.org/project/fastdtw/>, 2019.
- [21] svaante, decision-tree-id3, <https://pypi.org/project/decision-tree-id3/>, 2021.
- [22] Docker overview, <https://docs.docker.com/>, 2021.
- [23] <https://www.rabbitmq.com/documentation.html>, RabbitMQ documentation 3.8.4, 2021.
- [24] R.Rossi, Unsupervised driver safety estimation at scale, a collaboration with Pointer Telocation, <https://devblogs.microsoft.com/cse/2018/07/30/unsupervised-driver-safety-estimation-at-scale/>, 2018.
- [25] G.Box, D.Cox, An Analysis of Transformations, Journal of the Royal Statistical Society: Series B (Methodological), 1964.
- [26] Ferreira, Jair, Eduardo Carvalho, Bruno V. Ferreira, Cleidson de Souza, Yoshihiko Suhara, Alex Pentland, and Gustavo Pessin, Driver behavior profiling: An investigation with different smartphone sensors and machine learning, PLoS one 12, no. 4 : e0174909., 2017.
- [27] Carvalho, Eduardo, Bruno V. Ferreira, Jair Ferreira, Cleidson De Souza, Hanna V. Carvalho, Yoshihiko Suhara, Alex Sandy Pentland, and Gustavo Pessin, Exploiting the Use of Recurrent Neural Networks for Driver Behavior Profiling, International Joint Conference on Neural Networks (IJCNN): IEEE, 2017.
- [28] Johnson, Derick A., and Mohan M. Trivedi., Driving style recognition using a smartphone as a sensor platform., 14th International IEEE Conference on Intelligent Transportation Systems (ITSC)., 2011.
- [29] Wahlström, Johan, Isaac Skog, and Peter Händel., Detection of dangerous cornering in GNSS-data-driven insurance telematics., IEEE Transactions on Intelligent Transportation Systems 16,6 : 3073-3083., 2015.

Abstract

Dangerous driving is one of the most important causes of car accidents. If drivers know that their behavior is being recorded while driving, they will be driving safer. Also, if it is possible to implement a system that encourages people to drive safely by being aware of the type of driving behaviors of individuals, this will lead to a reduction in traffic accidents. This project aims to implement a method for detecting driving events (including dangerous right and left lanes, dangerous lane changes left and right, dangerous braking, and acceleration) with the help of sensor information so that driver information Receive and store in a supercomputer and use a solution to calculate how safe people are driving. More precisely, using a new windowing method on time series, a decision tree on window similarities (using the Fast-DTW algorithm) was trained to detect driving events, then to receive and Data storage RabbitMQ was used as a message exchanger, and Redis was used as a temporary database. Finally, a statistical method was used to score and compare people's driving. The dangerousness of driving introduces them as a benchmark for comparison. With the help of the results presented in this study, an insurance plan can be implemented so that drivers who show safer driving pay fewer insurance premiums so that this plan can be used as an incentive for Improved driving culture was considered.

Key Words: Internet of Things, Machine learning, Driver Profiling, Driving culture



Amirkabir University of Technology
(Tehran Polytechnic)
Department of Electrical Engineering
MSc Thesis

**Analyze information received from vehicles to investigate
driver behavior in the computing cloud**

By
Hossein Gholami
Supervisor
Dr. Seyed Ahmad Motamedi

Spring 2021